

COMMITTENTE:



PROGETTAZIONE:



**DIRETTRICE FERROVIARIA MESSINA – CATANIA – PALERMO
NUOVO COLLEGAMENTO PALERMO-CATANIA**

U.O. INFRASTRUTTURE SUD

PROGETTO DEFINITIVO

TRATTA DITTAINO - CATENANUOVA

TOMBINI IDRAULICI

IN42A e IN42D- Tombino alla pk 19+150

Relazione di calcolo e caratterizzazione sismica

SCALA:

-

COMMESSA LOTTO FASE ENTE TIPO DOC. OPERA/DISCIPLINA Progr. REV.

RS3E 50 D 78 CL IN4200 001 A

Rev.	Descrizione	Redatto	Data	Verificato	Data	Approvato	Data	Autorizzato	Data
A	EMISSIONE ESECUTIVA	M.Piscitelli	Dicembre 2019	A. Iorio L. Fanelli	Dicembre 2019	F. Sparacino	Dicembre 2019	D. Tiberti	Dicembre 2019

File:RS3E50D78CLIN4200001A

n. Elab.: 688

ITALFERR S.p.A.
Gruppo Ferrovie dello Stato
Direzione Tecnica
UO Infrastrutture Sud
Dott. Ing. Daniele Tiberti

Ordine degli Ingegneri Prov. di Napoli n. 10576



NUOVO COLLEGAMENTO PALERMO – CATANIA
 TRATTA DITTAINO - CATENANUOVA
 PROGETTO DEFINITIVO
 TOMBINI IDRAULICI
 Tombini ferroviari e stradali

Tombino alla pk 19+150: Relazione di calcolo e caratterizzazione sismica

COMMESSA	LOTTO	CODIFICA	DOCUMENTO	REV.	FOGLIO
RS3E	50	D 78 CL	IN4200 001	A	2 di 96

INDICE

1.	GENERALITA'	4
2.	SCOPO E CONTENUTI DEL DOCUMENTO	4
3.	DESCRIZIONE DELL'OPERA	4
4.	DOCUMENTI DI RIFERIMENTO	7
4.1	DOCUMENTI REFERENZIATI	7
5.	CARATTERIZZAZIONE E MODELLAZIONE GEOTECNICA	8
5.1	INTERAZIONE TERRENO-FONDAZIONE	9
6.	CARATTERISTICHE DEL SITO E DEFINIZIONE DELL'AZIONE SISMICA	10
6.1	VITA NOMINALE	11
6.2	CLASSE D'USO	12
6.3	PERIODO DI RIFERIMENTO	13
6.4	VALUTAZIONE DEI PARAMETRI DI PERICOLOSITÀ SISMICA	13
6.5	CARATTERIZZAZIONE SISMICA DEL TERRENO	14
6.6	PARAMETRI SISMICI DI CALCOLO	15
7.	MATERIALI	16
8.	CRITERI DI VERIFICA DELLE OPERE	18
8.1	METODOLOGIA DI CALCOLO	18
8.2	AZIONI	19
	8.2.1 Peso proprio (cond. di carico 1)	20
	8.2.2 Permanenti (cond. di carico 2)	20
	8.2.3 Spinta del terreno (cond. di carico 3/4)	21
	8.2.4 Spinta in presenza di falda (cond. di carico 5)	21
	8.2.5 Azioni Sismiche (cond. di carico 6/7)	21
	8.2.6 Ritiro e viscosità (cond. di carico 8)	23
	8.2.7 Variazioni termiche della struttura (cond. di carico 9)	23
	8.2.8 Azioni variabili da traffico (cond. di carico 10/11)	23
	8.2.9 Azioni di avviamento/frenatura associati al passaggio dei treni sul traverso (cond. 10/11)	26
8.3	APPROCCI PROGETTUALI E METODI DI VERIFICA	27
8.4	COMBINAZIONI DI CARICO	27



NUOVO COLLEGAMENTO PALERMO – CATANIA
TRATTA DITTAINO - CATENANUOVA
PROGETTO DEFINITIVO
TOMBINI IDRAULICI
Tombini ferroviari e stradali

Tombino alla pk 19+150: Relazione di calcolo e caratterizzazione sismica

COMMESSA	LOTTO	CODIFICA	DOCUMENTO	REV.	FOGLIO
RS3E	50	D 78 CL	IN4200 001	A	3 di 96

8.5	CARICO LIMITE DI FONDAZIONI DIRETTE	28
9.	RISULTATI, ANALISI E VERIFICHE	30
9.1	MODELLO DI CALCOLO.....	30
9.2	SOLLECITAZIONI DI CALCOLO.....	32
9.3	ARMATURE DI PROGETTO.....	34
9.4	VERIFICHE DI RESISTENZA E FESSURAZIONE	34
9.5	VERIFICHE GEOTECNICHE	35
10.	TABULATI DI CALCOLO	36

1. GENERALITA'

Il presente documento viene emesso nell'ambito della redazione degli elaborati tecnici di progetto definitivo relativo alla tratta a semplice binario Dittaino – Catenanuova del Nuovo Collegamento Palermo – Catania. L'intera tratta Dittaino – Catenanuova ha uno sviluppo complessivo di circa 22,8 km.

L'opera oggetto delle analisi riportate nei paragrafi seguenti rientra fra quelle inserite nella categoria denominata "TOMBINI IDRAULICI – Tombini ferroviari e stradali".

Quanto riportato di seguito consentirà di verificare che il dimensionamento delle strutture è stato effettuato nel rispetto dei requisiti di resistenza e deformabilità richiesti all'opera.

2. SCOPO E CONTENUTI DEL DOCUMENTO

Le Analisi e Verifiche nel seguito esposte fanno in particolare riferimento al tombino idraulico IN42 previsto lungo l'asse principale di progetto in corrispondenza della pk 19+150.

3. DESCRIZIONE DELL'OPERA

Di seguito si riportano in tabella le principali informazioni geometriche delle sezioni di calcolo presenti lungo lo sviluppo dell'opera, ed a seguire alcune immagini rappresentative. Per ulteriori dettagli si rimanda agli elaborati grafici di riferimento:

WBS	OPERA	pk. [m]	Sez. di calcolo	Risoluzione Interferenza	B (m)	H (m)	S _P (m)	S _T (m)	S _F (m)	r (m)
IN42	Tombino scatolare	18+779	B - B	Linea PA-CT	5.00	4.21	0.80	0.80	0.90	3.05
			C - C	Linea Variante	5.00	4.21	0.80	0.80	0.90	1.73

Dove si è indicato con:

B : Larghezza netta interna dell'opera

H : Altezza netta interna dell'opera

S_P, S_T, S_F : Spessore piedritti, traverso, fondazione

*r : Spessore ricoprimento (da estradosso traverso a intradosso ballast/sede stradale).

*Per le interferenze con le linee ferroviarie. Il ricoprimento dato dal Ballast è invece considerato come un carico applicato al p.c. valutato come definito al par. 8.2.2 considerando uno spessore convenzionale aggiuntivo di 0.8m.

La sezione di calcolo analizzata nel seguito è la sez. B-B, che risulta essere la più gravosa per condizioni di carico tra quelle presenti lungo lo sviluppo dell'opera.

Tombino alla pk 19+150: Relazione di calcolo e caratterizzazione sismica

COMMESSA	LOTTO	CODIFICA	DOCUMENTO	REV.	FOGLIO
RS3E	50	D 78 CL	IN4200 001	A	5 di 96

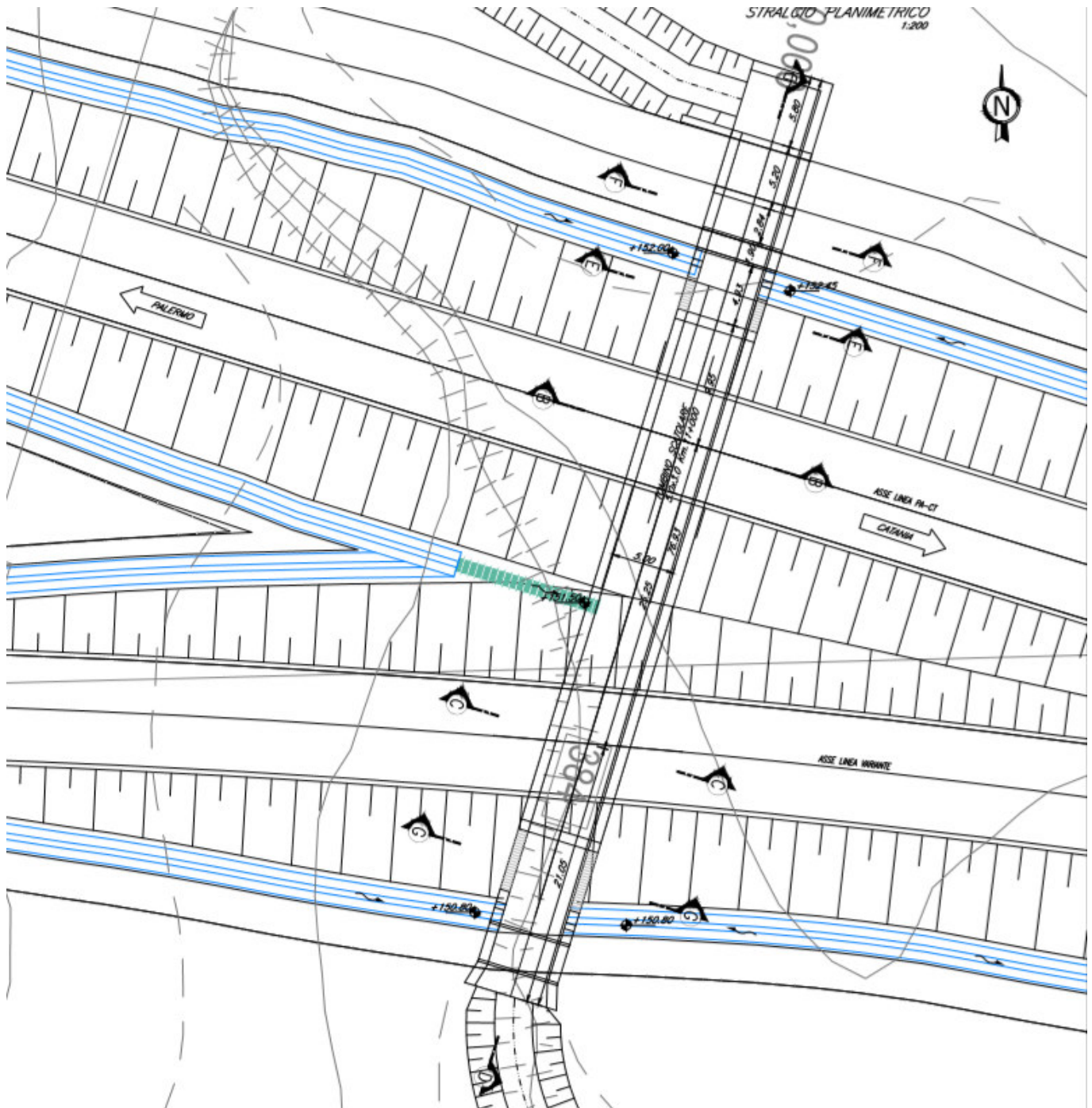


Figura 1 – Inquadramento planimetrico

Tombino alla pk 19+150: Relazione di calcolo e caratterizzazione sismica

COMMESSA	LOTTO	CODIFICA	DOCUMENTO	REV.	FOGLIO
RS3E	50	D 78 CL	IN4200 001	A	6 di 96

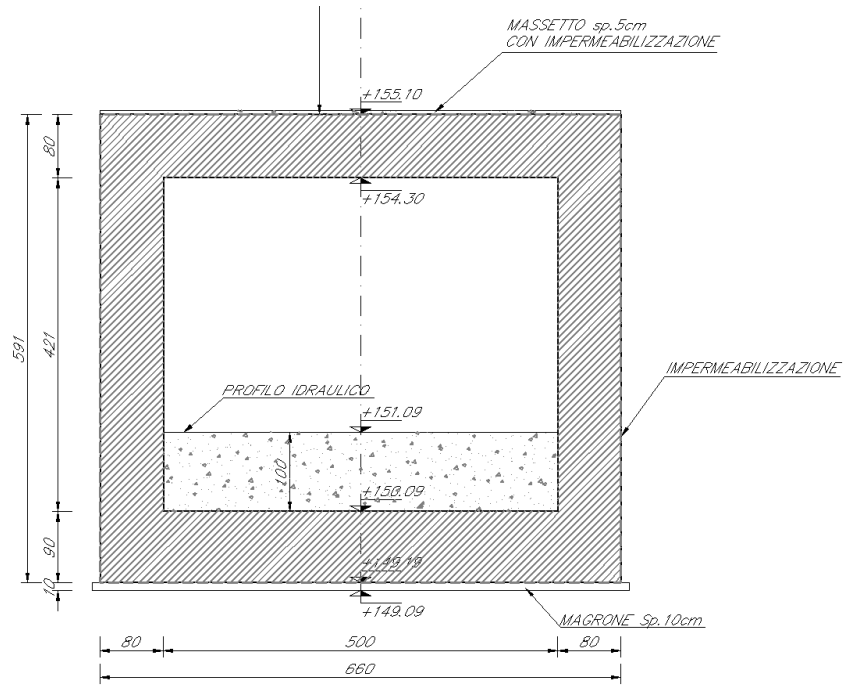


Figura 2 – Sezione trasversale B-B

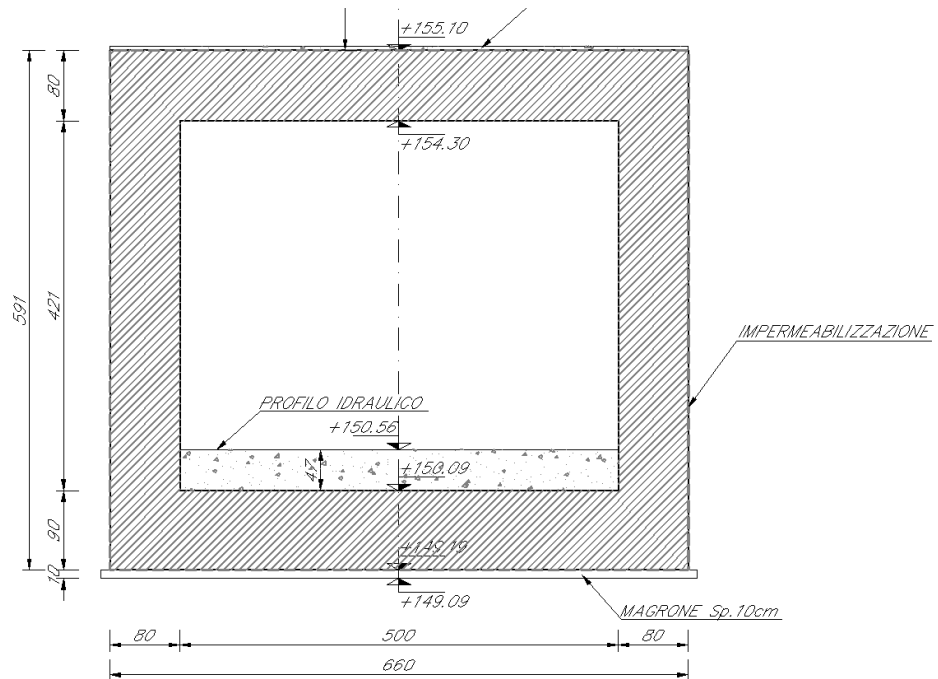


Figura 3 – Sezione trasversale C-C



NUOVO COLLEGAMENTO PALERMO – CATANIA
TRATTA DITTAINO - CATENANUOVA
PROGETTO DEFINITIVO
TOMBINI IDRAULICI
Tombini ferroviari e stradali

Tombino alla pk 19+150: Relazione di calcolo e caratterizzazione sismica

COMMESSA	LOTTO	CODIFICA	DOCUMENTO	REV.	FOGLIO
RS3E	50	D 78 CL	IN4200 001	A	7 di 96

4. DOCUMENTI DI RIFERIMENTO

4.1 Documenti Referenziati

Di seguito si riporta l'elenco generale delle Normative Nazionali ed internazionali vigenti alla data di redazione del presente documento, quale riferimento per la redazione degli elaborati tecnici e/o di calcolo dell'intero progetto nell'ambito della quale si inserisce l'opera oggetto della presente relazione:

Normative e Documenti tecnici generali

- Rif. [1] Ministero delle Infrastrutture dei Trasporti, DM 14 gennaio 2008 – «Nuove Norme Tecniche per le Costruzioni»
- Rif. [2] Circolare Applicativa n 617 del 2 Febbraio 2009 - «Istruzioni per l'applicazione delle “Nuove norme tecniche per le costruzioni” di cui al D.M. 14 gennaio 2008»
- Rif. [3] UNI 11104: Calcestruzzo: Specificazione, prestazione, produzione e conformità - Istruzioni complementari per l'applicazione della EN 206-1

Documenti Tecnici RFI e/o di ambito ferroviario

- Rif. [4] Manuale di Progettazione delle Opere Civili: PARTE I / Aspetti Generali (RFI DTC SI MA IFS 001 B– rev 22/12/2017)
- Rif. [5] Manuale di Progettazione delle Opere Civili: PARTE II – Sezione 2 / Ponti e Strutture (RFI DTC SI PS MA IFS 001 B – rev 22/12/2017)
- Rif. [6] Manuale di Progettazione delle Opere Civili: PARTE II – Sezione 3 / Corpo Stradale (RFI DTC SI CS MA IFS 001 B – rev 22/12/2017)
- Rif. [7] Manuale di Progettazione delle Opere Civili: PARTE II – Sezione 4 / Gallerie (RFI DTC SI GA MA IFS 001 B – rev 22/12/2017)
- Rif. [8] Manuale di Progettazione delle Opere Civili: PARTE II – Sezione 5 / Prescrizioni per i Marciapiedi e le Pensiline delle Stazioni Ferroviarie a servizio dei Viaggiatori (RFI DTC SI CS MA IFS 002 A – rev 30/12/2016)
- Rif. [9] Manuale di Progettazione delle Opere Civili: PARTE II – Sezione 6 / Sagome e Profilo minimo degli ostacoli (RFI DTC SI CS MA IFS 003 B– rev 22/12/2017)
- Rif. [10] Manuale di Progettazione delle Opere Civili: PARTE II – Sezione 7 / Geologia (RFI DTC SI CS GE IFS 001 A – rev 22/12/2017)
- Rif. [11] Regolamento (UE) N. 1299/2014 della Commissione del 18 novembre 2014 relativo alle specifiche tecniche di interoperabilità per il sottosistema “infrastruttura” del sistema ferroviario dell'Unione europea, modificato dal Regolamento di esecuzione (UE) N° 2019/776 della Commissione del 16 maggio 2019;
- Rif. [12] Capitolato Generale Tecnico di Appalto delle Opere Civili (RFIDTCSICSSPIFS005 B - rev 22/12/2017)

5. CARATTERIZZAZIONE E MODELLAZIONE GEOTECNICA

Dall'esame di quanto riportato nella relazione geotecnica di riferimento e in relazione alle progressive in esame, emerge che il volume di terreno direttamente interagente con l'opera presenta le seguenti proprietà:

Unità bbc – Depositi alluvionali recenti coesivi (limoso argillosi)

$\gamma_{\text{nat}} = 19.0 \div 20.5 \text{ kN/m}^3$	peso di volume naturale
$c' = 0 \div 10 \text{ kPa}$	coesione drenata
$\varphi' = 19 \div 25^\circ$	angolo di resistenza al taglio
$c_u = 40 \div 250 \text{ kPa}$	resistenza al taglio in condizioni non drenate
$k = 5 \cdot 10^{-8} \div 4 \cdot 10^{-6} \text{ m/s}$	coefficiente di permeabilità
$G_0 = 25 \div 150 \text{ MPa}$	modulo di deformazione a taglio iniziale
$E_0 = 70 \div 350 \text{ MPa}$	modulo di deformazione elastico iniziale

I moduli di deformabilità “operativi” (E') da adottare per le opere di sostegno e per le fondazioni, saranno assunti pari a $1/3 \div 1/5$ di quello iniziale (E_0).

Per il terreno di ricoprimento e rinfiacco, salvo più accurate determinazioni, in via cautelativa, per le caratteristiche dei rilevati ferroviari si possono assumere i seguenti valori dei parametri geotecnici caratteristici:

peso di volume $\gamma = 20 \text{ kN/m}^3$;

angolo di attrito $\varphi' = 38^\circ$;

Il livello di falda locale è posto a circa 11.0 - 12.0 m dal piano campagna locale pertanto non interagisce con l'opera.

In fase di analisi è stato dunque considerato il seguente modello geotecnico:

Terreno	Litotipo	γ	φ'	c'	E'	k_w
		(kN/m^3)	($^\circ$)	(kPa)	(MPa)	(kPa/m)
Terreno di Ricoprimento	Terreno da rilevato ferroviario	20	38	0	50	-
Terreno di Rinfiacco	Terreno da rilevato ferroviario	20	38	0	50	0
Terreno di Fondazione	bbc	19.5	23	5	80	8492

Dove k_w è la costante di sottofondo definita al paragrafo seguente.

5.1 interazione terreno-fondazione

Per le analisi d'interazione struttura-terreno in direzione verticale, il coefficiente di sottofondo alla Winkler può essere determinato con la seguente relazione:

$$k_w = \frac{E}{(1 - \nu^2) \cdot B \cdot c_t}$$

dove:

E' = modulo di deformazione elastico del terreno;

ν = coefficiente di Poisson = 0.3;

B = larghezza della fondazione.

c_t = fattore di forma, coefficiente adimensionale ottenuto dalla interpolazione dei valori dei coefficienti proposti dal Bowles, 1960 (vedasi tabella seguente).

Fondazione Rigida	c_t
- rettangolare con $L/B \leq 10$	$c_t = 0.853 + 0.534 \ln(L/B)$
- rettangolare con $L/B > 10$	$c_t = 2 + 0.0089 (L/B)$
dove L é il lato maggiore della fondazione.	

Sulla base della geometria della fondazione e delle condizioni geotecniche locali verrà valutato il modulo di deformazione elastico per il calcolo dei coefficienti di sottofondo.

In particolare il modulo di deformazione elastico potrà essere determinato dal modulo di deformazione elastico iniziale (E_0) come $E = E_0 / (3 \div 5)$.

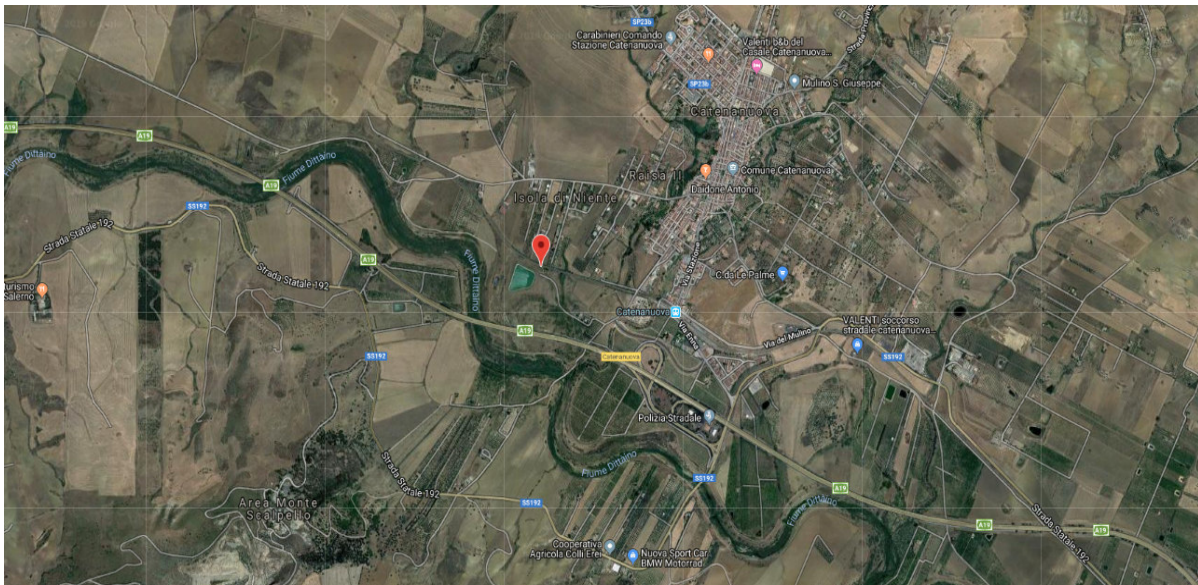
Di seguito si riportano, in forma tabellare, i risultati delle valutazioni effettuate per il caso in esame, sulla scorta del valore di progetto di E attribuito allo strato di Fondazione, avendo considerato una dimensione longitudinale della fondazione ritenuta potenzialmente collaboranti:

$E'(\text{KN/m}^2) =$	80000
$\nu =$	0.25
$B (\text{m}) =$	6.60
$L (\text{m}) =$	13.5
$c_t =$	1.85
$K_w [\text{kN/m}^3] =$	6975

6. CARATTERISTICHE DEL SITO E DEFINIZIONE DELL'AZIONE SISMICA

Nel seguente paragrafo si riporta la descrizione e la valutazione dell'azione sismica secondo le specifiche del D.M. 14 gennaio 2008.

L'opera oggetto della presente relazione presenta le seguenti coordinate geografiche:



LATITUDINE

37.571

LONGITUDINE

14.66

COMUNE

Agira

PROVINCIA

ENNA

Le forme spettrali sono definite, per ciascuna delle probabilità di superamento nel periodo di riferimento PVR, a partire dai valori dei seguenti parametri su sito di riferimento rigido orizzontale:

- a_g accelerazione orizzontale massima al sito;
- F_0 valore massimo del fattore di amplificazione dello spettro in accelerazione orizzontale;
- T_c^* periodo di inizio del tratto a velocità costante dello spettro in accelerazione orizzontale.

Nei paragrafi seguenti è riportata la valutazione dei parametri di pericolosità sismica per la zona sismica di riferimento in cui ricade l'opera.



NUOVO COLLEGAMENTO PALERMO – CATANIA
TRATTA DITTAINO - CATENANUOVA
PROGETTO DEFINITIVO
TOMBINI IDRAULICI
Tombini ferroviari e stradali

Tombino alla pk 19+150: Relazione di calcolo e caratterizzazione sismica

COMMESSA	LOTTO	CODIFICA	DOCUMENTO	REV.	FOGLIO
RS3E	50	D 78 CL	IN4200 001	A	11 di 96

6.1 Vita nominale

La vita nominale di un'opera strutturale V_N è intesa come il numero di anni nel quale la struttura, purché soggetta alla manutenzione ordinaria, deve potere essere usata per lo scopo al quale è destinata. Per la definizione della Vita Nominale da assegnare ad ogni singolo manufatto facente parte di una infrastruttura ferroviaria si rimanda al "MANUALE DI PROGETTAZIONE DELLE OPERE CIVILI" - RFI DTC SI PS MA IFS 001 B.

Tabella 1 Vita Nominale in funzione del tipo di costruzione

TIPO DI COSTRUZIONE ⁽¹⁾	Vita Nominale [V_N] ⁽¹⁾
OPERE NUOVE SU INFRASTRUTTURE FERROVIARIE ESISTENTI OPERE NUOVE SU INFRASTRUTTURE FERROVIARIE PROGETTATE CON LE NORME VIGENTI PRIMA DEL DM 14/01/2008 A VELOCITA' CONVENZIONALE ($V < 250$ Km/h)	50
ALTRE OPERE NUOVE A VELOCITA' ($V < 250$ km/h)	75
ALTRE OPERE NUOVE A VELOCITA' ($V \geq 250$ Km/h)	100
OPERE DI GRANDI DIMENSIONI: PONTI E VIADOTTI CON CAMPATE DI LUCE MAGGIORE DI 150 m	≥ 100 ⁽²⁾

(1) - La medesima V_N si applica anche ad apparecchi di appoggio, coprigiunti e impermeabilizzazione delle stesse opere.
(2) - Da definirsi per il singolo progetto a cura di RFI.

Tenendo conto delle indicazioni precedenti le strutture di progetto avranno vita nominale $V_N = 75$.



NUOVO COLLEGAMENTO PALERMO – CATANIA
TRATTA DITTAINO - CATENANUOVA
PROGETTO DEFINITIVO
TOMBINI IDRAULICI
Tombini ferroviari e stradali

Tombino alla pk 19+150: Relazione di calcolo e caratterizzazione sismica

COMMESSA	LOTTO	CODIFICA	DOCUMENTO	REV.	FOGLIO
RS3E	50	D 78 CL	IN4200 001	A	12 di 96

6.2 Classe d'uso

In presenza di azioni sismiche, con riferimento alle conseguenze di una interruzione di operatività o di un eventuale collasso, le costruzioni sono suddivise in classi d'uso così definite:

- **Classe I:** Costruzioni con presenza solo occasionale di persone, edifici agricoli.
- **Classe II:** Costruzioni il cui uso preveda normali affollamenti, senza contenuti pericolosi per l'ambiente e senza funzioni pubbliche e sociali essenziali. Industrie con attività non pericolose per l'ambiente. Ponti, opere infrastrutturali, reti viarie non ricadenti in Classe d'uso III o in Classe d'uso IV, reti ferroviarie la cui interruzione non provochi situazioni di emergenza. Dighe il cui collasso non provochi conseguenze rilevanti.
- **Classe III:** Costruzioni il cui uso preveda affollamenti significativi. Industrie con attività pericolose per l'ambiente. Reti viarie extraurbane non ricadenti in Classe d'uso IV. Ponti e reti ferroviarie la cui interruzione provochi situazioni di emergenza. Dighe rilevanti per le conseguenze di un loro eventuale collasso.
- **Classe IV:** Costruzioni con funzioni pubbliche o strategiche importanti, anche con riferimento alla gestione della protezione civile in caso di calamità. Industrie con attività particolarmente pericolose per l'ambiente. Reti viarie di tipo A o B, di cui al D.M. 5 novembre 2001, n. 6792, "Norme funzionali e geometriche per la costruzione delle strade", e di tipo C quando appartenenti ad itinerari di collegamento tra capoluoghi di provincia non altresì serviti da strade di tipo A o B. Ponti e reti ferroviarie di importanza critica per il mantenimento delle vie di comunicazione, particolarmente dopo un evento sismico. Dighe connesse al funzionamento di acquedotti e a impianti di produzione di energia elettrica.

Per la definizione della Classe di uso da assegnare ad ogni singolo manufatto facente parte di una infrastruttura ferroviaria esistente si rimanda al "MANUALE DI PROGETTAZIONE DELLE OPERE CIVILI" - RFI DTC SI PS MA IFS 001 B.

Tabella 2 Classe d'uso Coeff. d'uso in funzione del tipo di costruzione per l'infrastruttura ferroviaria

TIPO DI COSTRUZIONE	Classe d'uso	Coefficiente d'uso [C _U]
GRANDI STAZIONI	C IV	2,0
OPERE D'ARTE DEL SISTEMA DI GRANDE VIABILITÀ FERROVIARIA	C III	1,5
ALTRE OPERE D'ARTE	C II	1,0

Facendo riferimento all'Allegato 5 della specifica alla pagina 151 del "MANUALE DI PROGETTAZIONE DI PONTI E STRUTTURE" - RFI DTC SICS MA IFS 001 B si ricade in classe d'uso tipo **Classe III con coefficiente d'uso C_U=1,5**.

6.3 Periodo di riferimento

Le azioni sismiche su ciascuna costruzione vengono valutate in relazione ad un periodo di riferimento V_R che si ricava, per ciascun tipo di costruzione, moltiplicandone la vita nominale V_N per il coefficiente d'uso C_U :

$$V_R = V_N \cdot C_U = 75 \cdot 1.50 = 112.5 \text{ anni (periodo di riferimento).}$$

6.4 Valutazione dei parametri di pericolosità sismica

Fissata la vita di riferimento V_R , i due parametri T_R e P_{V_R} sono immediatamente esprimibili, l'uno in funzione dell'altro, mediante l'espressione:

$$T_R = \frac{V_R}{\ln(1 - P_{V_R})} = - \frac{C_U \cdot V_s}{\ln(1 - P_{V_s})}$$

da cui si ottiene la seguente Tabella:

Tabella 3 Probabilità di superamento P_{V_R} al variare dello stato limite considerato

	STATO LIMITE	probabilità di superamento P_{V_R}	Valori in anni del periodo di ritorno T_R
SLE	SLO - Stato Limite di Operatività	81%	68
	SLD - Stato Limite di Danno	63%	113
SLU	SLV - Stato Limite di salvaguardia della Vita	10%	1068
	SLC - Stato Limite di prevenzione del Collasso	5%	2193

Per il sito in esame, in base ai parametri precedentemente adottati si ha:

STATO LIMITE	SLV
VITA NOMINALE V_N	75
CLASSE D'USO	C III
COEFFICIENTE D'USO C_U	1.5
VITA DI RIFERIMENTO V_R	112.5

6.5 Caratterizzazione sismica del terreno

Categorie di Sottosuolo

Ai fini della definizione dell'azione sismica di progetto, si rende necessario valutare l'effetto della risposta sismica locale. Per la definizione dell'azione sismica si può fare riferimento a un approccio semplificato, che si basa sull'individuazione delle categorie di sottosuolo di riferimento in accordo a quanto indicato nel § 3.2.2 delle NTC2008.

Amplificazione Stratigrafica e Topografica

In riferimento a quanto indicato nel §3.2.3.2.1 delle NTC2008 per la definizione dello spettro elastico in accelerazione è necessario valutare il valore del coefficiente $S = S_S \cdot S_T$ e di C_C in base alla categoria di sottosuolo e alle condizioni topografiche; si fa riferimento nella valutazione dei coefficienti alle Tab.18 e 19 che sono riportate di seguito:

Tabella 4 Tabella delle espressioni per S_S e C_C

Tabella 3.2.V – Espressioni di S_S e di C_C

Categoria sottosuolo	S_S	C_C
A	1,00	1,00
B	$1,00 \leq 1,40 - 0,40 \cdot F_o \cdot \frac{a_g}{g} \leq 1,20$	$1,10 \cdot (T_C^*)^{-0,20}$
C	$1,00 \leq 1,70 - 0,60 \cdot F_o \cdot \frac{a_g}{g} \leq 1,50$	$1,05 \cdot (T_C^*)^{-0,33}$
D	$0,90 \leq 2,40 - 1,50 \cdot F_o \cdot \frac{a_g}{g} \leq 1,80$	$1,25 \cdot (T_C^*)^{-0,50}$
E	$1,00 \leq 2,00 - 1,10 \cdot F_o \cdot \frac{a_g}{g} \leq 1,60$	$1,15 \cdot (T_C^*)^{-0,40}$

Tabella 5 Valori massimi del coeff. di amplificazione topografica S_T

Tabella 3.2.VI – Valori massimi del coefficiente di amplificazione topografica S_T

Categoria topografica	Ubicazione dell'opera o dell'intervento	S_T
T1	-	1,0
T2	In corrispondenza della sommità del pendio	1,2
T3	In corrispondenza della cresta del rilievo	1,2
T4	In corrispondenza della cresta del rilievo	1,4

Nel caso in esame:

CATEGORIA DI SOTTOSUOLO

C

CATEGORIA TOPOGRAFICA

T1

6.6 Parametri sismici di calcolo

Parametri indipendenti

STATO LIMITE	SLV
a_g	0.166 g
F_0	2.517
T_C^*	0.531 s
S_S	1.449
C_C	1.294
S_T	1.000
q	1.000

Parametri dipendenti

S	1.449
η	1.000
T_B	0.229 s
T_C	0.687 s
T_D	2.265 s

Tabella 1 – Parametri per la definizione dell'azione sismica di progetto.



NUOVO COLLEGAMENTO PALERMO – CATANIA
 TRATTA DITTAINO - CATENANUOVA
 PROGETTO DEFINITIVO
 TOMBINI IDRAULICI
 Tombini ferroviari e stradali

Tombino alla pk 19+150: Relazione di calcolo e caratterizzazione sismica

COMMESSA	LOTTO	CODIFICA	DOCUMENTO	REV.	FOGLIO
RS3E	50	D 78 CL	IN4200 001	A	16 di 96

7. MATERIALI

Si riportano di seguito le principali caratteristiche dei diversi materiali impiegati nelle opere in progetto, con l'indicazione dei valori di resistenza e deformabilità adottati nelle verifiche, nel rispetto delle indicazioni del DM DM 14/01/2008 e del "Manuale di progettazione delle opere civili" RFI DTC SI MA IFS 001 B.

Calcestruzzo armato Opere	
Classe di resistenza	C 30/37
Resistenza di progetto a compressione a 28 giorni	$f_{cd} = 0.85 f_{ck} / 1.5 = 17.0 \text{ MPa}$
Modulo elastico a 28 giorni	$E_{cm} = 22000(f_{cm}/10)^{0.3} = 32836 \text{ MPa}$
Tensione massima di compressione in esercizio (RFI DTC SI MA IFS 001 B)	$\sigma_c = 0.55 f_{ck} = 16.5 \text{ MPa}$ combinazione caratteristica (rara)
Tensione massima di compressione in esercizio (NTC 2008)	$\sigma_c = 0.60 f_{ck} = 18.0 \text{ MPa}$ combinazione caratteristica (rara)

Acciaio per barre di armatura	
Tipo	B 450 C
Tensione caratteristica di rottura	$f_{yd} \geq 540 \text{ MPa}$
Tensione caratteristica di snervamento	$f_{yd} \geq 450 \text{ MPa}$
Resistenza di progetto	$f_{yd} = f_{yk} / \gamma_s = 391.3 \text{ MPa}$
Tensione massima di compressione in esercizio (RFI DTC SI MA IFS 001 B)	$\sigma_{lim} = 0.75 f_{yk} = 337.5 \text{ MPa}$
Tensione massima di compressione in esercizio (NTC 2008)	$\sigma_{lim} = 0.80 f_{yk} = 360 \text{ MPa}$

In merito alla verifica a fessurazione, la verifica consiste nel controllo dell'ampiezza massima delle fessure per le combinazioni di carico di esercizio i cui valori limite sono stabiliti, nell'ambito del progetto di opere ferroviarie, nel documento RFI DTC SICS MA IFS 001 B – 2.5.1.8.3.2.4 (*Manuale di progettazione delle opere civili del 22/12/2017*).

In particolare l'apertura convenzionale delle fessure s_f dovrà rispettare i seguenti limiti:

- $\delta_f \leq w_1 = 0.2 \text{ mm}$ per tutte le strutture in condizioni ambientali aggressive o molto aggressive (così come identificate nel par. 4.1.2.2.4.3 del DM 14.01.2008 – Tab 4.1.III), per tutte le strutture a permanente contatto con il terreno e per le zone non ispezionabili di tutte le strutture;
- $\delta_f \leq w_2 = 0.3 \text{ mm}$ per strutture in condizioni ambientali ordinarie.

Tabella 4.1.III – Descrizione delle condizioni ambientali

CONDIZIONI AMBIENTALI	CLASSE DI ESPOSIZIONE
Ordinarie	X0, XC1, XC2, XC3, XF1
Aggressive	XC4, XD1, XS1, XA1, XA2, XF2, XF3
Molto aggressive	XD2, XD3, XS2, XS3, XA3, XF4

Tabella 4.1.III – DM 14.01.2008

In definitiva, nel caso in esame, con riferimento alle indicazioni della tabella di cui in precedenza, si adotta il limite $w_1=0,20 \text{ mm}$ sia per le parti in elevazione che per quelle in fondazione, in quanto in entrambi i casi trattasi di strutture a permanente contatto col terreno.



NUOVO COLLEGAMENTO PALERMO – CATANIA
TRATTA DITTAINO - CATENANUOVA
PROGETTO DEFINITIVO
TOMBINI IDRAULICI
Tombini ferroviari e stradali

Tombino alla pk 19+150: Relazione di calcolo e caratterizzazione sismica

COMMESSA	LOTTO	CODIFICA	DOCUMENTO	REV.	FOGLIO
RS3E	50	D 78 CL	IN4200 001	A	18 di 96

8. CRITERI DI VERIFICA DELLE OPERE

Le verifiche sono state condotte in accordo con le prescrizioni e le indicazioni del DM 14/01/2008 e della Circolare n.617/09.

8.1 Metodologia di calcolo

Le analisi finalizzate al dimensionamento delle strutture sono state condotte con il programma di calcolo “SCAT - Analisi Strutture Scatolari- Versione 14.0” della Aztec Informatica srl, Casole Bruzio (CS).

La struttura viene discretizzata in elementi tipo trave. Per simulare il comportamento del terreno di fondazione e di rinfilanco vengono inserite delle molle alla Winkler non reagenti a trazione.

A partire dal tipo di terreno, dalla geometria e dai sovraccarichi agenti il programma è in grado di conoscere tutti i carichi agenti sulla struttura per ogni combinazione di carico.

La struttura scatolare viene schematizzata come un telaio piano e viene risolta mediante il metodo degli elementi finiti (FEM). Più dettagliatamente il telaio viene discretizzato in una serie di elementi connessi fra di loro nei nodi. Il terreno di fondazione viene schematizzato con una serie di elementi molle non reagenti a trazione (modello di Winkler). L'area della singola molla è direttamente proporzionale alla costante di Winkler del terreno e all'area di influenza della molla stessa. A partire dalla matrice di rigidezza del singolo elemento, K_e , si assembla la matrice di rigidezza di tutta la struttura K . Tutti i carichi agenti sulla struttura vengono trasformati in carichi nodali (reazioni di incastro perfetto) ed inseriti nel vettore dei carichi nodali p . Indicando con u il vettore degli spostamenti nodali (incogniti), la relazione risolutiva può essere scritta nella forma

$$K u = p$$

Da questa equazione matriciale si ricavano gli spostamenti incogniti u

$$u = K^{-1} p$$

Noti gli spostamenti nodali è possibile risalire alle sollecitazioni nei vari elementi.

La soluzione del sistema viene fatta per ogni combinazione di carico agente sullo scatolare. Il successivo calcolo delle armature nei vari elementi viene condotto tenendo conto delle condizioni più gravose che si possono verificare nelle sezioni fra tutte le combinazioni di carico.

L'analisi strutturale e le verifiche sono condotte con l'ausilio di un codice di calcolo automatico. La verifica della sicurezza degli elementi strutturali è stata valutata con i metodi della scienza delle costruzioni.

L'analisi che viene effettuata è un'analisi al passo per tener conto delle molle che devono essere eliminate (molle in trazione). L'analisi fornisce i risultati in termini di spostamenti. Dagli spostamenti si risale alle sollecitazioni nodali ed alle pressioni sul terreno.

Il calcolo degli scatolari viene eseguito secondo le seguenti fasi:

- Calcolo delle pressioni in calotta (per gli scatolari ricoperti da terreno);
- Calcolo della spinta del terreno;

- Calcolo delle sollecitazioni sugli elementi strutturali (fondazione, piedritti e traverso);
- Progetto delle armature e relative verifiche dei materiali.

L'analisi strutturale sotto le azioni sismiche è condotta con il metodo dell'analisi statica equivalente

La verifica delle sezioni degli elementi strutturali è eseguita con il metodo degli Stati Limite. Le combinazioni di carico adottate sono esaustive relativamente agli scenari di carico più gravosi cui l'opera sarà soggetta.

8.2 Azioni

Le azioni considerate per la verifica delle strutture di sostegno sono le seguenti:

CONDIZIONI DI CARICO ELEMENTARI	
1	Peso Proprio
2	Permanenti
3	Spinta terreno sinistra
4	Spinta terreno destra
5	Spinta Falda
6	Sisma sinistra
7	Sisma destra
8	Ritiro e Viscosità
9	Termica
10	QCEN (+Azioni da avviamento/frenatura)
11	QLAT (+Azioni da avviamento/frenatura)

Per quanto riguarda tuttavia le condizioni 5 e 7, proposte di default dal software di calcolo utilizzato, nel caso in esame non assumono significato.

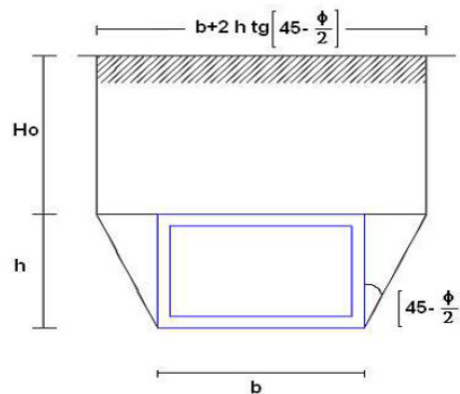
Nel seguito si andranno ad esporre in dettaglio, le valutazioni di calcolo effettuate per ciascuna delle condizioni citate.

8.2.1 Peso proprio (cond. di carico 1)

Il peso proprio delle strutture è determinato automaticamente dal programma di calcolo, avendo considerato un peso dell'unità di volume del c.a. $\gamma_{cls} = 25 \text{ KN/m}^3$.

8.2.2 Permanenti (cond. di carico 2)

Peso proprio del terreno di ricoprimento. Per la valutazione del carico permanente in copertura, si è fatto riferimento al metodo di Terzaghi secondo il quale, il carico sul traverso si manifesta come semplice peso di una massa parabolica o ellittica di distacco.



Più in dettaglio Terzaghi fornisce due espressioni differenti della pressione a seconda della maggiore o minore altezza del ricoprimento, H_0 .

Facendo riferimento ai simboli della figura precedente, ed indicando con C la coesione, con ϕ l'angolo di attrito e con γ il peso di volume del terreno di ricoprimento, le due espressioni sono le seguenti:

$$p_v = \frac{\gamma B_1 - C}{K \operatorname{tg} \phi} \left(1 - e^{-K \frac{H_0}{B_1} \operatorname{tg} \phi} \right)$$

nella quale K è un coefficiente sperimentale, che, secondo misure eseguite dallo stesso Terzaghi è circa uguale ad 1, mentre il coefficiente B_1 , si ricava attraverso la seguente espressione:

$$B_1 = \frac{b}{2} + h \operatorname{tg} \left(45^\circ - \frac{\phi}{2} \right)$$

nella quale ϕ è l'angolo di attrito dello strato di rinfianco.

Il ricoprimento dato dal Ballast è invece considerato come peso permanente non strutturale G_2 sulla base del peso specifico del ballast (18 kN/m^2) valutato con uno spessore convenzionale di 0.8m : $G_2 = 18 \text{ kN/m}^2 \times 0.8\text{m} = 14.4 \text{ kN/m}^2$.

8.2.3 Spinta del terreno (cond. di carico 3/4)

Per la valutazione delle Spinte del terreno sui piedritti, in considerazione della ridotta capacità de formativa dell'opera, si è assunto che sui piedritti agisca la spinta calcolata in condizioni di riposo. L'espressione della spinta esercitata da un terrapieno, di peso di volume γ , su una parete di altezza H, risulta espressa secondo la teoria di Coulomb dalla seguente relazione (per terreno incoerente) :

$$S = \frac{1}{2} \cdot \gamma \cdot H^2 \cdot K_0$$

Il coefficiente di spinta a riposo è espresso dalla relazione:

$$K_0 = 1 - \sin \phi$$

Dove ϕ rappresenta l'angolo d'attrito interno del terreno di rinfiacco.

Quindi la pressione laterale, ad una generica profondità z e la spinta totale sulla parete di altezza H valgono:

$$\sigma = \gamma \cdot z \cdot K_0 + p_v \cdot K_0$$

$$S = \frac{1}{2} \cdot \gamma \cdot H^2 \cdot K_0 + p_v \cdot K_0 \cdot H$$

dove p_v è la pressione verticale agente in corrispondenza della calotta.

8.2.4 Spinta in presenza di falda (cond. di carico 5)

Nel caso in cui a monte della parete sia presente la falda il diagramma delle pressioni sulla parete risulta modificato a causa della sottospinta che l'acqua esercita sul terreno. Il peso di volume del terreno al di sopra della linea di falda non subisce variazioni. Viceversa al di sotto del livello di falda va considerato il peso di volume di galleggiamento:

$$\gamma_a = \gamma_{sat} - \gamma_w$$

dove γ_{sat} è il peso di volume saturo del terreno (dipendente dall'indice dei pori) e γ_w è il peso di volume dell'acqua.

Quindi il diagramma delle pressioni al di sotto della linea di falda ha una pendenza minore. Al diagramma così ottenuto va sommato il diagramma triangolare legato alla pressione idrostatica esercitata dall'acqua.

Nel caso in esame, in relazione a quanto specificato al paragrafo 5, il regime di spinta non è influenzato dalla presenza della falda.

8.2.5 Azioni Sismiche (cond. di carico 6/7)

Per il calcolo dell'azione sismica si è utilizzato il metodo dell'analisi pseudostatica in cui l'azione sismica è rappresentata da una forza statica equivalente pari al prodotto delle forze di gravità per un opportuno coefficiente sismico k.

Forze d'inerzia

Le forze sismiche sono pertanto le seguenti:

Forza sismica orizzontale $F_h = k_h * W$

Forza sismica verticale $F_v = k_v * W$

I valori dei coefficienti sismici orizzontale k_h e verticale k_v possono essere valutati mediante le espressioni:

$$k_h = a_{max} / g$$

$$k_v = \pm 0,5 * k_h$$

In assenza di analisi specifiche della risposta sismica locale, l'accelerazione massima può essere valutata con la relazione:

$$a_{max} = S * a = S_s * S_t * a_g$$

Nel caso specifico, in accordo a quanto già riportato al paragrafo 6 risulta:

<i>Condizione</i>	Categoria sottosuolo	a_g/g	S=SsSt	a_{max}/g	β_m (-)	K_h (-)
SLV	C	0.166	1.449	0.242	1.00	0.242

dove:

- a_{max} è l'accelerazione orizzontale massima attesa al sito,
- β è il coefficiente di spostamento (Figura 7.11.3 del DM 14/01/2008).

Nel caso in esame si assume $\beta=1$ in accordo alla teoria di Wood.

Spinta sismica terreno

In corrispondenza di un evento sismico è necessario tener conto dell'amplificazione/deamplificazione delle spinte del terreno a monte e a valle dell'opera. Si trascurano gli effetti inerziali sulle masse che costituiscono la struttura di sostegno (DM 14/01/2008).

Le spinte del terreno in fase sismica, sono state determinate con la **teoria di Wood**, secondo la quale la risultante dell'incremento di spinta per effetto del sisma su una parete di altezza H viene determinata con la seguente espressione: $\Delta S_E = K_h \cdot \gamma \cdot H^2$

L'effetto del sisma è ottenuto applicando un incremento di spinta del terreno valutato secondo la teoria di Wood, agente direttamente sulla paratia secondo una distribuzione uniforme sull'intera altezza dell'opera. Utilizzando la formulazione seguente:

$$\Delta P_d = \frac{a_g}{g} \cdot S \gamma \cdot H^2 = E$$

Dove γ rappresenta il peso del volume di terreno che interagisce con l'opera, H rappresenta l'altezza totale dell'opera (comprensiva del tratto infisso), S è il coeff. di amplificazione locale mentre a_g è la PGA.

8.2.6 Ritiro e viscosità (cond. di carico 8)

Gli effetti del ritiro del calcestruzzo e della viscosità sono assimilati ad una variazione termica uniforme della soletta superiore.

Nello specifico, si è assunto di modellare la deformazione da ritiro totale comprensiva anche degli effetti da deformazione viscosa, attraverso l'introduzione di un carico termico uniforme nella soletta superiore di -10°C

8.2.7 Variazioni termiche della struttura (cond. di carico 9)

La variazione termica applicata sulla struttura è pari a $\Delta T = \pm 15^\circ\text{C}$, con una variazione termica a aggiuntiva a farfalla pari a $\Delta T = \pm 5^\circ\text{C}$ (variabile linearmente da -2.5°C all'estradosso della soletta superiore, a $+2.5^\circ\text{C}$ all'intradosso della soletta superiore applicata sulla soletta di copertura

8.2.8 Azioni variabili da traffico (cond. di carico 10/11)

Il carico accidentale più sfavorevole per l'opera in esame è quello rappresentato dal treno LM71.

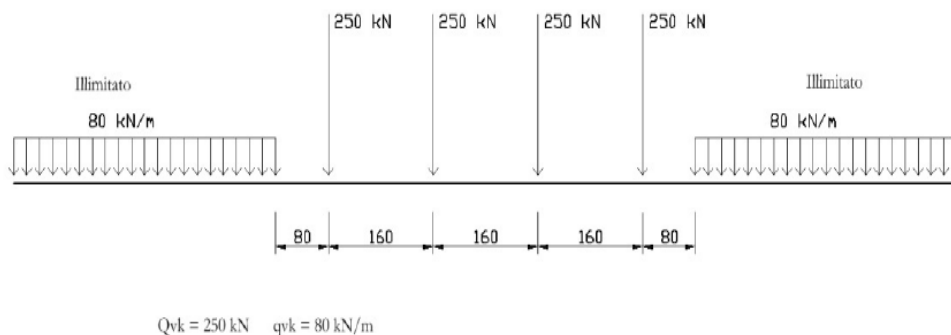


Figura 8 - Treno LM71

Il sovraccarico ferroviario (LM71) come evidente dallo schema di figura, è costituito da un totale di 4 assi del peso di 250 KN ciascuno distribuiti su una lunghezza complessiva 6.40m, nonché da carichi uniformi di 80KN/m

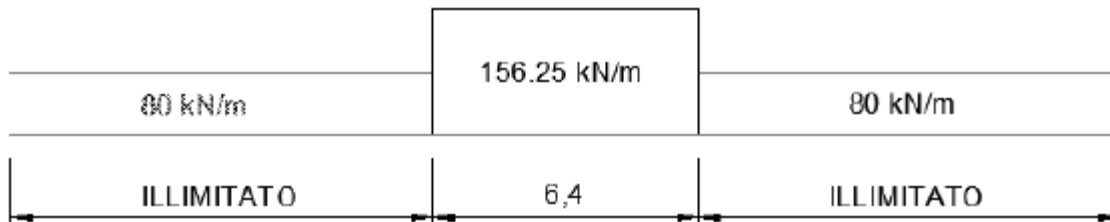
TRENO DI CARICO LM71	
Assi di carico "Q _{1k} "	250 kN
n° assi di carico	4
Carico illimitato "q _{1k} "	80 kN/m

Il carico equivalente si ricava dalla ripartizione trasversale e longitudinale dei carichi per effetto delle traverse e del ballast previsti dalla stessa norma EN 1991-2:2003/AC:2010.

Determinazione delle larghezze di diffusione dei carichi mobili:

Considerando i 4 carichi assiali da 250 kN e la relativa distribuzione longitudinale, il carico verticale equivalente a metro lineare agente alla quota della piattaforma ferroviaria (convenzionalmente a 70 cm dal piano del ferro) risulta pari a:

$$p = \frac{4 \times 250}{4 \times 1.60} = 156.25 \text{ kPa}$$



Mentre in direzione trasversale la diffusione dei carichi attraverso Ballast avviene con pendenza 1:4, attraverso il ricoprimento con angolo di attrito mentre, nella soletta in cls con pendenza 1:1. Quindi il carico equivalente a livello dell'asse della soletta risulta pari a:

spessore Ballast+Armamento	0.80	m
spessore ricoprimento "hr"	3.05	m
spessore soletta "hs"	0.80	m
Larghezza traversina	2.4	m
Larghezza diffusione trasv. "b"	8.37	m
Q _{vk} (a livello dell'asse della soletta)	18.7	kPa
q _{vk} (a livello dell'asse della soletta)	9.6	kPa

I carichi effettivi di progetto vanno tuttavia valutati portando in conto anche gli eventuali effetti dinamici; attraverso la determinazioni dei coefficienti Φ₂ o Φ₃ e del coefficiente di adattamento (α), secondo quanto specificato a riguardo nel documento RFIDTCINCPOSPIFS001B.

Per la valutazione del coefficiente α si fa riferimento in particolare a quanto specificato in Tab 1.4.1.1-1 del suddetto documento, da cui risulta:

MODELLO DI CARICO	COEFFICIENTE " α "
LM71	1.1
SW/0	1.1
SW/2	1.0

Tab 1.4.1.1-1 Coefficiente " α "

Per il calcolo del coefficiente dinamico, si fa riferimento invece alle indicazioni di cui al par. 1.4.2.5, considerando il caso di Linee con "Normale Standar Manutentivo" ovvero al coefficiente Φ_3 .

Per il caso delle solette di scatolare, dalla Tab 1.4.5.3-1, punto 5.4 (per sottovia di altezza libera minore o uguale di 5m) risulta: $\Phi_3 = 1.35$.

In ottemperanza al punto 2.5.1.4.2.5.2 alle norme RFI tale coefficiente viene ridotto in quanto l'altezza di ricoprimento è superiore ad 1m:

$$\phi_{(2,3),rid} = \phi_{(2,3)} - \frac{h - 1,00}{10} \geq 1,00$$

Dove h, in metri, è l'altezza della copertura, incluso il ballast, dall'estradosso della struttura alla faccia superiore delle traverse.

Pertanto i carichi di progetto dinamizzati, da considerare su una fascia longitudinale di calcolo di 1m risultano i seguenti:

Coefficiente di adattamento α	1.10	
Coefficiente dinamico ϕ_3	1.35	
Coefficiente dinamico ridotto $\phi_{3,rid}$	1.065	
Carico Assi Dinamizzato $Q_{vk,din}$	21.9	kPa $q = q_{equivalente} \times \alpha \times \phi$
Carico Illimitato Dinamizzato $q_{vk,din}$	11.2	kPa $q = q_{equivalente} \times \alpha \times \phi$

Il carico Q_{vk} è dunque applicato ad intradosso ballast su una fascia di 6.40m trascurando cautelativamente la diffusione all'interno del ballast. In direzione longitudinale la diffusione all'interno del terreno di ricoprimento, è svolta in automatico dal software di calcolo considerando come angolo di diffusione l'angolo d'attrito del terreno di rilevato ferroviario.

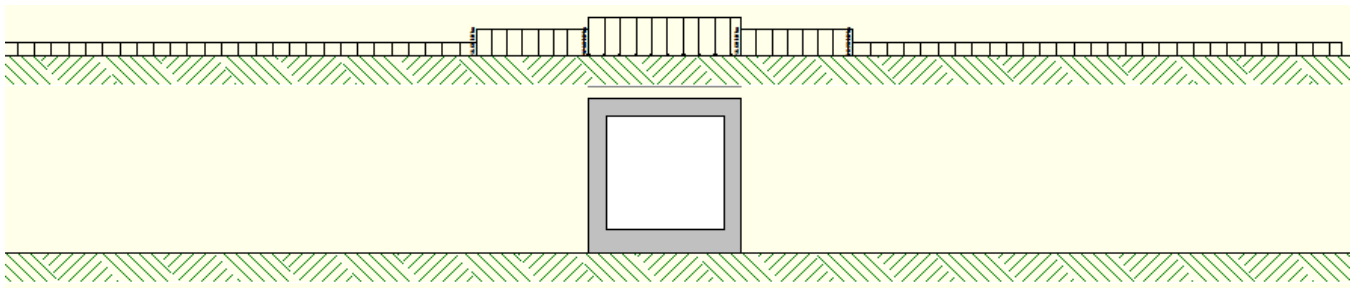
Si fa notare inoltre che per il carico sono state considerate due condizioni di carico:

- una prima condizione di carico (Q_{CEN}) finalizzata alla massimizzazione degli effetti flessionali su traverso ed a testa piedritti;
- una seconda condizione (Q_{LAT}) con finalità di massimizzare gli effetti flessionali in mezzera piedritto.

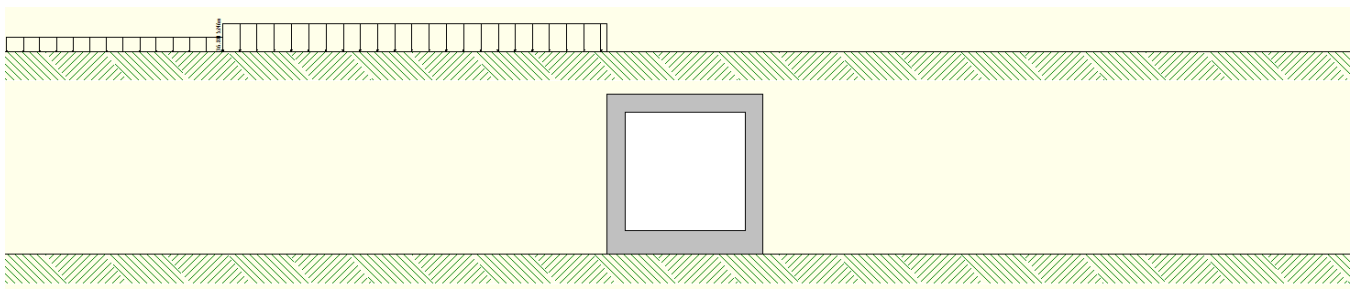
In virtù degli schemi di carico considerati, per la parte di carico che ricade al di fuori dell'ingombro della struttura scatolare, non si è considerato l'effetto dinamico.

Di seguito si riportano gli schemi grafici riferiti alle due condizioni di carico citate:

I carichi effettivi di progetto vanno tuttavia valutati portando in conto anche gli eventuali effetti dinamici; attraverso la determinazioni dei coefficienti $\Phi 2$ o $\Phi 3$ e del coefficiente di adattamento (α), secondo quanto specificato a riguardo nel documento RFIDTCINCPOSPIFS001B.



Condizione di Carico Q_{CEN}



Condizione di Carico Q_{LAT}

8.2.9 Azioni di avviamento/frenatura associati al passaggio dei treni sul traverso (cond. 10/11)

I valori caratteristici da considerare, da moltiplicare per i coefficienti di adattamento α , sono:

Avviamento:

$$Q_{1a,k} = 33 \text{ [kN/m]} \times L \text{ [m]} \leq 1000 \text{ KN} \quad \text{per modelli di carico LM71, SW/0, SW/2}$$

Frenatura:

$$Q_{1b,k} = 20 \text{ [kN/m]} \times L \text{ [m]} \leq 6000 \text{ KN} \quad \text{per modelli di carico LM71, SW/0}$$

$$Q_{1b,k} = 35 \text{ [kN/m]} \times L \text{ [m]} \quad \text{per modelli di carico SW/2}$$

Nel caso in esame:

Avviamento Treno LM71 su traverso

<i>Avviamento a quota piattaforma</i>	33.0	KN/m
Coefficiente di adattamento α	1.1	
Larghezza diffusione trasv. "b"	8.36	m
<i>Avviamento su traverso superiore</i>	4.3	KN/m

Frenatura Treno LM71 su traverso

<i>Avviamento a quota piattaforma</i>	35.0	KN/m
Coefficiente di adattamento α	1.1	
Larghezza diffusione trasv. "b"	8.36	m
<i>Frenatura su traverso superiore</i>	4.6	KN/m

In fase progettuale, dovendo considerare una fascia di un metro in direzione trasversale, si considera nel modello unicamente l'azione massima tra quelle di avviamento e frenatura. Queste azioni tangenziali al traverso sono incluse nelle condizioni di carico 10/11.

8.3 Approcci progettuali e metodi di verifica

Come prescritto dal DM 14/01/2008 per le verifiche dell'opera è stata considerata la combinazione A1-M1-R3 con i coefficienti di combinazione riportati nelle tabelle 6.2.I, 6.2.II e 6.5.I del DM 14/01/2008.

Le verifiche in condizioni sismiche sono state condotte con riferimento allo stato limite ultimo di salvaguardia della vita (SLV). Per le verifiche in condizioni sismiche i coefficienti parziali sulle azioni sono pari all'unità.

8.4 Combinazioni di carico

Sulla base della definizione dei carichi di cui sopra, in accordo a quanto prescritto dal DM 14/01/2008, sono state individuate le combinazioni di carico per le verifiche di stati limite ultimi e di esercizio in condizioni statiche e in condizioni sismiche.

- combinazione fondamentale (SLU)
- combinazione sismica (SLV): il coefficiente di combinazione per il carico variabile Q_1 è pari a 0
- coefficienti di partecipazione Ψ per carichi di tipo variabile :

Variabili da traffico: $\Psi_0 = 0.80 \quad \Psi_1 = 0.80 \quad \Psi_2 = 0.00$ ($\Psi_2 = 0.20$ in combinazioni sismiche)

Azioni Termiche : $\Psi_0 = 0.60 \quad \Psi_1 = 0.60 \quad \Psi_2 = 0.50$

Per un riepilogo delle Combinazioni di Calcolo considerate nelle analisi si rimanda ai tabulati di calcolo in allegato.

8.5 Carico limite di fondazioni dirette

Per la valutazione del carico limite delle fondazioni dirette si utilizza il criterio di **Meyerhof**, di cui nel seguito si riporta la relativa trattazione teorica:

Dette:

- c Coesione
- ca Adesione lungo la base della fondazione ($ca \leq c$)
- θ Angolo che la retta d'azione del carico forma con la verticale
- φ Angolo d'attrito
- δ Angolo di attrito terreno fondazione
- γ Peso specifico del terreno
- K_p Coefficiente di spinta passiva espresso da $K_p = \tan^2(45^\circ + \varphi/2)$
- B Larghezza della fondazione
- L Lunghezza della fondazione
- D Profondità del piano di posa della fondazione
- η inclinazione piano posa della fondazione
- P Pressione geostatica in corrispondenza del piano di posa della fondazione
- qult Carico ultimo della fondazione

Meyerhof propone per la valutazione di q_{ult} , le seguenti espressioni generali:

Carico verticale

$$q_{ult} = c \cdot N_c \cdot s_c \cdot d_c + q \cdot N_q \cdot s_q \cdot d_q + 0.5 \cdot B \cdot \gamma \cdot N_\gamma \cdot s_\gamma \cdot d_\gamma$$

Carico inclinato

$$q_{ult} = c \cdot N_c \cdot i_c \cdot d_c + q \cdot N_q \cdot i_q \cdot d_q + 0.5 \cdot B \cdot \gamma \cdot N_\gamma \cdot i_\gamma \cdot d_\gamma$$

in cui d_c , d_q e d_γ sono i fattori di profondità, s_c , s_q e s_γ sono i fattori di forma, i_c , i_q e i_γ sono i fattori di inclinazione del carico,

In particolare risulta:

$$N_q = e^{\pi \tan \phi} K_p$$

$$N_c = (N_q - 1) \operatorname{ctg} \phi$$

$$N_\gamma = (N_q - 1) \operatorname{tg} (1.4 \phi)$$

Fattori di forma

$$s_c = 1 + 0.2 K_p \frac{B}{L}$$

per $\phi = 0$	per $\phi > 0$
$s_q = s_\gamma = 1$	$s_q = s_\gamma = 1 + 0.1 K_p \frac{B}{L}$

Fattori di profondità

Fattori inclinazione del carico



NUOVO COLLEGAMENTO PALERMO – CATANIA
 TRATTA DITTAINO - CATENANUOVA
 PROGETTO DEFINITIVO
 TOMBINI IDRAULICI
 Tombini ferroviari e stradali

Tombino alla pk 19+150: Relazione di calcolo e caratterizzazione sismica

COMMESSA	LOTTO	CODIFICA	DOCUMENTO	REV.	FOGLIO
RS3E	50	D 78 CL	IN4200 001	A	29 di 96

$$d_c = 1 + 0.2 \sqrt{K_p} \frac{D}{B}$$

per $\phi = 0$	per $\phi > 0$
$d_q = d_\gamma = 1$	$d_q = d_\gamma = 1 + 0.1 \sqrt{K_p} \frac{D}{B}$

$$i_c = i_q = \left(1 - \frac{\phi}{90}\right)^2$$

per $\phi = 0$	per $\phi > 0$
$i_\gamma = 0$	$i_\gamma = \left(1 - \frac{\phi}{\phi}\right)^2$

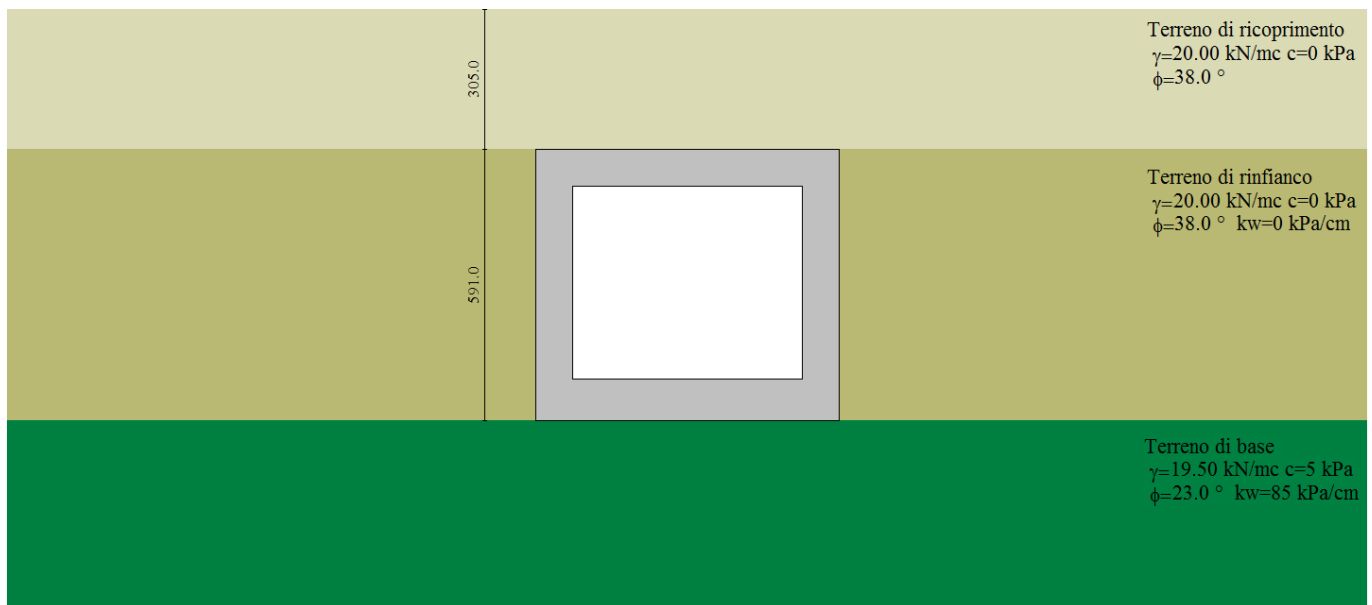
L'espressione di Meyerhof presuppone pertanto l'orizzontalità del piano di posa, condizione verificata per il caso in esame.

9. RISULTATI, ANALISI E VERIFICHE

Di seguito di riporta una descrizione della modellazione effettuata mediante ausilio del software di calcolo SCAT v.14 prodotto dalla AZTEC Informativa, con una descrizione del modello strutturale implementato, sollecitazioni di calcolo ottenute e risultati delle verifiche effettuate.

9.1 MODELLO DI CALCOLO

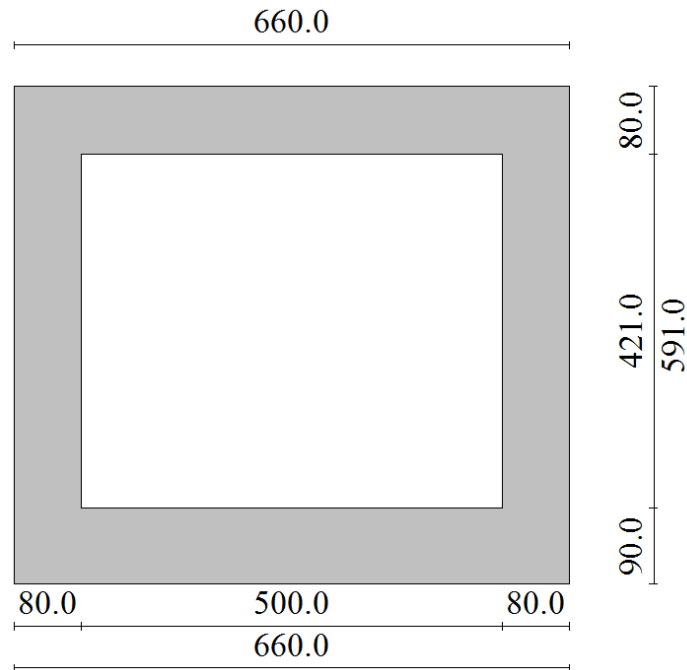
Di seguito di riporta una descrizione del modello geometrico/geotecnico considerato ai fini del dimensionamento:



Modello Geometrico Geotecnico di Riferimento – 1/2

Tombino alla pk 19+150: Relazione di calcolo e caratterizzazione sismica

COMMESSA	LOTTO	CODIFICA	DOCUMENTO	REV.	FOGLIO
RS3E	50	D 78 CL	IN4200 001	A	31 di 96

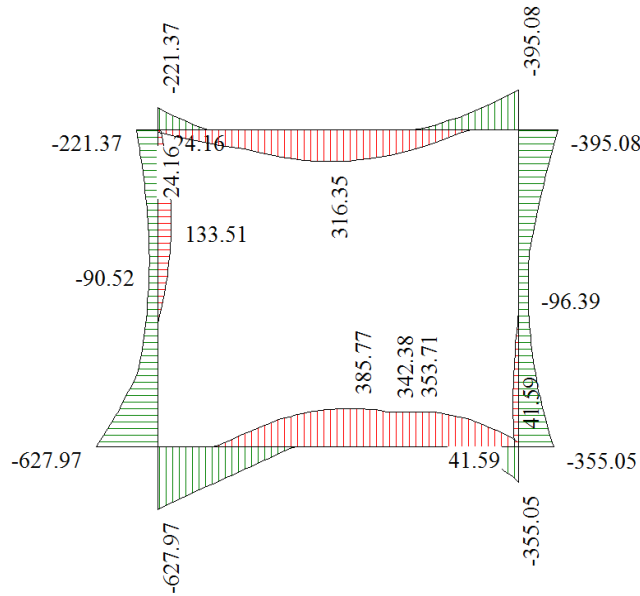


Modello Geometrico Geotecnico di Riferimento – 2/2

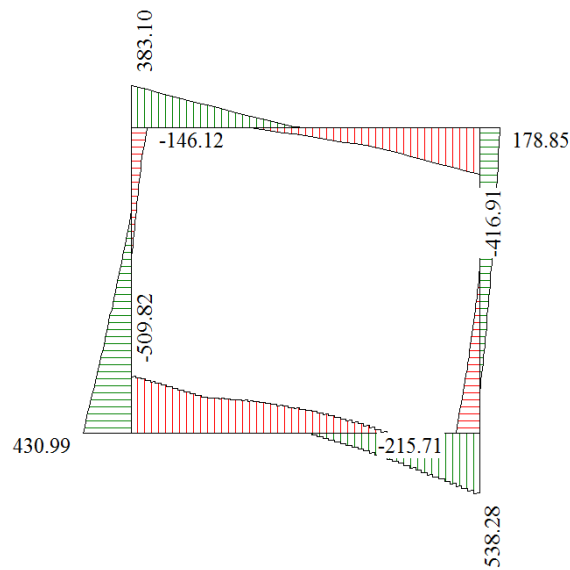
Tombino alla pk 19+150: Relazione di calcolo e caratterizzazione sismica

COMMESSA	LOTTO	CODIFICA	DOCUMENTO	REV.	FOGLIO
RS3E	50	D 78 CL	IN4200 001	A	32 di 96

9.2 SOLLECITAZIONI DI CALCOLO



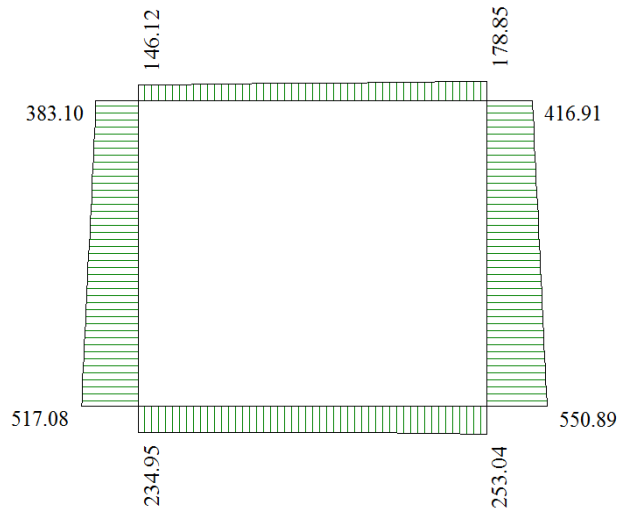
Inviluppo diagrammi del momento flettente – SLU statico e sismico



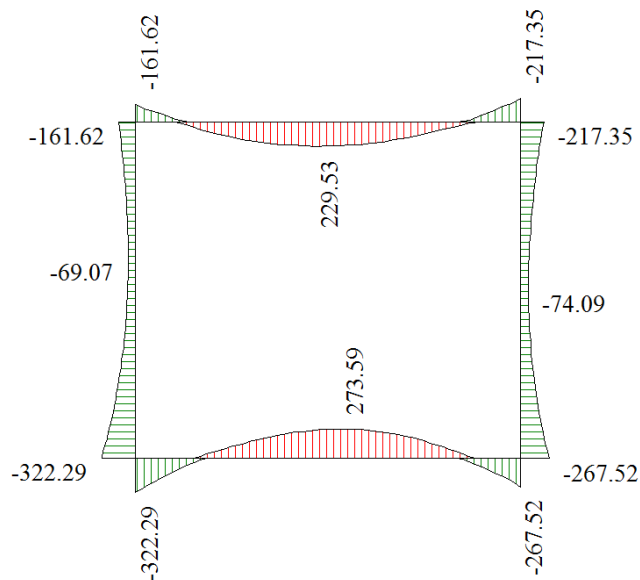
Inviluppo diagrammi del taglio – SLU statico e sismico

Tombino alla pk 19+150: Relazione di calcolo e caratterizzazione sismica

COMMESSA	LOTTO	CODIFICA	DOCUMENTO	REV.	FOGLIO
RS3E	50	D 78 CL	IN4200 001	A	33 di 96



Inviluppo diagrammi dello sforzo normale – SLU statico e sismico



Inviluppo diagrammi del momento flettente – SLE



NUOVO COLLEGAMENTO PALERMO – CATANIA
TRATTA DITTAINO - CATENANUOVA
PROGETTO DEFINITIVO
TOMBINI IDRAULICI
Tombini ferroviari e stradali

Tombino alla pk 19+150: Relazione di calcolo e caratterizzazione sismica

COMMESSA	LOTTO	CODIFICA	DOCUMENTO	REV.	FOGLIO
RS3E	50	D 78 CL	IN4200 001	A	34 di 96

9.3 ARMATURE DI PROGETTO

Nella tabella seguente si riportano le armature di progetto previste per la sezione di calcolo in questione, come desumibili dagli elaborati grafici di armatura delle opere relative:

Elemento	Armatura a flessione		Armatura a taglio
	Af 1	Af 2	Af t
TRAVERSO	Φ22/10 cm	Φ22/10 cm	Spilli φ 8/20x20
PIEDRITTI	Φ22/10 cm	Φ22/20 cm	Spilli φ 8/20x20
FONDAZIONE	Φ22/10 cm	Φ22/10 cm	Spilli φ 8/20x20

Af1 : Armatura lato esterno (terreno)

Af2 : Armatura lato interno

Per l'incidenza dell'opera oggetto della presente relazione di calcolo fare riferimento all'elaborato dal titolo: Tabella Incidenza Armature opere civili.

Per ulteriori dettagli circa i risultati delle verifiche si rimanda ai tabulati di calcolo specifici per l'opera in oggetto

9.4 VERIFICHE DI RESISTENZA E FESSURAZIONE

Il software esegue in automatico tutte le verifiche strutturali sia allo stato limite ultimo che allo stato limite di esercizio.

Per i risultati delle verifiche si rimanda ai tabulati di calcolo in allegato. I criteri generali di verifica adottati dal Software, sono quelli esposti al paragrafo 8.1. Per quanto riguarda il taglio il programma prevede sia la verifica per elementi non armati a taglio e sia quella per elementi dotati di apposita armatura a taglio, disponendo tuttavia ferri sagomati resistenti a taglio e non staffe o tiranti. Per questo motivo le verifiche a taglio vengono eseguite manualmente attraverso l'ausilio di fogli di calcolo strutturati ad hoc sulla base del DM2008. Le sollecitazioni taglianti sono valutate a filo elementi e sono intese come involucro tra le sollecitazioni taglianti delle varie combinazioni di calcolo considerate

VERIFICA A TAGLIO						
Sezione	V _{Ed}	b	h	V _{Rd}	Verificato	Armatura a taglio
[-]	[kN]	[cm]	[cm]	[kN]	[-]	[-]
Traverso	370	100	80	190.9	SI	Spilli ϕ 8/20x20
Piedritti	420	100	80	190.9	SI	Spilli ϕ 8/20x20
Fondazione	530	100	90	486.8	SI	Spilli ϕ 8/20x20

Ai fini delle verifiche agli stati limite di esercizio si è provveduto a verificare che le tensioni massime nel calcestruzzo e nell'acciaio siano inferiori ai valori massimi pari rispettivamente a 14,9 MPa (per calcestruzzo di classe C25/30 combinazioni rare) e di 360 MPa (per acciaio B 450 C), nonché di verificare che l'apertura delle fessure sia inferiore al valore limite di $w_1=0,2\text{mm}$ (Classe di esposizione XC2 ed armature poco sensibili).

Come si evince dai tabulati le verifiche risultano soddisfatte.

9.5 VERIFICHE GEOTECNICHE

La verifica a carico limite è stata eseguita in automatico dal software di calcolo attraverso l'utilizzo di della formula di Meyerhof. Per i risultati delle verifiche si rimanda ai tabulati di calcolo in allegato.



NUOVO COLLEGAMENTO PALERMO – CATANIA
TRATTA DITTAINO - CATENANUOVA
PROGETTO DEFINITIVO
TOMBINI IDRAULICI
Tombini ferroviari e stradali

Tombino alla pk 19+150: Relazione di calcolo e caratterizzazione sismica

COMMESSA	LOTTO	CODIFICA	DOCUMENTO	REV.	FOGLIO
RS3E	50	D 78 CL	IN4200 001	A	36 di 96

10. TABULATI DI CALCOLO

Affidabilità dei codici di calcolo

Un attento esame preliminare della documentazione a corredo dei software impiegati ha consentito di valutarne l'affidabilità. La documentazione fornita dal produttore dei software contiene un'esauriente descrizione delle basi teoriche, degli algoritmi impiegati e l'individuazione dei campi d'impiego. Le stesse società produttrici hanno verificato l'affidabilità e la robustezza dei codici di calcolo attraverso un numero significativo di casi prova in cui i risultati sono contenuti in apposita documentazione fornita a corredo dell'acquisto del prodotto, che per brevità espositiva si omette di allegare al presente documento.

Giudizio motivato di accettabilità dei risultati

I risultati delle elaborazioni espone nel documento sono state inoltre sottoposte a controlli dal sottoscritto utente del software.

Tale valutazione ha compreso il confronto con i risultati di semplici calcoli, eseguiti con metodi tradizionali, che per brevità espositiva si omette dall'allegare al presente documento.

Inoltre sulla base di considerazioni riguardanti gli stati tensionali e deformativi determinati, si è valutata la validità delle scelte operate in sede di schematizzazione e di modellazione della struttura e delle azioni.

In base a quanto sopra, Il Progettista dichiara pertanto che l'elaborazione è corretta ed idonea al caso specifico, validando conseguentemente i risultati dei calcoli esposti nella presente.

Geometria scatolare

Descrizione:	Scatolare semplice	
Altezza esterna	5.91	[m]
Larghezza esterna	6.60	[m]
Lunghezza mensola di fondazione sinistra	0.00	[m]
Lunghezza mensola di fondazione destra	0.00	[m]
Spessore piedritto sinistro	0.80	[m]
Spessore piedritto destro	0.80	[m]
Spessore fondazione	0.90	[m]
Spessore traverso	0.80	[m]

Caratteristiche strati terreno

Strato di ricoprimento

Descrizione	Terreno di ricoprimento	
Spessore dello strato	3.05	[m]
Peso di volume	20.0000	[kN/mc]
Peso di volume saturo	20.0000	[kN/mc]
Angolo di attrito	38.00	[°]
Coesione	0	[kPa]

Strato di rinfianco

Descrizione	Terreno di rinfianco	
Peso di volume	20.0000	[kN/mc]
Peso di volume saturo	20.0000	[kN/mc]
Angolo di attrito	38.00	[°]
Angolo di attrito terreno struttura	25.33	[°]
Coesione	0	[kPa]
Costante di Winkler	0	[kPa/cm]

Strato di base

Descrizione	Terreno di base	
Peso di volume	19.5000	[kN/mc]
Peso di volume saturo	19.5000	[kN/mc]
Angolo di attrito	23.00	[°]



NUOVO COLLEGAMENTO PALERMO – CATANIA
TRATTA DITTAINO - CATENANUOVA
PROGETTO DEFINITIVO
TOMBINI IDRAULICI
Tombini ferroviari e stradali

Tombino alla pk 19+150: Relazione di calcolo e caratterizzazione sismica

COMMESSA	LOTTO	CODIFICA	DOCUMENTO	REV.	FOGLIO
RS3E	50	D 78 CL	IN4200 001	A	38 di 96

Angolo di attrito terreno struttura	23.00	[°]
Coesione	5	[kPa]
Costante di Winkler	70	[kPa/cm]
Tensione limite	1000	[kPa]

Caratteristiche materiali utilizzati

Materiale calcestruzzo

R_{ek} calcestruzzo	37000	[kPa]
Peso specifico calcestruzzo	24.5170	[kN/mc]
Modulo elastico E	32836450	[kPa]
Tensione di snervamento acciaio	450000	[kPa]
Coeff. omogeneizzazione cls teso/compresso (n')	0.50	
Coeff. omogeneizzazione acciaio/cls (n)	15.00	
Coefficiente dilatazione termica	0.0000120	

Condizioni di carico

Convenzioni adottate

Origine in corrispondenza dello spigolo inferiore sinistro della struttura

Carichi verticali positivi se diretti verso il basso

Carichi orizzontali positivi se diretti verso destra

Coppie concentrate positive se antiorarie

Ascisse X (espresse in m) positive verso destra

Ordinate Y (espresse in m) positive verso l'alto

Carichi concentrati espressi in kN

Coppie concentrate espressi in kNm

Carichi distribuiti espressi in kN/m

Simbologia adottata e unità di misura

Forze concentrate

X	ascissa del punto di applicazione dei carichi verticali concentrati
Y	ordinata del punto di applicazione dei carichi orizzontali concentrati
F_y	componente Y del carico concentrato
F_x	componente X del carico concentrato
M	momento

Forze distribuite

Tombino alla pk 19+150: Relazione di calcolo e caratterizzazione sismica

COMMESSA	LOTTO	CODIFICA	DOCUMENTO	REV.	FOGLIO
RS3E	50	D 78 CL	IN4200 001	A	39 di 96

X_i, X_f	ascisse del punto iniziale e finale per carichi distribuiti verticali
Y_i, Y_f	ordinate del punto iniziale e finale per carichi distribuiti orizzontali
V_{ni}	componente normale del carico distribuito nel punto iniziale
V_{nf}	componente normale del carico distribuito nel punto finale
V_{ti}	componente tangenziale del carico distribuito nel punto iniziale
V_{tf}	componente tangenziale del carico distribuito nel punto finale
D_{te}	variazione termica lembo esterno espressa in gradi centigradi
D_{ti}	variazione termica lembo interno espressa in gradi centigradi

Condizione di carico n°1 (Peso Proprio)

Condizione di carico n°2 (Spinta terreno sinistra)

Condizione di carico n°3 (Spinta terreno destra)

Condizione di carico n°4 (Sisma da sinistra)

Condizione di carico n°5 (Sisma da destra)

Condizione di carico n° 7 (Qcentrale)

Distr	Terreno	$X_i= 0.10$	$X_f= 6.50$	$V_{ni}= 21.90$	$V_{nf}= 21.90$	
Distr	Terreno	$X_i= -10.00$	$X_f= 0.10$	$V_{ni}= 9.60$	$V_{nf}= 9.60$	
Distr	Terreno	$X_i= 6.50$	$X_f= 16.50$	$V_{ni}= 9.60$	$V_{nf}= 9.60$	
Distr	Traverso	$X_i= 0.00$	$X_f= 6.60$	$V_{ni}= 0.00$	$V_{nf}= 0.00$	$V_{ti}= 4.60$ $V_{tf}= 4.60$

Condizione di carico n° 8 (Qlaterale)

Distr	Terreno	$X_i= -10.00$	$X_f= -6.40$	$V_{ni}= 9.60$	$V_{nf}= 9.60$
Distr	Terreno	$X_i= -6.40$	$X_f= 0.00$	$V_{ni}= 18.70$	$V_{nf}= 18.70$

Condizione di carico n° 9 (TERMICO)

Term	Traverso	$D_{te}= -2.50$	$D_{ti}= 2.50$
Term	Traverso	$D_{te}= -15.00$	$D_{ti}= -15.00$

Condizione di carico n° 10 (RITIRO)

Term	Traverso	$D_{te}= -10.00$	$D_{ti}= -10.00$
------	----------	------------------	------------------

Condizione di carico n° 11 (BALLAST)

Distr	Terreno	$X_i= -10.00$	$X_f= 16.50$	$V_{ni}= 14.40$	$V_{nf}= 14.40$
-------	---------	---------------	--------------	-----------------	-----------------

Impostazioni di progetto

Verifica materiali:

Stato Limite Ultimo

Coefficiente di sicurezza calcestruzzo γ_c	1.50
Fattore riduzione da resistenza cubica a cilindrica	0.83
Fattore di riduzione per carichi di lungo periodo	0.85
Coefficiente di sicurezza acciaio	1.15
Coefficiente di sicurezza per la sezione	1.00

Verifica Taglio - Metodo dell'inclinazione variabile del traliccio

$$V_{Rd} = [0.18 * k * (100.0 * \rho_l * f_{ck})^{1/3} / \gamma_c + 0.15 * \sigma_{cp}] * b_w * d > (v_{min} + 0.15 * \sigma_{cp}) * b_w * d$$

$$V_{Rsd} = 0.9 * d * A_{sw} / s * f_{yd} * (\text{ctg} \alpha + \text{ctg} \theta) * \sin \alpha$$

$$V_{Rcd} = 0.9 * d * b_w * \alpha_c * f_{cd} * (\text{ctg}(\theta) + \text{ctg}(\alpha)) / (1.0 + \text{ctg} \theta^2)$$

con:

d	altezza utile sezione [mm]
b_w	larghezza minima sezione [mm]
σ_{cp}	tensione media di compressione [N/mmq]
ρ_l	rapporto geometrico di armatura
A_{sw}	area armatura trasversale [mmq]
s	interasse tra due armature trasversali consecutive [mm]
α_c	coefficiente maggiorativo, funzione di fcd e σ_{cp}

$$f_{cd} = 0.5 * f_{cd}$$

$$k = 1 + (200/d)^{1/2}$$

$$v_{min} = 0.035 * k^{3/2} * f_{ck}^{1/2}$$

Stato Limite di Esercizio

Criteri di scelta per verifiche tensioni di esercizio:

Ambiente moderatamente aggressivo

Limite tensioni di compressione nel calcestruzzo (comb. rare)	0.55 f_{ck}
Limite tensioni di compressione nel calcestruzzo (comb. quasi perm.)	0.40 f_{ck}
Limite tensioni di trazione nell'acciaio (comb. rare)	0.75 f_{yk}

Criteri verifiche a fessurazione:



NUOVO COLLEGAMENTO PALERMO – CATANIA
 TRATTA DITTAINO - CATENANUOVA
 PROGETTO DEFINITIVO
 TOMBINI IDRAULICI
 Tombini ferroviari e stradali

Tombino alla pk 19+150: Relazione di calcolo e caratterizzazione sismica

COMMESSA	LOTTO	CODIFICA	DOCUMENTO	REV.	FOGLIO
RS3E	50	D 78 CL	IN4200 001	A	41 di 96

Armatura poco sensibile

Apertura limite fessure espresse in [mm]

Apertura limite fessure $w_l=0.20$

Verifiche secondo :

Norme Tecniche 2008 - Approccio 2

Copriferro sezioni 6.00 [cm]

Descrizione combinazioni di carico

Simbologia adottata

γ	Coefficiente di partecipazione della condizione
ψ	Coefficiente di combinazione della condizione
C	Coefficiente totale di partecipazione della condizione

Norme Tecniche 2008

Simbologia adottata

γ_{G1sfav}	Coefficiente parziale sfavorevole sulle azioni permanenti
γ_{G1fav}	Coefficiente parziale favorevole sulle azioni permanenti
γ_{G2sfav}	Coefficiente parziale sfavorevole sulle azioni permanenti non strutturali
γ_{G2fav}	Coefficiente parziale favorevole sulle azioni permanenti non strutturali
γ_Q	Coefficiente parziale sulle azioni variabili
$\gamma_{tan\phi}$	Coefficiente parziale di riduzione dell'angolo di attrito drenato
γ_c	Coefficiente parziale di riduzione della coesione drenata
γ_{cu}	Coefficiente parziale di riduzione della coesione non drenata
γ_{qu}	Coefficiente parziale di riduzione del carico ultimo

Coefficienti di partecipazione combinazioni statiche

Coefficienti parziali per le azioni o per l'effetto delle azioni:

Carichi	Effetto		A1	A2
Permanenti	Favorevole	γ_{G1fav}	1.00	1.00
Permanenti	Sfavorevole	γ_{G1sfav}	1.35	1.00
Permanenti non strutturali	Favorevole	γ_{G2fav}	1.00	0.80
Permanenti non strutturali	Sfavorevole	γ_{G2sfav}	1.50	1.30
Variabili	Favorevole	γ_{Qifav}	0.00	0.00
Variabili	Sfavorevole	γ_{Qisfav}	1.50	1.30



NUOVO COLLEGAMENTO PALERMO – CATANIA
 TRATTA DITTAINO - CATENANUOVA
 PROGETTO DEFINITIVO
 TOMBINI IDRAULICI
 Tombini ferroviari e stradali

Tombino alla pk 19+150: Relazione di calcolo e caratterizzazione sismica

COMMESSA	LOTTO	CODIFICA	DOCUMENTO	REV.	FOGLIO
RS3E	50	D 78 CL	IN4200 001	A	42 di 96

Variabili da traffico	Favorevole	γ_{Qfav}	0.00	0.00
Variabili da traffico	Sfavorevole	γ_{Qsfav}	1.45	1.15
Termici	Favorevole	$\gamma_{e,fav}$	0.00	0.00
Termici	Sfavorevole	$\gamma_{e,sfav}$	1.20	1.20

Coefficienti parziali per i parametri geotecnici del terreno:

<i>Parametri</i>		<i>M1</i>	<i>M2</i>
Tangente dell'angolo di attrito	$\gamma_{\tan\phi}$	1.00	1.25
Coesione efficace	γ_c	1.00	1.25
Resistenza non drenata	γ_{cu}	1.00	1.40
Resistenza a compressione uniassiale	γ_{qu}	1.00	1.60
Peso dell'unità di volume	γ_γ	1.00	1.00

Coefficienti di partecipazione combinazioni sismiche

Coefficienti parziali per le azioni o per l'effetto delle azioni:

<i>Carichi</i>	<i>Effetto</i>		<i>A1</i>	<i>A2</i>
Permanenti	Favorevole	γ_{G1fav}	1.00	1.00
Permanenti	Sfavorevole	γ_{G1sfav}	1.00	1.00
Permanenti	Favorevole	γ_{G2fav}	0.00	0.00
Permanenti	Sfavorevole	γ_{G2sfav}	1.00	1.00
Variabili	Favorevole	γ_{Qifav}	0.00	0.00
Variabili	Sfavorevole	γ_{Qisfav}	1.00	1.00
Variabili da traffico	Favorevole	γ_{Qfav}	0.00	0.00
Variabili da traffico	Sfavorevole	γ_{Qsfav}	1.00	1.00
Termici	Favorevole	$\gamma_{e,fav}$	0.00	0.00
Termici	Sfavorevole	$\gamma_{e,sfav}$	1.00	1.00

Coefficienti parziali per i parametri geotecnici del terreno:

<i>Parametri</i>		<i>M1</i>	<i>M2</i>
Tangente dell'angolo di attrito	$\gamma_{\tan\phi}$	1.00	1.00
Coesione efficace	γ_c	1.00	1.00
Resistenza non drenata	γ_{cu}	1.00	1.00



NUOVO COLLEGAMENTO PALERMO – CATANIA
 TRATTA DITTAINO - CATENANUOVA
 PROGETTO DEFINITIVO
 TOMBINI IDRAULICI
 Tombini ferroviari e stradali

Tombino alla pk 19+150: Relazione di calcolo e caratterizzazione sismica

COMMESSA	LOTTO	CODIFICA	DOCUMENTO	REV.	FOGLIO
RS3E	50	D 78 CL	IN4200 001	A	43 di 96

Resistenza a compressione uniassiale	γ_{qu}	1.00	1.00
Peso dell'unità di volume	γ_{γ}	1.00	1.00

Combinazione n° 1 SLU (Approccio 2)

	Effetto	γ	Ψ	C
Peso Proprio	Sfavorevole	1.35	1.00	1.35
Spinta terreno sinistra	Sfavorevole	1.35	1.00	1.35
Spinta terreno destra	Sfavorevole	1.35	1.00	1.35
Qcentrale	Sfavorevole	1.45	1.00	1.45
TERMICO	Sfavorevole	1.20	0.60	0.72
RITIRO	Sfavorevole	1.20	1.00	1.20
BALLAST	Sfavorevole	1.50	1.00	1.50

Combinazione n° 2 SLU (Approccio 2)

	Effetto	γ	Ψ	C
Peso Proprio	Sfavorevole	1.35	1.00	1.35
Spinta terreno sinistra	Sfavorevole	1.35	1.00	1.35
Spinta terreno destra	Sfavorevole	1.35	1.00	1.35
Qcentrale	Sfavorevole	1.45	0.75	1.09
TERMICO	Sfavorevole	1.20	1.00	1.20
RITIRO	Sfavorevole	1.20	1.00	1.20
BALLAST	Sfavorevole	1.50	1.00	1.50

Combinazione n° 3 SLU (Approccio 2)

	Effetto	γ	Ψ	C
Peso Proprio	Sfavorevole	1.35	1.00	1.35
Spinta terreno sinistra	Sfavorevole	1.35	1.00	1.35
Spinta terreno destra	Sfavorevole	1.35	1.00	1.35
Qlaterale	Sfavorevole	1.45	1.00	1.45
TERMICO	Sfavorevole	1.20	0.60	0.72
RITIRO	Sfavorevole	1.20	1.00	1.20



NUOVO COLLEGAMENTO PALERMO – CATANIA
 TRATTA DITTAINO - CATENANUOVA
 PROGETTO DEFINITIVO
 TOMBINI IDRAULICI
 Tombini ferroviari e stradali

Tombino alla pk 19+150: Relazione di calcolo e caratterizzazione sismica

COMMESSA	LOTTO	CODIFICA	DOCUMENTO	REV.	FOGLIO
RS3E	50	D 78 CL	IN4200 001	A	44 di 96

BALLAST	Sfavorevole	1.50	1.00	1.50
---------	-------------	------	------	------

Combinazione n° 4 SLU (Approccio 2) - Sisma Vert. negativo

	Effetto	γ	Ψ	C
Peso Proprio	Sfavorevole	1.00	1.00	1.00
Spinta terreno sinistra	Sfavorevole	1.00	1.00	1.00
Spinta terreno destra	Sfavorevole	1.00	1.00	1.00
Qcentrale	Sfavorevole	1.00	0.20	0.20
TERMICO	Sfavorevole	1.00	0.50	0.50
RITIRO	Sfavorevole	1.00	1.00	1.00
Sisma da sinistra	Sfavorevole	1.00	1.00	1.00
BALLAST	Sfavorevole	1.00	1.00	1.00

Combinazione n° 5 SLU (Approccio 2)

	Effetto	γ	Ψ	C
Peso Proprio	Sfavorevole	1.35	1.00	1.35
Spinta terreno sinistra	Sfavorevole	1.35	1.00	1.35
Spinta terreno destra	Sfavorevole	1.35	1.00	1.35
Qlaterale	Sfavorevole	1.45	0.75	1.09
TERMICO	Sfavorevole	1.20	1.00	1.20
RITIRO	Sfavorevole	1.20	1.00	1.20
BALLAST	Sfavorevole	1.50	1.00	1.50

Combinazione n° 6 SLU (Approccio 2) - Sisma Vert. negativo

	Effetto	γ	Ψ	C
Peso Proprio	Sfavorevole	1.00	1.00	1.00
Spinta terreno sinistra	Sfavorevole	1.00	1.00	1.00
Spinta terreno destra	Sfavorevole	1.00	1.00	1.00
Qlaterale	Sfavorevole	1.00	0.20	0.20
TERMICO	Sfavorevole	1.00	0.50	0.50
RITIRO	Sfavorevole	1.00	1.00	1.00
Sisma da sinistra	Sfavorevole	1.00	1.00	1.00



NUOVO COLLEGAMENTO PALERMO – CATANIA
 TRATTA DITTAINO - CATENANUOVA
 PROGETTO DEFINITIVO
 TOMBINI IDRAULICI
 Tombini ferroviari e stradali

Tombino alla pk 19+150: Relazione di calcolo e caratterizzazione sismica

COMMESSA	LOTTO	CODIFICA	DOCUMENTO	REV.	FOGLIO
RS3E	50	D 78 CL	IN4200 001	A	45 di 96

BALLAST	Sfavorevole	1.00	1.00	1.00
---------	-------------	------	------	------

Combinazione n° 7 SLU (Approccio 2) - Sisma Vert. positivo

	Effetto	γ	Ψ	C
Peso Proprio	Sfavorevole	1.00	1.00	1.00
Spinta terreno sinistra	Sfavorevole	1.00	1.00	1.00
Spinta terreno destra	Sfavorevole	1.00	1.00	1.00
Qcentrale	Sfavorevole	1.00	0.20	0.20
TERMICO	Sfavorevole	1.00	0.50	0.50
RITIRO	Sfavorevole	1.00	1.00	1.00
Sisma da sinistra	Sfavorevole	1.00	1.00	1.00
BALLAST	Sfavorevole	1.00	1.00	1.00

Combinazione n° 8 SLU (Approccio 2) - Sisma Vert. positivo

	Effetto	γ	Ψ	C
Peso Proprio	Sfavorevole	1.00	1.00	1.00
Spinta terreno sinistra	Sfavorevole	1.00	1.00	1.00
Spinta terreno destra	Sfavorevole	1.00	1.00	1.00
Qlaterale	Sfavorevole	1.00	0.20	0.20
TERMICO	Sfavorevole	1.00	0.50	0.50
RITIRO	Sfavorevole	1.00	1.00	1.00
Sisma da sinistra	Sfavorevole	1.00	1.00	1.00
BALLAST	Sfavorevole	1.00	1.00	1.00

Combinazione n° 9 SLE (Quasi Permanente)

	Effetto	γ	Ψ	C
Peso Proprio	Sfavorevole	1.00	1.00	1.00
Spinta terreno sinistra	Sfavorevole	1.00	1.00	1.00
Spinta terreno destra	Sfavorevole	1.00	1.00	1.00
BALLAST	Sfavorevole	1.00	1.00	1.00
TERMICO	Sfavorevole	1.00	0.50	0.50
RITIRO	Sfavorevole	1.00	1.00	1.00

Tomboino alla pk 19+150: Relazione di calcolo e caratterizzazione sismica

COMMESSA	LOTTO	CODIFICA	DOCUMENTO	REV.	FOGLIO
RS3E	50	D 78 CL	IN4200 001	A	46 di 96

Combinazione n° 10 SLE (Frequente)

	Effetto	γ	Ψ	C
Peso Proprio	Sfavorevole	1.00	1.00	1.00
Spinta terreno sinistra	Sfavorevole	1.00	1.00	1.00
Spinta terreno destra	Sfavorevole	1.00	1.00	1.00
BALLAST	Sfavorevole	1.00	1.00	1.00
Qcentrale	Sfavorevole	1.00	0.80	0.80
TERMICO	Sfavorevole	1.00	0.50	0.50
RITIRO	Sfavorevole	1.00	1.00	1.00

Combinazione n° 11 SLE (Frequente)

	Effetto	γ	Ψ	C
Peso Proprio	Sfavorevole	1.00	1.00	1.00
Spinta terreno sinistra	Sfavorevole	1.00	1.00	1.00
Spinta terreno destra	Sfavorevole	1.00	1.00	1.00
BALLAST	Sfavorevole	1.00	1.00	1.00
Qlaterale	Sfavorevole	1.00	0.80	0.80
TERMICO	Sfavorevole	1.00	0.50	0.50
RITIRO	Sfavorevole	1.00	1.00	1.00

Combinazione n° 12 SLE (Frequente)

	Effetto	γ	Ψ	C
Peso Proprio	Sfavorevole	1.00	1.00	1.00
Spinta terreno sinistra	Sfavorevole	1.00	1.00	1.00
Spinta terreno destra	Sfavorevole	1.00	1.00	1.00
BALLAST	Sfavorevole	1.00	1.00	1.00
TERMICO	Sfavorevole	1.00	0.60	0.60
RITIRO	Sfavorevole	1.00	1.00	1.00

Combinazione n° 13 SLE (Rara)

Effetto	γ	Ψ	C
---------	----------	--------	---



NUOVO COLLEGAMENTO PALERMO – CATANIA
 TRATTA DITTAINO - CATENANUOVA
 PROGETTO DEFINITIVO
 TOMBINI IDRAULICI
 Tombini ferroviari e stradali

Tombino alla pk 19+150: Relazione di calcolo e caratterizzazione sismica

COMMESSA	LOTTO	CODIFICA	DOCUMENTO	REV.	FOGLIO
RS3E	50	D 78 CL	IN4200 001	A	47 di 96

Peso Proprio	Sfavorevole	1.00	1.00	1.00
Spinta terreno sinistra	Sfavorevole	1.00	1.00	1.00
Spinta terreno destra	Sfavorevole	1.00	1.00	1.00
BALLAST	Sfavorevole	1.00	1.00	1.00
Qcentrale	Sfavorevole	1.00	1.00	1.00
TERMICO	Sfavorevole	1.00	0.60	0.60
RITIRO	Sfavorevole	1.00	1.00	1.00

Combinazione n° 14 SLE (Rara)

	Effetto	γ	Ψ	C
Peso Proprio	Sfavorevole	1.00	1.00	1.00
Spinta terreno sinistra	Sfavorevole	1.00	1.00	1.00
Spinta terreno destra	Sfavorevole	1.00	1.00	1.00
BALLAST	Sfavorevole	1.00	1.00	1.00
Qlaterale	Sfavorevole	1.00	1.00	1.00
TERMICO	Sfavorevole	1.00	0.60	0.60
RITIRO	Sfavorevole	1.00	1.00	1.00

Combinazione n° 15 SLE (Rara)

	Effetto	γ	Ψ	C
Peso Proprio	Sfavorevole	1.00	1.00	1.00
Spinta terreno sinistra	Sfavorevole	1.00	1.00	1.00
Spinta terreno destra	Sfavorevole	1.00	1.00	1.00
BALLAST	Sfavorevole	1.00	1.00	1.00
TERMICO	Sfavorevole	1.00	1.00	1.00
Qcentrale	Sfavorevole	1.00	0.80	0.80
RITIRO	Sfavorevole	1.00	1.00	1.00

Combinazione n° 16 SLE (Rara)

	Effetto	γ	Ψ	C
Peso Proprio	Sfavorevole	1.00	1.00	1.00
Spinta terreno sinistra	Sfavorevole	1.00	1.00	1.00



NUOVO COLLEGAMENTO PALERMO – CATANIA
TRATTA DITTAINO - CATENANUOVA
PROGETTO DEFINITIVO
TOMBINI IDRAULICI
Tombini ferroviari e stradali

Tombino alla pk 19+150: Relazione di calcolo e caratterizzazione sismica

COMMESSA	LOTTO	CODIFICA	DOCUMENTO	REV.	FOGLIO
RS3E	50	D 78 CL	IN4200 001	A	48 di 96

Spinta terreno destra	Sfavorevole	1.00	1.00	1.00
BALLAST	Sfavorevole	1.00	1.00	1.00
TERMICO	Sfavorevole	1.00	1.00	1.00
Qlaterale	Sfavorevole	1.00	0.80	0.80
RITIRO	Sfavorevole	1.00	1.00	1.00

Analisi della spinta e verifiche

Simbologia adottata ed unità di misura

Origine in corrispondenza dello spigolo inferiore sinistro della struttura

Le forze orizzontali sono considerate positive se agenti verso destra

Le forze verticali sono considerate positive se agenti verso il basso

X	ascisse (espresse in m) positive verso destra
Y	ordinate (espresse in m) positive verso l'alto
M	momento espresso in kNm
V	taglio espresso in kN
SN	sforzo normale espresso in kN
ux	spostamento direzione X espresso in cm
uy	spostamento direzione Y espresso in cm
σ	pressione sul terreno espressa in kPa

Tipo di analisi

Pressione in calotta

Teoria di Terzaghi

I carichi applicati sul terreno sono stati diffusi secondo **valore 38.00**

Metodo di calcolo della portanza

Meyerhof

Spinta sui piedritti

a Riposo [combinazione 1]
a Riposo [combinazione 2]
a Riposo [combinazione 3]
a Riposo [combinazione 4]
a Riposo [combinazione 5]
a Riposo [combinazione 6]
a Riposo [combinazione 7]
a Riposo [combinazione 8]
a Riposo [combinazione 9]
a Riposo [combinazione 10]



NUOVO COLLEGAMENTO PALERMO – CATANIA
TRATTA DITTAINO - CATENANUOVA
PROGETTO DEFINITIVO
TOMBINI IDRAULICI
Tombini ferroviari e stradali

Tombino alla pk 19+150: Relazione di calcolo e caratterizzazione sismica

COMMESSA	LOTTO	CODIFICA	DOCUMENTO	REV.	FOGLIO
RS3E	50	D 78 CL	IN4200 001	A	49 di 96

a Riposo [combinazione 11]

a Riposo [combinazione 12]

a Riposo [combinazione 13]

a Riposo [combinazione 14]

a Riposo [combinazione 15]

a Riposo [combinazione 16]

Sisma

Identificazione del sito

Latitudine	37.571000
Longitudine	14.660000
Comune	Agira
Provincia	Enna
Regione	Sicilia
Punti di interpolazione del reticolo	47638 - 47637 - 47859 - 47860

Tipo di opera

Tipo di costruzione	Opera ordinaria
Vita nominale	75 anni
Classe d'uso	III - Affollamenti significativi e industrie non pericolose
Vita di riferimento	113 anni

Combinazioni SLU

Accelerazione al suolo $a_g =$	1.63 [m/s ²]
Coefficiente di amplificazione per tipo di sottosuolo (S)	1.45
Coefficiente di amplificazione topografica (St)	1.00
Coefficiente riduzione (β_m)	1.00
Rapporto intensità sismica verticale/orizzontale	0.50
Coefficiente di intensità sismica orizzontale (percento)	$k_h = (a_g/g * \beta_m * St * S_s) = 24.08$
Coefficiente di intensità sismica verticale (percento)	$k_v = 0.50 * k_h = 12.04$

Combinazioni SLE

Accelerazione al suolo $a_g =$	0.66 [m/s ²]
Coefficiente di amplificazione per tipo di sottosuolo (S)	1.50
Coefficiente di amplificazione topografica (St)	1.00



NUOVO COLLEGAMENTO PALERMO – CATANIA
 TRATTA DITTAINO - CATENANUOVA
 PROGETTO DEFINITIVO
 TOMBINI IDRAULICI
 Tombini ferroviari e stradali

Tombino alla pk 19+150: Relazione di calcolo e caratterizzazione sismica

COMMESSA	LOTTO	CODIFICA	DOCUMENTO	REV.	FOGLIO
RS3E	50	D 78 CL	IN4200 001	A	50 di 96

Coefficiente riduzione (β_m)	1.00
Rapporto intensità sismica verticale/orizzontale	0.50
Coefficiente di intensità sismica orizzontale (percento)	$k_h=(a_g/g*\beta_m*St*Ss) = 10.11$
Coefficiente di intensità sismica verticale (percento)	$k_v=0.50 * k_h = 5.06$
Forma diagramma incremento sismico	Rettangolare
Spinta sismica	Wood
Angolo diffusione sovraccarico	38.00 [°]

Coefficienti di spinta

N°combinazione	Statico	Sismico
1	0.384	0.000
2	0.384	0.000
3	0.384	0.000
4	0.384	0.719
5	0.384	0.000
6	0.384	0.719
7	0.384	0.719
8	0.384	0.719
9	0.384	0.000
10	0.384	0.000
11	0.384	0.000
12	0.384	0.000
13	0.384	0.000
14	0.384	0.000
15	0.384	0.000
16	0.384	0.000

Discretizzazione strutturale

Numero elementi fondazione	61
Numero elementi trasverso	34
Numero elementi piedritto sinistro	52
Numero elementi piedritto destro	52
Numero molle fondazione	62

Tombino alla pk 19+150: Relazione di calcolo e caratterizzazione sismica

COMMESSA	LOTTO	CODIFICA	DOCUMENTO	REV.	FOGLIO
RS3E	50	D 78 CL	IN4200 001	A	51 di 96

Numero molle piedritto sinistro 53
Numero molle piedritto destro 53

Sollecitazioni

Sollecitazioni fondazione (Combinazione n° 1)

X [m]	M [kNm]	V [kN]	N [kN]
0.40	-437.4344	-510.4717	234.9235
3.30	383.1779	-23.5897	234.9235
6.20	-338.7386	538.6215	234.9235

Sollecitazioni traverso (Combinazione n° 1)

X [m]	M [kNm]	V [kN]	N [kN]
0.40	-207.9464	383.7672	119.4240
3.30	316.1508	-16.7706	138.7670
6.20	-305.1505	-417.2455	158.1100

Sollecitazioni piedritto sinistro (Combinazione n° 1)

Y [m]	M [kNm]	V [kN]	N [kN]
0.45	-437.4344	254.3994	517.7477
2.98	-86.2471	34.2762	450.7575
5.51	-207.9464	-119.4240	383.7672

Sollecitazioni piedritto destro (Combinazione n° 1)

Y [m]	M [kNm]	V [kN]	N [kN]
0.45	-338.7386	-215.6546	551.2261
2.98	-85.5385	4.4392	484.2358
5.51	-305.1505	158.1100	417.2455

Sollecitazioni fondazione (Combinazione n° 2)

X [m]	M [kNm]	V [kN]	N [kN]
0.40	-429.1508	-496.4553	228.9893
3.30	353.2155	-15.4344	228.9893
6.20	-355.1285	517.0905	228.9893

Sollecitazioni traverso (Combinazione n° 2)

Tombino alla pk 19+150: Relazione di calcolo e caratterizzazione sismica

COMMESSA	LOTTO	CODIFICA	DOCUMENTO	REV.	FOGLIO
RS3E	50	D 78 CL	IN4200 001	A	52 di 96

X [m]	M [kNm]	V [kN]	N [kN]
0.40	-221.6591	369.8393	117.3382
3.30	290.3340	-12.5779	131.8455
6.20	-294.5617	-394.9478	146.3527

Sollecitazioni piedritto sinistro (Combinazione n° 2)

Y [m]	M [kNm]	V [kN]	N [kN]
0.45	-429.1508	243.6195	503.8199
2.98	-97.0992	29.9291	436.8296
5.51	-221.6591	-117.3382	369.8393

Sollecitazioni piedritto destro (Combinazione n° 2)

Y [m]	M [kNm]	V [kN]	N [kN]
0.45	-355.1285	-214.5609	528.9284
2.98	-96.5672	-0.8926	461.9381
5.51	-294.5617	146.3527	394.9478

Sollecitazioni fondazione (Combinazione n° 3)

X [m]	M [kNm]	V [kN]	N [kN]
0.40	-381.5115	-475.4283	217.7919
3.30	333.0114	-1.0001	217.7919
6.20	-330.6216	461.7082	217.7919

Sollecitazioni traverso (Combinazione n° 3)

X [m]	M [kNm]	V [kN]	N [kN]
0.40	-206.5718	349.1950	119.5854
3.30	271.5963	-9.6782	119.5854
6.20	-232.1505	-337.7334	119.5854

Sollecitazioni piedritto sinistro (Combinazione n° 3)

Y [m]	M [kNm]	V [kN]	N [kN]
0.45	-381.5115	233.0003	483.1756
2.98	-71.0312	23.4959	416.1853
5.51	-206.5718	-119.5854	349.1950

Sollecitazioni piedritto destro (Combinazione n° 3)

Tombino alla pk 19+150: Relazione di calcolo e caratterizzazione sismica

COMMESSA	LOTTO	CODIFICA	DOCUMENTO	REV.	FOGLIO
RS3E	50	D 78 CL	IN4200 001	A	53 di 96

Y [m]	M [kNm]	V [kN]	N [kN]
0.45	-330.6216	-202.7755	471.7140
2.98	-77.4928	-8.3835	404.7237
5.51	-232.1505	119.5854	337.7334

Sollecitazioni fondazione (Combinazione n° 4)

X [m]	M [kNm]	V [kN]	N [kN]
0.40	-603.5418	-257.8694	218.2359
3.30	167.1142	-203.9819	233.6428
6.20	41.5732	384.2071	249.0497

Sollecitazioni traverso (Combinazione n° 4)

X [m]	M [kNm]	V [kN]	N [kN]
0.40	24.1078	170.5721	146.1270
3.30	166.4361	-71.6491	162.4901
6.20	-391.4481	-313.8617	178.8531

Sollecitazioni piedritto sinistro (Combinazione n° 4)

Y [m]	M [kNm]	V [kN]	N [kN]
0.45	-603.5418	427.0015	257.8692
2.98	72.7868	115.8361	214.2207
5.51	24.1078	-146.1270	170.5721

Sollecitazioni piedritto destro (Combinazione n° 4)

Y [m]	M [kNm]	V [kN]	N [kN]
0.45	41.5732	-40.4901	401.1588
2.98	-36.2028	93.7826	357.5102
5.51	-391.4481	178.8531	313.8617

Sollecitazioni fondazione (Combinazione n° 5)

X [m]	M [kNm]	V [kN]	N [kN]
0.40	-387.2087	-470.1727	216.1406
3.30	315.5907	1.5078	216.1406
6.20	-349.0407	459.4056	216.1406

Sollecitazioni traverso (Combinazione n° 5)

Tombino alla pk 19+150: Relazione di calcolo e caratterizzazione sismica

COMMESSA	LOTTO	CODIFICA	DOCUMENTO	REV.	FOGLIO
RS3E	50	D 78 CL	IN4200 001	A	54 di 96

X [m]	M [kNm]	V [kN]	N [kN]
0.40	-220.6282	343.9102	117.4593
3.30	256.9182	-7.2585	117.4593
6.20	-239.8117	-335.3138	117.4593

Sollecitazioni piedritto sinistro (Combinazione n° 5)

Y [m]	M [kNm]	V [kN]	N [kN]
0.45	-387.2087	227.5702	477.8908
2.98	-85.6873	21.8439	410.9005
5.51	-220.6282	-117.4593	343.9102

Sollecitazioni piedritto destro (Combinazione n° 5)

Y [m]	M [kNm]	V [kN]	N [kN]
0.45	-349.0407	-204.9016	469.2944
2.98	-90.5329	-10.5096	402.3041
5.51	-239.8117	117.4593	335.3138

Sollecitazioni fondazione (Combinazione n° 6)

X [m]	M [kNm]	V [kN]	N [kN]
0.40	-593.3967	-253.7091	215.1441
3.30	162.6176	-198.3184	230.5510
6.20	39.3665	373.1512	245.9579

Sollecitazioni traverso (Combinazione n° 6)

X [m]	M [kNm]	V [kN]	N [kN]
0.40	23.0395	166.4118	145.0433
3.30	160.7967	-70.0626	158.7384
6.20	-379.1092	-302.2863	172.4334

Sollecitazioni piedritto sinistro (Combinazione n° 6)

Y [m]	M [kNm]	V [kN]	N [kN]
0.45	-593.3967	421.4857	253.7089
2.98	73.1510	113.6201	210.0603
5.51	23.0395	-145.0433	166.4118

Sollecitazioni piedritto destro (Combinazione n° 6)

Tombino alla pk 19+150: Relazione di calcolo e caratterizzazione sismica

COMMESSA	LOTTO	CODIFICA	DOCUMENTO	REV.	FOGLIO
RS3E	50	D 78 CL	IN4200 001	A	55 di 96

Y [m]	M [kNm]	V [kN]	N [kN]
0.45	39.3665	-39.8197	389.5834
2.98	-35.6213	90.9080	345.9348
5.51	-379.1092	172.4334	302.2863

Sollecitazioni fondazione (Combinazione n° 7)

X [m]	M [kNm]	V [kN]	N [kN]
0.40	-628.0208	-295.5579	222.2308
3.30	214.7048	-198.3110	237.6377
6.20	17.6620	421.2407	253.0447

Sollecitazioni traverso (Combinazione n° 7)

X [m]	M [kNm]	V [kN]	N [kN]
0.40	19.8519	184.3651	142.1303
3.30	182.3220	-71.5512	158.4934
6.20	-395.1361	-327.4588	174.8564

Sollecitazioni piedritto sinistro (Combinazione n° 7)

Y [m]	M [kNm]	V [kN]	N [kN]
0.45	-628.0208	430.9982	295.5577
2.98	58.4194	119.8328	239.9614
5.51	19.8519	-142.1303	184.3651

Sollecitazioni piedritto destro (Combinazione n° 7)

Y [m]	M [kNm]	V [kN]	N [kN]
0.45	17.6620	-44.4868	438.6514
2.98	-50.0025	89.7859	383.0551
5.51	-395.1361	174.8564	327.4588

Sollecitazioni fondazione (Combinazione n° 8)

X [m]	M [kNm]	V [kN]	N [kN]
0.40	-617.5279	-291.3969	219.0582
3.30	209.3075	-192.8981	234.4652
6.20	15.7999	410.1487	249.8721

Sollecitazioni traverso (Combinazione n° 8)

Tombino alla pk 19+150: Relazione di calcolo e caratterizzazione sismica

COMMESSA	LOTTO	CODIFICA	DOCUMENTO	REV.	FOGLIO
RS3E	50	D 78 CL	IN4200 001	A	56 di 96

X [m]	M [kNm]	V [kN]	N [kN]
0.40	18.7227	180.2042	141.1274
3.30	176.6199	-69.9653	154.8225
6.20	-382.8615	-315.8840	168.5175

Sollecitazioni piedritto sinistro (Combinazione n° 8)

Y [m]	M [kNm]	V [kN]	N [kN]
0.45	-617.5279	425.4015	291.3968
2.98	58.9270	117.5359	235.8005
5.51	18.7227	-141.1274	180.2042

Sollecitazioni piedritto destro (Combinazione n° 8)

Y [m]	M [kNm]	V [kN]	N [kN]
0.45	15.7999	-43.7355	427.0766
2.98	-49.2807	86.9921	371.4803
5.51	-382.8615	168.5175	315.8840

Sollecitazioni fondazione (Combinazione n° 9)

X [m]	M [kNm]	V [kN]	N [kN]
0.40	-256.1417	-332.6991	155.4842
3.30	232.1886	6.6134	155.4842
6.20	-256.1400	331.2942	155.4842

Sollecitazioni traverso (Combinazione n° 9)

X [m]	M [kNm]	V [kN]	N [kN]
0.40	-149.4635	239.0715	80.5958
3.30	197.1905	0.0003	80.5958
6.20	-149.4619	-239.0709	80.5958

Sollecitazioni piedritto sinistro (Combinazione n° 9)

Y [m]	M [kNm]	V [kN]	N [kN]
0.45	-256.1417	155.5528	338.3163
2.98	-53.4386	12.8774	288.6939
5.51	-149.4635	-80.5958	239.0715

Sollecitazioni piedritto destro (Combinazione n° 9)



NUOVO COLLEGAMENTO PALERMO – CATANIA
TRATTA DITTAINO - CATENANUOVA
PROGETTO DEFINITIVO
TOMBINI IDRAULICI
Tombini ferroviari e stradali

Tombino alla pk 19+150: Relazione di calcolo e caratterizzazione sismica

COMMESSA	LOTTO	CODIFICA	DOCUMENTO	REV.	FOGLIO
RS3E	50	D 78 CL	IN4200 001	A	57 di 96

Y [m]	M [kNm]	V [kN]	N [kN]
0.45	-256.1400	-155.5528	338.3158
2.98	-53.4370	-12.8774	288.6933
5.51	-149.4619	80.5958	239.0709

Sollecitazioni fondazione (Combinazione n° 10)

X [m]	M [kNm]	V [kN]	N [kN]
0.40	-306.7676	-363.6481	169.2485
3.30	266.3945	-11.3749	169.2485
6.20	-252.3144	378.8311	169.2485

Sollecitazioni traverso (Combinazione n° 10)

X [m]	M [kNm]	V [kN]	N [kN]
0.40	-148.1635	269.8088	84.5303
3.30	225.2028	-9.2527	95.2023
6.20	-201.7929	-288.2795	105.8743

Sollecitazioni piedritto sinistro (Combinazione n° 10)

Y [m]	M [kNm]	V [kN]	N [kN]
0.45	-306.7676	180.0113	369.0537
2.98	-60.1430	23.1394	319.4313
5.51	-148.1635	-84.5303	269.8088

Sollecitazioni piedritto destro (Combinazione n° 10)

Y [m]	M [kNm]	V [kN]	N [kN]
0.45	-252.3144	-158.6349	387.5244
2.98	-59.7516	-1.7792	337.9019
5.51	-201.7929	105.8743	288.2795

Sollecitazioni fondazione (Combinazione n° 11)

X [m]	M [kNm]	V [kN]	N [kN]
0.40	-275.9136	-344.3138	159.7966
3.30	238.7165	1.0884	159.7966
6.20	-247.8360	336.3962	159.7966

Sollecitazioni traverso (Combinazione n° 11)

Tombino alla pk 19+150: Relazione di calcolo e caratterizzazione sismica

COMMESSA	LOTTO	CODIFICA	DOCUMENTO	REV.	FOGLIO
RS3E	50	D 78 CL	IN4200 001	A	58 di 96

X [m]	M [kNm]	V [kN]	N [kN]
0.40	-147.4051	250.7346	84.6194
3.30	200.6210	-5.3396	84.6194
6.20	-161.5171	-244.4108	84.6194

Sollecitazioni piedritto sinistro (Combinazione n° 11)

Y [m]	M [kNm]	V [kN]	N [kN]
0.45	-275.9136	168.2049	349.9794
2.98	-51.7480	17.1916	300.3570
5.51	-147.4051	-84.6194	250.7346

Sollecitazioni piedritto destro (Combinazione n° 11)

Y [m]	M [kNm]	V [kN]	N [kN]
0.45	-247.8360	-151.5292	343.6557
2.98	-55.3126	-8.8538	294.0332
5.51	-161.5171	84.6194	244.4108

Sollecitazioni fondazione (Combinazione n° 12)

X [m]	M [kNm]	V [kN]	N [kN]
0.40	-259.1951	-332.7006	155.5473
3.30	229.1755	6.6144	155.5473
6.20	-259.1934	331.2961	155.5473

Sollecitazioni traverso (Combinazione n° 12)

X [m]	M [kNm]	V [kN]	N [kN]
0.40	-152.1976	239.0715	80.5327
3.30	194.4564	0.0003	80.5327
6.20	-152.1960	-239.0709	80.5327

Sollecitazioni piedritto sinistro (Combinazione n° 12)

Y [m]	M [kNm]	V [kN]	N [kN]
0.45	-259.1951	155.6159	338.3163
2.98	-56.3324	12.9405	288.6939
5.51	-152.1976	-80.5327	239.0715

Sollecitazioni piedritto destro (Combinazione n° 12)

Tombino alla pk 19+150: Relazione di calcolo e caratterizzazione sismica

COMMESSA	LOTTO	CODIFICA	DOCUMENTO	REV.	FOGLIO
RS3E	50	D 78 CL	IN4200 001	A	59 di 96

Y [m]	M [kNm]	V [kN]	N [kN]
0.45	-259.1934	-155.6159	338.3158
2.98	-56.3307	-12.9405	288.6933
5.51	-152.1960	80.5327	239.0709

Sollecitazioni fondazione (Combinazione n° 13)

X [m]	M [kNm]	V [kN]	N [kN]
0.40	-322.4775	-371.3869	172.7527
3.30	271.9329	-15.8710	172.7527
6.20	-254.4113	390.7172	172.7527

Sollecitazioni traverso (Combinazione n° 13)

X [m]	M [kNm]	V [kN]	N [kN]
0.40	-150.5726	277.4932	85.4508
3.30	229.4717	-11.5659	98.7908
6.20	-217.6098	-300.5817	112.1308

Sollecitazioni piedritto sinistro (Combinazione n° 13)

Y [m]	M [kNm]	V [kN]	N [kN]
0.45	-322.4775	186.1891	376.7381
2.98	-64.7128	25.7680	327.1156
5.51	-150.5726	-85.4508	277.4932

Sollecitazioni piedritto destro (Combinazione n° 13)

Y [m]	M [kNm]	V [kN]	N [kN]
0.45	-254.4113	-159.4686	399.8265
2.98	-64.2240	0.9323	350.2041
5.51	-217.6098	112.1308	300.5817

Sollecitazioni fondazione (Combinazione n° 14)

X [m]	M [kNm]	V [kN]	N [kN]
0.40	-283.9099	-347.2191	160.9378
3.30	237.3353	-0.2919	160.9378
6.20	-248.8134	337.6736	160.9378

Sollecitazioni traverso (Combinazione n° 14)

Tombino alla pk 19+150: Relazione di calcolo e caratterizzazione sismica

COMMESSA	LOTTO	CODIFICA	DOCUMENTO	REV.	FOGLIO
RS3E	50	D 78 CL	IN4200 001	A	60 di 96

X [m]	M [kNm]	V [kN]	N [kN]
0.40	-149.6246	253.6503	85.5622
3.30	198.7445	-6.6746	85.5622
6.20	-167.2650	-245.7458	85.5622

Sollecitazioni piedritto sinistro (Combinazione n° 14)

Y [m]	M [kNm]	V [kN]	N [kN]
0.45	-283.9099	171.4310	352.8952
2.98	-54.2191	18.3333	303.2728
5.51	-149.6246	-85.5622	253.6503

Sollecitazioni piedritto destro (Combinazione n° 14)

Y [m]	M [kNm]	V [kN]	N [kN]
0.45	-248.8134	-150.5864	344.9906
2.98	-58.6752	-7.9110	295.3682
5.51	-167.2650	85.5622	245.7458

Sollecitazioni fondazione (Combinazione n° 15)

X [m]	M [kNm]	V [kN]	N [kN]
0.40	-322.0346	-363.6558	169.5639
3.30	251.3291	-11.3703	169.5639
6.20	-267.5814	378.8406	169.5639

Sollecitazioni traverso (Combinazione n° 15)

X [m]	M [kNm]	V [kN]	N [kN]
0.40	-161.8340	269.8088	84.2148
3.30	211.5322	-9.2527	94.8868
6.20	-215.4635	-288.2795	105.5588

Sollecitazioni piedritto sinistro (Combinazione n° 15)

Y [m]	M [kNm]	V [kN]	N [kN]
0.45	-322.0346	180.3269	369.0537
2.98	-74.6117	23.4549	319.4313
5.51	-161.8340	-84.2148	269.8088

Sollecitazioni piedritto destro (Combinazione n° 15)

Tombino alla pk 19+150: Relazione di calcolo e caratterizzazione sismica

COMMESSA	LOTTO	CODIFICA	DOCUMENTO	REV.	FOGLIO
RS3E	50	D 78 CL	IN4200 001	A	61 di 96

Y [m]	M [kNm]	V [kN]	N [kN]
0.45	-267.5814	-158.9504	387.5244
2.98	-74.2203	-2.0947	337.9019
5.51	-215.4635	105.5588	288.2795

Sollecitazioni fondazione (Combinazione n° 16)

X [m]	M [kNm]	V [kN]	N [kN]
0.40	-291.1806	-344.3215	160.1120
3.30	223.6510	1.0930	160.1120
6.20	-263.1030	336.4058	160.1120

Sollecitazioni traverso (Combinazione n° 16)

X [m]	M [kNm]	V [kN]	N [kN]
0.40	-161.0756	250.7346	84.3039
3.30	186.9505	-5.3396	84.3039
6.20	-175.1876	-244.4108	84.3039

Sollecitazioni piedritto sinistro (Combinazione n° 16)

Y [m]	M [kNm]	V [kN]	N [kN]
0.45	-291.1806	168.5204	349.9794
2.98	-66.2167	17.5072	300.3570
5.51	-161.0756	-84.3039	250.7346

Sollecitazioni piedritto destro (Combinazione n° 16)

Y [m]	M [kNm]	V [kN]	N [kN]
0.45	-263.1030	-151.8447	343.6557
2.98	-69.7813	-9.1693	294.0332
5.51	-175.1876	84.3039	244.4108

Tombino alla pk 19+150: Relazione di calcolo e caratterizzazione sismica

COMMESSA	LOTTO	CODIFICA	DOCUMENTO	REV.	FOGLIO
RS3E	50	D 78 CL	IN4200 001	A	62 di 96

Pressioni terreno

Pressioni sul terreno di fondazione (Combinazione n° 1)

X [m]	σ_t [kPa]
0.40	182
3.30	212
6.20	252

Pressioni sul terreno di fondazione (Combinazione n° 2)

X [m]	σ_t [kPa]
0.40	184
3.30	206
6.20	237

Pressioni sul terreno di fondazione (Combinazione n° 3)

X [m]	σ_t [kPa]
0.40	194
3.30	193
6.20	200

Pressioni sul terreno di fondazione (Combinazione n° 4)

X [m]	σ_t [kPa]
0.40	0
3.30	123
6.20	339

Pressioni sul terreno di fondazione (Combinazione n° 5)

X [m]	σ_t [kPa]
0.40	193
3.30	192
6.20	198

Pressioni sul terreno di fondazione (Combinazione n° 6)

X [m]	σ_t [kPa]
0.40	0
3.30	121
6.20	329

Pressioni sul terreno di fondazione (Combinazione n° 7)

Tombino alla pk 19+150: Relazione di calcolo e caratterizzazione sismica

COMMESSA	LOTTO	CODIFICA	DOCUMENTO	REV.	FOGLIO
RS3E	50	D 78 CL	IN4200 001	A	63 di 96

X [m]	σ_t [kPa]
0.40	0
3.30	147
6.20	348

Pressioni sul terreno di fondazione (Combinazione n° 8)

X [m]	σ_t [kPa]
0.40	0
3.30	145
6.20	339

Pressioni sul terreno di fondazione (Combinazione n° 9)

X [m]	σ_t [kPa]
0.40	140
3.30	138
6.20	140

Pressioni sul terreno di fondazione (Combinazione n° 10)

X [m]	σ_t [kPa]
0.40	135
3.30	151
6.20	174

Pressioni sul terreno di fondazione (Combinazione n° 11)

X [m]	σ_t [kPa]
0.40	142
3.30	140
6.20	145

Pressioni sul terreno di fondazione (Combinazione n° 12)

X [m]	σ_t [kPa]
0.40	140
3.30	138
6.20	140

Pressioni sul terreno di fondazione (Combinazione n° 13)

X [m]	σ_t [kPa]
0.40	134

Tombino alla pk 19+150: Relazione di calcolo e caratterizzazione sismica

COMMESSA	LOTTO	CODIFICA	DOCUMENTO	REV.	FOGLIO
RS3E	50	D 78 CL	IN4200 001	A	64 di 96

3.30 155

6.20 182

Pressioni sul terreno di fondazione (Combinazione n° 14)

X [m]	σ_t [kPa]
0.40	142
3.30	141
6.20	146

Pressioni sul terreno di fondazione (Combinazione n° 15)

X [m]	σ_t [kPa]
0.40	135
3.30	151
6.20	174

Pressioni sul terreno di fondazione (Combinazione n° 16)

X [m]	σ_t [kPa]
0.40	141
3.30	141
6.20	145

Verifiche combinazioni SLU

Simbologia adottata ed unità di misura

N°	Indice sezione
X	Ascissa/Ordinata sezione, espresso in cm
M	Momento flettente, espresso in kNm
V	Taglio, espresso in kN
N	Sforzo normale, espresso in kN
N_u	Sforzo normale ultimo, espressa in kN
M_u	Momento ultimo, espressa in kNm
A_{fi}	Area armatura inferiore, espressa in cm ²
A_{fs}	Area armatura superiore, espressa in cm ²
CS	Coeff. di sicurezza sezione
V_{rd}	Aliquota taglio assorbita dal calcestruzzo in elementi senza armature trasversali, espressa in kN
$V_{rd,c}$	Aliquota taglio assorbita dal calcestruzzo in elementi con armature trasversali, espressa in kN
$V_{Rd,s}$	Aliquota taglio assorbita armature trasversali, espressa in kN
A_{sv}	Area armature trasversali nella sezione, espressa in cm ²

Verifica sezioni fondazione [Combinazione n° 1 - SLU (Approccio 2)]

Base sezione $B = 100$ cm

Altezza sezione $H = 90.00$ cm

Verifiche presso-flessione

N°	X	M	N	N_u	M_u	A_{fi}	A_{fs}	CS
1	0.40	437.43 (437.43)	234.92	789.12	1469.36	38.01	38.01	3.36
2	3.30	-383.18 (-386.29)	234.92	923.88	-1519.17	38.01	38.01	3.93
3	6.20	338.74 (437.43)	234.92	789.12	1469.36	38.01	38.01	3.36

Verifica sezioni traverso [Combinazione n° 1 - SLU (Approccio 2)]

Base sezione $B = 100$ cm

Altezza sezione $H = 80.00$ cm

Verifiche presso-flessione

N°	X	M	N	N_u	M_u	A_{fi}	A_{fs}	CS
1	0.40	-207.95 (-305.15)	119.42	461.82	-1180.03	38.01	38.01	3.87
2	3.30	316.15 (317.14)	138.77	525.33	1200.58	38.01	38.01	3.79



NUOVO COLLEGAMENTO PALERMO – CATANIA
 TRATTA DITTAINO - CATENANUOVA
 PROGETTO DEFINITIVO
 TOMBINI IDRAULICI
 Tombini ferroviari e stradali

Tombino alla pk 19+150: Relazione di calcolo e caratterizzazione sismica

COMMESSA	LOTTO	CODIFICA	DOCUMENTO	REV.	FOGLIO
RS3E	50	D 78 CL	IN4200 001	A	66 di 96

3	6.20	-305.15 (-305.15)	158.11	641.55	-1238.19	38.01	38.01	4.06
---	------	-------------------	--------	--------	----------	-------	-------	------

Verifica sezioni piedritto sinistro [Combinazione n° 1 - SLU (Approccio 2)]

Base sezione B = 100 cm

Altezza sezione H = 80.00 cm

Verifiche presso-flessione

N°	X	M	N	N _u	M _u	A _{fi}	A _{fs}	CS
1	0.45	-437.43 (-437.43)	517.75	1939.90	-1638.98	38.01	38.01	3.75
2	2.98	-86.25 (-109.08)	450.76	7435.84	-1799.34	38.01	38.01	16.50
3	5.51	-207.95 (-287.48)	383.77	2325.01	-1741.68	38.01	38.01	6.06

Verifica sezioni piedritto destro [Combinazione n° 1 - SLU (Approccio 2)]

Base sezione B = 100 cm

Altezza sezione H = 80.00 cm

Verifiche presso-flessione

N°	X	M	N	N _u	M _u	A _{fi}	A _{fs}	CS
1	0.45	-338.74 (-338.74)	551.23	3085.50	-1896.10	38.01	38.01	5.60
2	2.98	-85.54 (-88.49)	484.24	8627.03	-1576.60	38.01	38.01	17.82
3	5.51	-305.15 (-338.74)	417.25	2057.45	-1670.33	38.01	38.01	4.93

Verifica sezioni fondazione [Combinazione n° 2 - SLU (Approccio 2)]

Base sezione B = 100 cm

Altezza sezione H = 90.00 cm

Verifiche presso-flessione

N°	X	M	N	N _u	M _u	A _{fi}	A _{fs}	CS
1	0.40	429.15 (429.15)	228.99	782.78	1467.02	38.01	38.01	3.42
2	3.30	-353.22 (-354.84)	228.99	998.07	-1546.59	38.01	38.01	4.36
3	6.20	355.13 (429.15)	228.99	782.78	1467.02	38.01	38.01	3.42

Verifica sezioni traverso [Combinazione n° 2 - SLU (Approccio 2)]

Base sezione B = 100 cm

Altezza sezione H = 80.00 cm

Verifiche presso-flessione

Tombino alla pk 19+150: Relazione di calcolo e caratterizzazione sismica

COMMESSA	LOTTO	CODIFICA	DOCUMENTO	REV.	FOGLIO
RS3E	50	D 78 CL	IN4200 001	A	67 di 96

N°	X	M	N	N _u	M _u	A _{fi}	A _{fs}	CS
1	0.40	-221.66 (-294.56)	117.34	471.28	-1183.10	38.01	38.01	4.02
2	3.30	290.33 (290.70)	131.85	547.83	1207.86	38.01	38.01	4.16
3	6.20	-294.56 (-294.56)	146.35	610.14	-1228.02	38.01	38.01	4.17

Verifica sezioni piedritto sinistro [Combinazione n° 2 - SLU (Approccio 2)]

Base sezione B = 100 cm

Altezza sezione H = 80.00 cm

Verifiche presso-flessione

N°	X	M	N	N _u	M _u	A _{fi}	A _{fs}	CS
1	0.45	-429.15 (-429.15)	503.82	1916.98	-1632.87	38.01	38.01	3.80
2	2.98	-97.10 (-117.03)	436.83	6995.26	-1874.12	38.01	38.01	16.01
3	5.51	-221.66 (-299.81)	369.84	2062.01	-1671.55	38.01	38.01	5.58

Verifica sezioni piedritto destro [Combinazione n° 2 - SLU (Approccio 2)]

Base sezione B = 100 cm

Altezza sezione H = 80.00 cm

Verifiche presso-flessione

N°	X	M	N	N _u	M _u	A _{fi}	A _{fs}	CS
1	0.45	-355.13 (-355.13)	528.93	2716.27	-1823.74	38.01	38.01	5.14
2	2.98	-96.57 (-97.16)	461.94	8041.85	-1691.48	38.01	38.01	17.41
3	5.51	-294.56 (-355.13)	394.95	1773.37	-1594.57	38.01	38.01	4.49

Verifica sezioni fondazione [Combinazione n° 3 - SLU (Approccio 2)]

Base sezione B = 100 cm

Altezza sezione H = 90.00 cm

Verifiche presso-flessione

N°	X	M	N	N _u	M _u	A _{fi}	A _{fs}	CS
1	0.40	381.51 (381.51)	217.79	852.10	1492.64	38.01	38.01	3.91
2	3.30	-333.01 (-333.25)	217.79	1014.81	-1552.78	38.01	38.01	4.66
3	6.20	330.62 (381.51)	217.79	852.10	1492.64	38.01	38.01	3.91

Verifica sezioni traverso [Combinazione n° 3 - SLU (Approccio 2)]



NUOVO COLLEGAMENTO PALERMO – CATANIA
 TRATTA DITTAINO - CATENANUOVA
 PROGETTO DEFINITIVO
 TOMBINI IDRAULICI
 Tombini ferroviari e stradali

Tombino alla pk 19+150: Relazione di calcolo e caratterizzazione sismica

COMMESSA	LOTTO	CODIFICA	DOCUMENTO	REV.	FOGLIO
RS3E	50	D 78 CL	IN4200 001	A	68 di 96

Base sezione B = 100 cm

Altezza sezione H = 80.00 cm

Verifiche presso-flessione

N°	X	M	N	N _u	M _u	A _{fi}	A _{fs}	CS
1	0.40	-206.57 (-232.15)	119.59	637.07	-1236.74	38.01	38.01	5.33
2	3.30	271.60 (271.67)	119.59	529.01	1201.77	38.01	38.01	4.42
3	6.20	-232.15 (-232.15)	119.59	637.07	-1236.74	38.01	38.01	5.33

Verifica sezioni piedritto sinistro [Combinazione n° 3 - SLU (Approccio 2)]

Base sezione B = 100 cm

Altezza sezione H = 80.00 cm

Verifiche presso-flessione

N°	X	M	N	N _u	M _u	A _{fi}	A _{fs}	CS
1	0.45	-381.51 (-381.51)	483.18	2145.01	-1693.68	38.01	38.01	4.44
2	2.98	-71.03 (-86.68)	416.19	8082.86	-1683.43	38.01	38.01	19.42
3	5.51	-206.57 (-286.22)	349.20	2028.43	-1662.59	38.01	38.01	5.81

Verifica sezioni piedritto destro [Combinazione n° 3 - SLU (Approccio 2)]

Base sezione B = 100 cm

Altezza sezione H = 80.00 cm

Verifiche presso-flessione

N°	X	M	N	N _u	M _u	A _{fi}	A _{fs}	CS
1	0.45	-330.62 (-330.62)	471.71	2557.67	-1792.65	38.01	38.01	5.42
2	2.98	-77.49 (-83.08)	404.72	8143.35	-1671.56	38.01	38.01	20.12
3	5.51	-232.15 (-311.79)	337.73	1708.49	-1577.27	38.01	38.01	5.06

Verifica sezioni fondazione [Combinazione n° 4 - SLU (Approccio 2) - Sisma Vert. negativo]

Base sezione B = 100 cm

Altezza sezione H = 90.00 cm

Verifiche presso-flessione

N°	X	M	N	N _u	M _u	A _{fi}	A _{fs}	CS
1	0.40	603.54 (603.54)	218.24	491.54	1359.39	38.01	38.01	2.25
2	3.30	-167.11 (-321.32)	233.64	1171.05	-1610.52	38.01	38.01	5.01



NUOVO COLLEGAMENTO PALERMO – CATANIA
 TRATTA DITTAINO - CATENANUOVA
 PROGETTO DEFINITIVO
 TOMBINI IDRAULICI
 Tombini ferroviari e stradali

Tombino alla pk 19+150: Relazione di calcolo e caratterizzazione sismica

COMMESSA	LOTTO	CODIFICA	DOCUMENTO	REV.	FOGLIO
RS3E	50	D 78 CL	IN4200 001	A	69 di 96

3	6.20	-41.57 (-326.26)	249.05	1252.29	-1640.54	38.01	38.01	5.03
---	------	------------------	--------	---------	----------	-------	-------	------

Verifica sezioni traverso [Combinazione n° 4 - SLU (Approccio 2) - Sisma Vert. negativo]

Base sezione B = 100 cm

Altezza sezione H = 80.00 cm

Verifiche presso-flessione

N°	X	M	N	N _u	M _u	A _{fi}	A _{fs}	CS
1	0.40	24.11 (137.71)	146.13	1659.96	1564.33	38.01	38.01	11.36
2	3.30	166.44 (197.41)	162.49	1156.23	1404.72	38.01	38.01	7.12
3	6.20	-391.45 (-391.45)	178.85	552.58	-1209.40	38.01	38.01	3.09

Verifica sezioni piedritto sinistro [Combinazione n° 4 - SLU (Approccio 2) - Sisma Vert. negativo]

Base sezione B = 100 cm

Altezza sezione H = 80.00 cm

Verifiche presso-flessione

N°	X	M	N	N _u	M _u	A _{fi}	A _{fs}	CS
1	0.45	-603.54 (-603.54)	257.87	510.98	-1195.94	38.01	38.01	1.98
2	2.98	72.79 (133.47)	214.22	3023.96	1884.04	38.01	38.01	14.12
3	5.51	24.11 (121.43)	170.57	2503.16	1781.97	38.01	38.01	14.68

Verifica sezioni piedritto destro [Combinazione n° 4 - SLU (Approccio 2) - Sisma Vert. negativo]

Base sezione B = 100 cm

Altezza sezione H = 80.00 cm

Verifiche presso-flessione

N°	X	M	N	N _u	M _u	A _{fi}	A _{fs}	CS
1	0.45	41.57 (54.99)	401.16	9730.93	1334.00	38.01	38.01	24.26
2	2.98	-36.20 (-98.66)	357.51	6866.54	-1894.96	38.01	38.01	19.21
3	5.51	-391.45 (-391.45)	313.86	1115.81	-1391.64	38.01	38.01	3.56

Verifica sezioni fondazione [Combinazione n° 5 - SLU (Approccio 2)]

Base sezione B = 100 cm

Altezza sezione H = 90.00 cm

Verifiche presso-flessione



NUOVO COLLEGAMENTO PALERMO – CATANIA
 TRATTA DITTAINO - CATENANUOVA
 PROGETTO DEFINITIVO
 TOMBINI IDRAULICI
 Tombini ferroviari e stradali

Tombino alla pk 19+150: Relazione di calcolo e caratterizzazione sismica

COMMESSA	LOTTO	CODIFICA	DOCUMENTO	REV.	FOGLIO
RS3E	50	D 78 CL	IN4200 001	A	70 di 96

N°	X	M	N	N _u	M _u	A _{fi}	A _{fs}	CS
1	0.40	387.21 (387.21)	216.14	828.28	1483.84	38.01	38.01	3.83
2	3.30	-315.59 (-315.59)	216.14	1079.95	-1576.85	38.01	38.01	5.00
3	6.20	349.04 (387.21)	216.14	828.28	1483.84	38.01	38.01	3.83

Verifica sezioni traverso [Combinazione n° 5 - SLU (Approccio 2)]

Base sezione B = 100 cm

Altezza sezione H = 80.00 cm

Verifiche presso-flessione

N°	X	M	N	N _u	M _u	A _{fi}	A _{fs}	CS
1	0.40	-220.63 (-239.81)	117.46	599.85	-1224.69	38.01	38.01	5.11
2	3.30	256.92 (256.92)	117.46	552.98	1209.53	38.01	38.01	4.71
3	6.20	-239.81 (-239.81)	117.46	599.85	-1224.69	38.01	38.01	5.11

Verifica sezioni piedritto sinistro [Combinazione n° 5 - SLU (Approccio 2)]

Base sezione B = 100 cm

Altezza sezione H = 80.00 cm

Verifiche presso-flessione

N°	X	M	N	N _u	M _u	A _{fi}	A _{fs}	CS
1	0.45	-387.21 (-387.21)	477.89	2063.50	-1671.94	38.01	38.01	4.32
2	2.98	-85.69 (-100.24)	410.90	7401.21	-1805.46	38.01	38.01	18.01
3	5.51	-220.63 (-298.86)	343.91	1862.23	-1618.27	38.01	38.01	5.41

Verifica sezioni piedritto destro [Combinazione n° 5 - SLU (Approccio 2)]

Base sezione B = 100 cm

Altezza sezione H = 80.00 cm

Verifiche presso-flessione

N°	X	M	N	N _u	M _u	A _{fi}	A _{fs}	CS
1	0.45	-349.04 (-349.04)	469.29	2351.08	-1748.63	38.01	38.01	5.01
2	2.98	-90.53 (-97.53)	402.30	7427.81	-1800.76	38.01	38.01	18.46
3	5.51	-239.81 (-318.04)	335.31	1645.13	-1560.38	38.01	38.01	4.91



NUOVO COLLEGAMENTO PALERMO – CATANIA
 TRATTA DITTAINO - CATENANUOVA
 PROGETTO DEFINITIVO
 TOMBINI IDRAULICI
 Tombini ferroviari e stradali

Tombino alla pk 19+150: Relazione di calcolo e caratterizzazione sismica

COMMESSA	LOTTO	CODIFICA	DOCUMENTO	REV.	FOGLIO
RS3E	50	D 78 CL	IN4200 001	A	71 di 96

Verifica sezioni fondazione [Combinazione n° 6 - SLU (Approccio 2) - Sisma Vert. negativo]

Base sezione B = 100 cm

Altezza sezione H = 90.00 cm

Verifiche presso-flessione

N°	X	M	N	N _u	M _u	A _{fi}	A _{fs}	CS
1	0.40	593.40 (593.40)	215.14	493.07	1359.95	38.01	38.01	2.29
2	3.30	-162.62 (-312.55)	230.55	1194.36	-1619.13	38.01	38.01	5.18
3	6.20	-39.37 (-316.70)	245.96	1282.85	-1651.84	38.01	38.01	5.22

Verifica sezioni traverso [Combinazione n° 6 - SLU (Approccio 2) - Sisma Vert. negativo]

Base sezione B = 100 cm

Altezza sezione H = 80.00 cm

Verifiche presso-flessione

N°	X	M	N	N _u	M _u	A _{fi}	A _{fs}	CS
1	0.40	23.04 (133.87)	145.04	1709.10	1577.43	38.01	38.01	11.78
2	3.30	160.80 (191.38)	158.74	1168.43	1408.66	38.01	38.01	7.36
3	6.20	-379.11 (-379.11)	172.43	549.65	-1208.45	38.01	38.01	3.19

Verifica sezioni piedritto sinistro [Combinazione n° 6 - SLU (Approccio 2) - Sisma Vert. negativo]

Base sezione B = 100 cm

Altezza sezione H = 80.00 cm

Verifiche presso-flessione

N°	X	M	N	N _u	M _u	A _{fi}	A _{fs}	CS
1	0.45	-593.40 (-593.40)	253.71	511.38	-1196.07	38.01	38.01	2.02
2	2.98	73.15 (132.21)	210.06	2979.74	1875.37	38.01	38.01	14.19
3	5.51	23.04 (119.64)	166.41	2469.46	1775.37	38.01	38.01	14.84

Verifica sezioni piedritto destro [Combinazione n° 6 - SLU (Approccio 2) - Sisma Vert. negativo]

Base sezione B = 100 cm

Altezza sezione H = 80.00 cm

Verifiche presso-flessione

N°	X	M	N	N _u	M _u	A _{fi}	A _{fs}	CS
1	0.45	39.37 (52.66)	389.58	9779.84	1321.83	38.01	38.01	25.10



NUOVO COLLEGAMENTO PALERMO – CATANIA
 TRATTA DITTAINO - CATENANUOVA
 PROGETTO DEFINITIVO
 TOMBINI IDRAULICI
 Tombini ferroviari e stradali

Tombino alla pk 19+150: Relazione di calcolo e caratterizzazione sismica

COMMESSA	LOTTO	CODIFICA	DOCUMENTO	REV.	FOGLIO
RS3E	50	D 78 CL	IN4200 001	A	72 di 96

2	2.98	-35.62 (-96.17)	345.93	6835.02	-1900.06	38.01	38.01	19.76
3	5.51	-379.11 (-379.11)	302.29	1107.49	-1388.94	38.01	38.01	3.66

Verifica sezioni fondazione [Combinazione n° 7 - SLU (Approccio 2) - Sisma Vert. positivo]

Base sezione B = 100 cm

Altezza sezione H = 90.00 cm

Verifiche presso-flessione

N°	X	M	N	N _u	M _u	A _{fi}	A _{fs}	CS
1	0.40	628.02 (628.02)	222.23	479.45	1354.92	38.01	38.01	2.16
2	3.30	-214.70 (-353.77)	237.64	1052.36	-1566.65	38.01	38.01	4.43
3	6.20	-17.66 (-336.12)	253.04	1228.43	-1631.72	38.01	38.01	4.85

Verifica sezioni traverso [Combinazione n° 7 - SLU (Approccio 2) - Sisma Vert. positivo]

Base sezione B = 100 cm

Altezza sezione H = 80.00 cm

Verifiche presso-flessione

N°	X	M	N	N _u	M _u	A _{fi}	A _{fs}	CS
1	0.40	19.85 (142.64)	142.13	1515.55	1520.98	38.01	38.01	10.66
2	3.30	182.32 (211.64)	158.49	1018.62	1360.19	38.01	38.01	6.43
3	6.20	-395.14 (-395.14)	174.86	532.28	-1202.83	38.01	38.01	3.04

Verifica sezioni piedritto sinistro [Combinazione n° 7 - SLU (Approccio 2) - Sisma Vert. positivo]

Base sezione B = 100 cm

Altezza sezione H = 80.00 cm

Verifiche presso-flessione

N°	X	M	N	N _u	M _u	A _{fi}	A _{fs}	CS
1	0.45	-628.02 (-628.02)	295.56	572.14	-1215.73	38.01	38.01	1.94
2	2.98	58.42 (123.38)	239.96	3925.99	2008.57	38.01	38.01	16.36
3	5.51	19.85 (114.51)	184.37	3037.67	1886.72	38.01	38.01	16.48

Verifica sezioni piedritto destro [Combinazione n° 7 - SLU (Approccio 2) - Sisma Vert. positivo]

Base sezione B = 100 cm

Altezza sezione H = 80.00 cm

Tombino alla pk 19+150: Relazione di calcolo e caratterizzazione sismica

COMMESSA	LOTTO	CODIFICA	DOCUMENTO	REV.	FOGLIO
RS3E	50	D 78 CL	IN4200 001	A	73 di 96

Verifiche presso-flessione

N°	X	M	N	N _u	M _u	A _{fi}	A _{fs}	CS
1	0.45	17.66 (33.87)	438.65	11267.77	870.15	38.01	38.01	25.69
2	2.98	-50.00 (-109.80)	383.06	6703.15	-1921.41	38.01	38.01	17.50
3	5.51	-395.14 (-395.14)	327.46	1167.01	-1408.20	38.01	38.01	3.56

Verifica sezioni fondazione [Combinazione n° 8 - SLU (Approccio 2) - Sisma Vert. positivo]

Base sezione B = 100 cm

Altezza sezione H = 90.00 cm

Verifiche presso-flessione

N°	X	M	N	N _u	M _u	A _{fi}	A _{fs}	CS
1	0.40	617.53 (617.53)	219.06	480.81	1355.42	38.01	38.01	2.19
2	3.30	-209.31 (-344.00)	234.47	1072.99	-1574.28	38.01	38.01	4.58
3	6.20	-15.80 (-325.87)	249.87	1260.17	-1643.45	38.01	38.01	5.04

Verifica sezioni traverso [Combinazione n° 8 - SLU (Approccio 2) - Sisma Vert. positivo]

Base sezione B = 100 cm

Altezza sezione H = 80.00 cm

Verifiche presso-flessione

N°	X	M	N	N _u	M _u	A _{fi}	A _{fs}	CS
1	0.40	18.72 (138.74)	141.13	1562.68	1536.22	38.01	38.01	11.07
2	3.30	176.62 (205.48)	154.82	1026.87	1362.86	38.01	38.01	6.63
3	6.20	-382.86 (-382.86)	168.52	528.96	-1201.76	38.01	38.01	3.14

Verifica sezioni piedritto sinistro [Combinazione n° 8 - SLU (Approccio 2) - Sisma Vert. positivo]

Base sezione B = 100 cm

Altezza sezione H = 80.00 cm

Verifiche presso-flessione

N°	X	M	N	N _u	M _u	A _{fi}	A _{fs}	CS
1	0.45	-617.53 (-617.53)	291.40	573.95	-1216.31	38.01	38.01	1.97
2	2.98	58.93 (122.17)	235.80	3885.05	2012.94	38.01	38.01	16.48
3	5.51	18.72 (112.71)	180.20	3006.77	1880.67	38.01	38.01	16.69

Tombino alla pk 19+150: Relazione di calcolo e caratterizzazione sismica

COMMESSA	LOTTO	CODIFICA	DOCUMENTO	REV.	FOGLIO
RS3E	50	D 78 CL	IN4200 001	A	74 di 96

Verifica sezioni piedritto destro [Combinazione n° 8 - SLU (Approccio 2) - Sisma Vert. positivo]

Base sezione B = 100 cm

Altezza sezione H = 80.00 cm

Verifiche presso-flessione

N°	X	M	N	N _u	M _u	A _{fi}	A _{fs}	CS
1	0.45	15.80 (31.85)	427.08	11291.50	842.14	38.01	38.01	26.44
2	2.98	-49.28 (-107.22)	371.48	6673.70	-1926.18	38.01	38.01	17.97
3	5.51	-382.86 (-382.86)	315.88	1159.98	-1405.93	38.01	38.01	3.67

Verifiche combinazioni SLE

Simbologia adottata ed unità di misura

N° *Indice sezione*

X *Ascissa/Ordinata sezione, espresso in m*

M *Momento flettente, espresso in kNm*

V *Taglio, espresso in kN*

N *Sforzo normale, espresso in kN*

A_{fi} *Area armatura inferiore, espressa in cmq*

A_{fs} *Area armatura superiore, espressa in cmq*

σ_{fi} *Tensione nell'armatura disposta in corrispondenza del lembo inferiore, espresse in kPa*

σ_{fs} *Tensione nell'armatura disposta in corrispondenza del lembo superiore, espresse in kPa*

σ_c *Tensione nel calcestruzzo, espresse in kPa*

τ_c *Tensione tangenziale nel calcestruzzo, espresse in kPa*

A_{sv} *Area armature trasversali nella sezione, espressa in cmq*

Verifica sezioni fondazione [Combinazione n° 9 - SLE (Quasi Permanente)]

Base sezione B = 100 cm

Altezza sezione H = 90.00 cm

Verifiche presso-flessione

N°	X	M	N	A _{fi}	A _{fs}	σ _{fs}	σ _{fi}	σ _c
1	0.40	256.14	155.48	38.01	38.01	26869	69419	2285
2	3.30	-232.19	155.48	38.01	38.01	61288	24607	2081
3	6.20	256.14	155.48	38.01	38.01	26869	69418	2285



NUOVO COLLEGAMENTO PALERMO – CATANIA
 TRATTA DITTAINO - CATENANUOVA
 PROGETTO DEFINITIVO
 TOMBINI IDRAULICI
 Tombini ferroviari e stradali

Tombino alla pk 19+150: Relazione di calcolo e caratterizzazione sismica

COMMESSA	LOTTO	CODIFICA	DOCUMENTO	REV.	FOGLIO
RS3E	50	D 78 CL	IN4200 001	A	75 di 96

Verifiche taglio

N°	X	A _{sw}	V	τ _c
1	0.40	0.00	-332.70	-466
2	3.30	0.00	6.61	9
3	6.20	0.00	331.29	464

Verifica sezioni trasverso [Combinazione n° 9 - SLE (Quasi Permanente)]

Base sezione B = 100 cm

Altezza sezione H = 80.00 cm

Verifiche presso-flessione

N°	X	M	N	A _{fi}	A _{fs}	σ _{fs}	σ _{fi}	σ _c
1	0.40	-149.46	80.60	38.01	38.01	48866	18231	1610
2	3.30	197.19	80.60	38.01	38.01	23503	67463	2102
3	6.20	-149.46	80.60	38.01	38.01	48866	18231	1610

Verifiche taglio

N°	X	A _{sw}	V	τ _c
1	0.40	0.00	239.07	380
2	3.30	0.00	0.00	0
3	6.20	0.00	-239.07	-380

Verifica sezioni piedritto sinistro [Combinazione n° 9 - SLE (Quasi Permanente)]

Base sezione B = 100 cm

Altezza sezione H = 80.00 cm

Verifiche presso-flessione

N°	X	M	N	A _{fi}	A _{fs}	σ _{fs}	σ _{fi}	σ _c
1	0.45	-256.14	338.32	38.01	38.01	61705	34796	2887
2	2.98	-53.44	288.69	38.01	38.01	303	9674	704
3	5.51	-149.46	239.07	38.01	38.01	31788	20884	1702

Verifiche taglio

N°	X	A _{sw}	V	τ _c
----	---	-----------------	---	----------------



NUOVO COLLEGAMENTO PALERMO – CATANIA
 TRATTA DITTAINO - CATENANUOVA
 PROGETTO DEFINITIVO
 TOMBINI IDRAULICI
 Tombini ferroviari e stradali

Tombino alla pk 19+150: Relazione di calcolo e caratterizzazione sismica

COMMESSA	LOTTO	CODIFICA	DOCUMENTO	REV.	FOGLIO
RS3E	50	D 78 CL	IN4200 001	A	76 di 96

1	0.45	0.00	155.55	247
2	2.98	0.00	12.88	20
3	5.51	0.00	-80.60	-128

Verifica sezioni piedritto destro [Combinazione n° 9 - SLE (Quasi Permanente)]

Base sezione B = 100 cm

Altezza sezione H = 80.00 cm

Verifiche presso-flessione

N°	X	M	N	A _{fi}	A _{fs}	σ _{fs}	σ _{fi}	σ _c
1	0.45	-256.14	338.32	38.01	38.01	61704	34796	2887
2	2.98	-53.44	288.69	38.01	38.01	302	9673	704
3	5.51	-149.46	239.07	38.01	38.01	31788	20884	1702

Verifiche taglio

N°	X	A _{sw}	V	τ _c
1	0.45	0.00	-155.55	-247
2	2.98	0.00	-12.88	-20
3	5.51	0.00	80.60	128

Verifica sezioni fondazione [Combinazione n° 10 - SLE (Frequente)]

Base sezione B = 100 cm

Altezza sezione H = 90.00 cm

Verifiche presso-flessione

N°	X	M	N	A _{fi}	A _{fs}	σ _{fs}	σ _{fi}	σ _c
1	0.40	306.77	169.25	38.01	38.01	31878	85068	2725
2	3.30	-266.39	169.25	38.01	38.01	71345	28075	2382
3	6.20	252.31	169.25	38.01	38.01	26744	66568	2261

Verifiche taglio

N°	X	A _{sw}	V	τ _c
1	0.40	0.00	-363.65	-509
2	3.30	0.00	-11.37	-16



NUOVO COLLEGAMENTO PALERMO – CATANIA
 TRATTA DITTAINO - CATENANUOVA
 PROGETTO DEFINITIVO
 TOMBINI IDRAULICI
 Tombini ferroviari e stradali

Tombino alla pk 19+150: Relazione di calcolo e caratterizzazione sismica

COMMESSA	LOTTO	CODIFICA	DOCUMENTO	REV.	FOGLIO
RS3E	50	D 78 CL	IN4200 001	A	77 di 96

3 6.20 0.00 378.83 531

Verifica sezioni traverso [Combinazione n° 10 - SLE (Frequente)]

Base sezione B = 100 cm

Altezza sezione H = 80.00 cm

Verifiche presso-flessione

N°	X	M	N	A _{fi}	A _{fs}	σ _{fs}	σ _{fi}	σ _c
1	0.40	-148.16	84.53	38.01	38.01	47907	18169	1600
2	3.30	225.20	95.20	38.01	38.01	26911	76678	2403
3	6.20	-201.79	105.87	38.01	38.01	66315	24553	2171

Verifiche taglio

N°	X	A _{sw}	V	τ _c
1	0.40	0.00	269.81	429
2	3.30	0.00	-9.25	-15
3	6.20	0.00	-288.28	-458

Verifica sezioni piedritto sinistro [Combinazione n° 10 - SLE (Frequente)]

Base sezione B = 100 cm

Altezza sezione H = 80.00 cm

Verifiche presso-flessione

N°	X	M	N	A _{fi}	A _{fs}	σ _{fs}	σ _{fi}	σ _c
1	0.45	-306.77	369.05	38.01	38.01	77691	41122	3440
2	2.98	-60.14	319.43	38.01	38.01	465	10809	787
3	5.51	-148.16	269.81	38.01	38.01	28356	21109	1698

Verifiche taglio

N°	X	A _{sw}	V	τ _c
1	0.45	0.00	180.01	286
2	2.98	0.00	23.14	37
3	5.51	0.00	-84.53	-134



NUOVO COLLEGAMENTO PALERMO – CATANIA
 TRATTA DITTAINO - CATENANUOVA
 PROGETTO DEFINITIVO
 TOMBINI IDRAULICI
 Tombini ferroviari e stradali

Tombino alla pk 19+150: Relazione di calcolo e caratterizzazione sismica

COMMESSA	LOTTO	CODIFICA	DOCUMENTO	REV.	FOGLIO
RS3E	50	D 78 CL	IN4200 001	A	78 di 96

Verifica sezioni piedritto destro [Combinazione n° 10 - SLE (Frequente)]

Base sezione B = 100 cm

Altezza sezione H = 80.00 cm

Verifiche presso-flessione

N°	X	M	N	A _{fi}	A _{fs}	σ _{fs}	σ _{fi}	σ _c
1	0.45	-252.31	387.52	38.01	38.01	55255	35043	2867
2	2.98	-59.75	337.90	38.01	38.01	14	11038	801
3	5.51	-201.79	288.28	38.01	38.01	46375	27728	2284

Verifiche taglio

N°	X	A _{sw}	V	τ _c
1	0.45	0.00	-158.63	-252
2	2.98	0.00	-1.78	-3
3	5.51	0.00	105.87	168

Verifica sezioni fondazione [Combinazione n° 11 - SLE (Frequente)]

Base sezione B = 100 cm

Altezza sezione H = 90.00 cm

Verifiche presso-flessione

N°	X	M	N	A _{fi}	A _{fs}	σ _{fs}	σ _{fi}	σ _c
1	0.40	275.91	159.80	38.01	38.01	28807	75650	2456
2	3.30	-238.72	159.80	38.01	38.01	63017	25297	2139
3	6.20	247.84	159.80	38.01	38.01	26160	66111	2217

Verifiche taglio

N°	X	A _{sw}	V	τ _c
1	0.40	0.00	-344.31	-482
2	3.30	0.00	1.09	2
3	6.20	0.00	336.40	471

Verifica sezioni traverso [Combinazione n° 11 - SLE (Frequente)]

Base sezione B = 100 cm



NUOVO COLLEGAMENTO PALERMO – CATANIA
 TRATTA DITTAINO - CATENANUOVA
 PROGETTO DEFINITIVO
 TOMBINI IDRAULICI
 Tombini ferroviari e stradali

Tombino alla pk 19+150: Relazione di calcolo e caratterizzazione sismica

COMMESSA	LOTTO	CODIFICA	DOCUMENTO	REV.	FOGLIO
RS3E	50	D 78 CL	IN4200 001	A	79 di 96

Altezza sezione H = 80.00 cm

Verifiche presso-flessione

N°	X	M	N	A _{fi}	A _{fs}	σ _{fs}	σ _{fi}	σ _c
1	0.40	-147.41	84.62	38.01	38.01	47601	18086	1592
2	3.30	200.62	84.62	38.01	38.01	23969	68330	2141
3	6.20	-161.52	84.62	38.01	38.01	53094	19650	1738

Verifiche taglio

N°	X	A _{sw}	V	τ _c
1	0.40	0.00	250.73	399
2	3.30	0.00	-5.34	-8
3	6.20	0.00	-244.41	-389

Verifica sezioni piedritto sinistro [Combinazione n° 11 - SLE (Frequente)]

Base sezione B = 100 cm

Altezza sezione H = 80.00 cm

Verifiche presso-flessione

N°	X	M	N	A _{fi}	A _{fs}	σ _{fs}	σ _{fi}	σ _c
1	0.45	-275.91	349.98	38.01	38.01	67976	37265	3103
2	2.98	-51.75	300.36	38.01	38.01	144	9676	701
3	5.51	-147.41	250.73	38.01	38.01	29893	20787	1684

Verifiche taglio

N°	X	A _{sw}	V	τ _c
1	0.45	0.00	168.20	267
2	2.98	0.00	17.19	27
3	5.51	0.00	-84.62	-135

Verifica sezioni piedritto destro [Combinazione n° 11 - SLE (Frequente)]

Base sezione B = 100 cm

Altezza sezione H = 80.00 cm

Verifiche presso-flessione

Tombino alla pk 19+150: Relazione di calcolo e caratterizzazione sismica

COMMESSA	LOTTO	CODIFICA	DOCUMENTO	REV.	FOGLIO
RS3E	50	D 78 CL	IN4200 001	A	80 di 96

N°	X	M	N	A _{fi}	A _{fs}	σ _{fs}	σ _{fi}	σ _c
1	0.45	-247.84	343.66	38.01	38.01	58020	33906	2801
2	2.98	-55.31	294.03	38.01	38.01	422	9944	724
3	5.51	-161.52	244.41	38.01	38.01	35737	22383	1834

Verifiche taglio

N°	X	A _{sw}	V	τ _c
1	0.45	0.00	-151.53	-241
2	2.98	0.00	-8.85	-14
3	5.51	0.00	84.62	135

Verifica sezioni fondazione [Combinazione n° 12 - SLE (Frequente)]

Base sezione B = 100 cm

Altezza sezione H = 90.00 cm

Verifiche presso-flessione

N°	X	M	N	A _{fi}	A _{fs}	σ _{fs}	σ _{fi}	σ _c
1	0.40	259.20	155.55	38.01	38.01	27158	70449	2311
2	3.30	-229.18	155.55	38.01	38.01	60259	24322	2055
3	6.20	259.19	155.55	38.01	38.01	27158	70449	2311

Verifiche taglio

N°	X	A _{sw}	V	τ _c
1	0.40	0.00	-332.70	-466
2	3.30	0.00	6.61	9
3	6.20	0.00	331.30	464

Verifica sezioni traverso [Combinazione n° 12 - SLE (Frequente)]

Base sezione B = 100 cm

Altezza sezione H = 80.00 cm

Verifiche presso-flessione

N°	X	M	N	A _{fi}	A _{fs}	σ _{fs}	σ _{fi}	σ _c
1	0.40	-152.20	80.53	38.01	38.01	49938	18533	1638



NUOVO COLLEGAMENTO PALERMO – CATANIA
 TRATTA DITTAINO - CATENANUOVA
 PROGETTO DEFINITIVO
 TOMBINI IDRAULICI
 Tombini ferroviari e stradali

Tombino alla pk 19+150: Relazione di calcolo e caratterizzazione sismica

COMMESSA	LOTTO	CODIFICA	DOCUMENTO	REV.	FOGLIO
RS3E	50	D 78 CL	IN4200 001	A	81 di 96

2	3.30	194.46	80.53	38.01	38.01	23200	66405	2074
3	6.20	-152.20	80.53	38.01	38.01	49937	18533	1638

Verifiche taglio

N°	X	A _{sw}	V	τ _c
1	0.40	0.00	239.07	380
2	3.30	0.00	0.00	0
3	6.20	0.00	-239.07	-380

Verifica sezioni piedritto sinistro [Combinazione n° 12 - SLE (Frequente)]

Base sezione B = 100 cm

Altezza sezione H = 80.00 cm

Verifiche presso-flessione

N°	X	M	N	A _{fi}	A _{fs}	σ _{fs}	σ _{fi}	σ _c
1	0.45	-259.20	338.32	38.01	38.01	62860	35151	2920
2	2.98	-56.33	288.69	38.01	38.01	687	9977	728
3	5.51	-152.20	239.07	38.01	38.01	32802	21209	1732

Verifiche taglio

N°	X	A _{sw}	V	τ _c
1	0.45	0.00	155.62	247
2	2.98	0.00	12.94	21
3	5.51	0.00	-80.53	-128

Verifica sezioni piedritto destro [Combinazione n° 12 - SLE (Frequente)]

Base sezione B = 100 cm

Altezza sezione H = 80.00 cm

Verifiche presso-flessione

N°	X	M	N	A _{fi}	A _{fs}	σ _{fs}	σ _{fi}	σ _c
1	0.45	-259.19	338.32	38.01	38.01	62859	35151	2920
2	2.98	-56.33	288.69	38.01	38.01	687	9977	728
3	5.51	-152.20	239.07	38.01	38.01	32801	21209	1732

Tombino alla pk 19+150: Relazione di calcolo e caratterizzazione sismica

COMMESSA	LOTTO	CODIFICA	DOCUMENTO	REV.	FOGLIO
RS3E	50	D 78 CL	IN4200 001	A	82 di 96

Verifiche taglio

N°	X	A _{sw}	V	τ_c
1	0.45	0.00	-155.62	-247
2	2.98	0.00	-12.94	-21
3	5.51	0.00	80.53	128

Verifica sezioni fondazione [Combinazione n° 13 - SLE (Rara)]

Base sezione B = 100 cm

Altezza sezione H = 90.00 cm

Verifiche presso-flessione

N°	X	M	N	A _{fi}	A _{fs}	σ_{fs}	σ_{fi}	σ_c
1	0.40	322.48	172.75	38.01	38.01	33418	90013	2861
2	3.30	-271.93	172.75	38.01	38.01	72830	28659	2431
3	6.20	254.41	172.75	38.01	38.01	27002	66885	2282

Verifiche taglio

N°	X	A _{sw}	V	τ_c
1	0.40	0.00	-371.39	-520
2	3.30	0.00	-15.87	-22
3	6.20	0.00	390.72	547

Verifica sezioni traverso [Combinazione n° 13 - SLE (Rara)]

Base sezione B = 100 cm

Altezza sezione H = 80.00 cm

Verifiche presso-flessione

N°	X	M	N	A _{fi}	A _{fs}	σ_{fs}	σ_{fi}	σ_c
1	0.40	-150.57	85.45	38.01	38.01	48738	18455	1626
2	3.30	229.47	98.79	38.01	38.01	27460	77923	2451
3	6.20	-217.61	112.13	38.01	38.01	71749	26435	2340

Verifiche taglio



NUOVO COLLEGAMENTO PALERMO – CATANIA
 TRATTA DITTAINO - CATENANUOVA
 PROGETTO DEFINITIVO
 TOMBINI IDRAULICI
 Tombini ferroviari e stradali

Tombino alla pk 19+150: Relazione di calcolo e caratterizzazione sismica

COMMESSA	LOTTO	CODIFICA	DOCUMENTO	REV.	FOGLIO
RS3E	50	D 78 CL	IN4200 001	A	83 di 96

N°	X	A _{sw}	V	τ _c
1	0.40	0.00	277.49	441
2	3.30	0.00	-11.57	-18
3	6.20	0.00	-300.58	-478

Verifica sezioni piedritto sinistro [Combinazione n° 13 - SLE (Rara)]

Base sezione B = 100 cm

Altezza sezione H = 80.00 cm

Verifiche presso-flessione

N°	X	M	N	A _{fi}	A _{fs}	σ _{fs}	σ _{fi}	σ _c
1	0.45	-322.48	376.74	38.01	38.01	82862	43051	3611
2	2.98	-64.71	327.12	38.01	38.01	902	11400	832
3	5.51	-150.57	277.49	38.01	38.01	28509	21491	1727

Verifiche taglio

N°	X	A _{sw}	V	τ _c
1	0.45	0.00	186.19	296
2	2.98	0.00	25.77	41
3	5.51	0.00	-85.45	-136

Verifica sezioni piedritto destro [Combinazione n° 13 - SLE (Rara)]

Base sezione B = 100 cm

Altezza sezione H = 80.00 cm

Verifiche presso-flessione

N°	X	M	N	A _{fi}	A _{fs}	σ _{fs}	σ _{fi}	σ _c
1	0.45	-254.41	399.83	38.01	38.01	54811	35455	2895
2	2.98	-64.22	350.20	38.01	38.01	292	11673	849
3	5.51	-217.61	300.58	38.01	38.01	51063	29754	2459

Verifiche taglio

N°	X	A _{sw}	V	τ _c
1	0.45	0.00	-159.47	-254



NUOVO COLLEGAMENTO PALERMO – CATANIA
 TRATTA DITTAINO - CATENANUOVA
 PROGETTO DEFINITIVO
 TOMBINI IDRAULICI
 Tombini ferroviari e stradali

Tombino alla pk 19+150: Relazione di calcolo e caratterizzazione sismica

COMMESSA	LOTTO	CODIFICA	DOCUMENTO	REV.	FOGLIO
RS3E	50	D 78 CL	IN4200 001	A	84 di 96

2	2.98	0.00	0.93	1
3	5.51	0.00	112.13	178

Verifica sezioni fondazione [Combinazione n° 14 - SLE (Rara)]

Base sezione B = 100 cm

Altezza sezione H = 90.00 cm

Verifiche presso-flessione

N°	X	M	N	A _{fi}	A _{fs}	σ _{fs}	σ _{fi}	σ _c
1	0.40	283.91	160.94	38.01	38.01	29580	78239	2525
2	3.30	-237.34	160.94	38.01	38.01	62421	25186	2128
3	6.20	248.81	160.94	38.01	38.01	26272	66314	2226

Verifiche taglio

N°	X	A _{sw}	V	τ _c
1	0.40	0.00	-347.22	-486
2	3.30	0.00	-0.29	0
3	6.20	0.00	337.67	473

Verifica sezioni traverso [Combinazione n° 14 - SLE (Rara)]

Base sezione B = 100 cm

Altezza sezione H = 80.00 cm

Verifiche presso-flessione

N°	X	M	N	A _{fi}	A _{fs}	σ _{fs}	σ _{fi}	σ _c
1	0.40	-149.62	85.56	38.01	38.01	48356	18352	1616
2	3.30	198.74	85.56	38.01	38.01	23783	67489	2122
3	6.20	-167.26	85.56	38.01	38.01	55222	20306	1798

Verifiche taglio

N°	X	A _{sw}	V	τ _c
1	0.40	0.00	253.65	403
2	3.30	0.00	-6.67	-11
3	6.20	0.00	-245.75	-391



NUOVO COLLEGAMENTO PALERMO – CATANIA
 TRATTA DITTAINO - CATENANUOVA
 PROGETTO DEFINITIVO
 TOMBINI IDRAULICI
 Tombini ferroviari e stradali

Tombino alla pk 19+150: Relazione di calcolo e caratterizzazione sismica

COMMESSA	LOTTO	CODIFICA	DOCUMENTO	REV.	FOGLIO
RS3E	50	D 78 CL	IN4200 001	A	85 di 96

Verifica sezioni piedritto sinistro [Combinazione n° 14 - SLE (Rara)]

Base sezione B = 100 cm

Altezza sezione H = 80.00 cm

Verifiche presso-flessione

N°	X	M	N	A _{fi}	A _{fs}	σ _{fs}	σ _{fi}	σ _c
1	0.45	-283.91	352.90	38.01	38.01	70705	38234	3190
2	2.98	-54.22	303.27	38.01	38.01	82	9966	724
3	5.51	-149.62	253.65	38.01	38.01	30426	21089	1709

Verifiche taglio

N°	X	A _{sw}	V	τ _c
1	0.45	0.00	171.43	273
2	2.98	0.00	18.33	29
3	5.51	0.00	-85.56	-136

Verifica sezioni piedritto destro [Combinazione n° 14 - SLE (Rara)]

Base sezione B = 100 cm

Altezza sezione H = 80.00 cm

Verifiche presso-flessione

N°	X	M	N	A _{fi}	A _{fs}	σ _{fs}	σ _{fi}	σ _c
1	0.45	-248.81	344.99	38.01	38.01	58250	34040	2812
2	2.98	-58.68	295.37	38.01	38.01	849	10319	754
3	5.51	-167.26	245.75	38.01	38.01	37750	23078	1896

Verifiche taglio

N°	X	A _{sw}	V	τ _c
1	0.45	0.00	-150.59	-239
2	2.98	0.00	-7.91	-13
3	5.51	0.00	85.56	136

Verifica sezioni fondazione [Combinazione n° 15 - SLE (Rara)]



NUOVO COLLEGAMENTO PALERMO – CATANIA
 TRATTA DITTAINO - CATENANUOVA
 PROGETTO DEFINITIVO
 TOMBINI IDRAULICI
 Tombini ferroviari e stradali

Tombino alla pk 19+150: Relazione di calcolo e caratterizzazione sismica

COMMESSA	LOTTO	CODIFICA	DOCUMENTO	REV.	FOGLIO
RS3E	50	D 78 CL	IN4200 001	A	86 di 96

Base sezione B = 100 cm

Altezza sezione H = 90.00 cm

Verifiche presso-flessione

N°	X	M	N	A _{fi}	A _{fs}	σ _{fs}	σ _{fi}	σ _c
1	0.40	322.03	169.56	38.01	38.01	33318	90227	2855
2	3.30	-251.33	169.56	38.01	38.01	66198	26656	2253
3	6.20	267.58	169.56	38.01	38.01	28193	71713	2392

Verifiche taglio

N°	X	A _{sw}	V	τ _c
1	0.40	0.00	-363.66	-509
2	3.30	0.00	-11.37	-16
3	6.20	0.00	378.84	531

Verifica sezioni trasverso [Combinazione n° 15 - SLE (Rara)]

Base sezione B = 100 cm

Altezza sezione H = 80.00 cm

Verifiche presso-flessione

N°	X	M	N	A _{fi}	A _{fs}	σ _{fs}	σ _{fi}	σ _c
1	0.40	-161.83	84.21	38.01	38.01	53264	19676	1741
2	3.30	211.53	94.89	38.01	38.01	25396	71385	2262
3	6.20	-215.46	105.56	38.01	38.01	71675	26058	2312

Verifiche taglio

N°	X	A _{sw}	V	τ _c
1	0.40	0.00	269.81	429
2	3.30	0.00	-9.25	-15
3	6.20	0.00	-288.28	-458

Verifica sezioni piedritto sinistro [Combinazione n° 15 - SLE (Rara)]

Base sezione B = 100 cm

Altezza sezione H = 80.00 cm



NUOVO COLLEGAMENTO PALERMO – CATANIA
 TRATTA DITTAINO - CATENANUOVA
 PROGETTO DEFINITIVO
 TOMBINI IDRAULICI
 Tombini ferroviari e stradali

Tombino alla pk 19+150: Relazione di calcolo e caratterizzazione sismica

COMMESSA	LOTTO	CODIFICA	DOCUMENTO	REV.	FOGLIO
RS3E	50	D 78 CL	IN4200 001	A	87 di 96

Verifiche presso-flessione

N°	X	M	N	A _{fi}	A _{fs}	σ _{fs}	σ _{fi}	σ _c
1	0.45	-322.03	369.05	38.01	38.01	83513	42877	3602
2	2.98	-74.61	319.43	38.01	38.01	2759	12420	917
3	5.51	-161.83	269.81	38.01	38.01	33348	22753	1847

Verifiche taglio

N°	X	A _{sw}	V	τ _c
1	0.45	0.00	180.33	287
2	2.98	0.00	23.45	37
3	5.51	0.00	-84.21	-134

Verifica sezioni piedritto destro [Combinazione n° 15 - SLE (Rara)]

Base sezione B = 100 cm

Altezza sezione H = 80.00 cm

Verifiche presso-flessione

N°	X	M	N	A _{fi}	A _{fs}	σ _{fs}	σ _{fi}	σ _c
1	0.45	-267.58	387.52	38.01	38.01	60959	36842	3031
2	2.98	-74.22	337.90	38.01	38.01	2080	12593	926
3	5.51	-215.46	288.28	38.01	38.01	51522	29325	2431

Verifiche taglio

N°	X	A _{sw}	V	τ _c
1	0.45	0.00	-158.95	-253
2	2.98	0.00	-2.09	-3
3	5.51	0.00	105.56	168

Verifica sezioni fondazione [Combinazione n° 16 - SLE (Rara)]

Base sezione B = 100 cm

Altezza sezione H = 90.00 cm

Verifiche presso-flessione

N°	X	M	N	A _{fi}	A _{fs}	σ _{fs}	σ _{fi}	σ _c
----	---	---	---	-----------------	-----------------	-----------------	-----------------	----------------

Tombino alla pk 19+150: Relazione di calcolo e caratterizzazione sismica

COMMESSA	LOTTO	CODIFICA	DOCUMENTO	REV.	FOGLIO
RS3E	50	D 78 CL	IN4200 001	A	88 di 96

1	0.40	291.18	160.11	38.01	38.01	30249	80806	2586
2	3.30	-223.65	160.11	38.01	38.01	57876	23875	2011
3	6.20	263.10	160.11	38.01	38.01	27606	71260	2347

Verifiche taglio

N°	X	A _{sw}	V	τ _c
1	0.40	0.00	-344.32	-482
2	3.30	0.00	1.09	2
3	6.20	0.00	336.41	471

Verifica sezioni trasverso [Combinazione n° 16 - SLE (Rara)]

Base sezione B = 100 cm

Altezza sezione H = 80.00 cm

Verifiche presso-flessione

N°	X	M	N	A _{fi}	A _{fs}	σ _{fs}	σ _{fi}	σ _c
1	0.40	-161.08	84.30	38.01	38.01	52958	19594	1733
2	3.30	186.95	84.30	38.01	38.01	22454	63038	2000
3	6.20	-175.19	84.30	38.01	38.01	58454	21155	1879

Verifiche taglio

N°	X	A _{sw}	V	τ _c
1	0.40	0.00	250.73	399
2	3.30	0.00	-5.34	-8
3	6.20	0.00	-244.41	-389

Verifica sezioni piedritto sinistro [Combinazione n° 16 - SLE (Rara)]

Base sezione B = 100 cm

Altezza sezione H = 80.00 cm

Verifiche presso-flessione

N°	X	M	N	A _{fi}	A _{fs}	σ _{fs}	σ _{fi}	σ _c
1	0.45	-291.18	349.98	38.01	38.01	73778	39028	3265
2	2.98	-66.22	300.36	38.01	38.01	1890	11221	825



NUOVO COLLEGAMENTO PALERMO – CATANIA
 TRATTA DITTAINO - CATENANUOVA
 PROGETTO DEFINITIVO
 TOMBINI IDRAULICI
 Tombini ferroviari e stradali

Tombino alla pk 19+150: Relazione di calcolo e caratterizzazione sismica

COMMESSA	LOTTO	CODIFICA	DOCUMENTO	REV.	FOGLIO
RS3E	50	D 78 CL	IN4200 001	A	89 di 96

3	5.51	-161.08	250.73	38.01	38.01	34942	22416	1832
---	------	---------	--------	-------	-------	-------	-------	------

Verifiche taglio

N°	X	A _{sw}	V	τ _c
1	0.45	0.00	168.52	268
2	2.98	0.00	17.51	28
3	5.51	0.00	-84.30	-134

Verifica sezioni piedritto destro [Combinazione n° 16 - SLE (Rara)]

Base sezione B = 100 cm

Altezza sezione H = 80.00 cm

Verifiche presso-flessione

N°	X	M	N	A _{fi}	A _{fs}	σ _{fs}	σ _{fi}	σ _c
1	0.45	-263.10	343.66	38.01	38.01	63783	35684	2964
2	2.98	-69.78	294.03	38.01	38.01	2748	11562	855
3	5.51	-175.19	244.41	38.01	38.01	40859	23989	1981

Verifiche taglio

N°	X	A _{sw}	V	τ _c
1	0.45	0.00	-151.84	-241
2	2.98	0.00	-9.17	-15
3	5.51	0.00	84.30	134

Verifiche fessurazione

Simbologia adottata ed unità di misura

N°	Indice sezione
X_i	Ascissa/Ordinata sezione, espresso in m
M_p	Momento, espresse in kNm
M_n	Momento, espresse in kNm
w_k	Ampiezza fessure, espresse in mm
w_{lim}	Apertura limite fessure, espresse in mm
s	Distanza media tra le fessure, espresse in mm
ϵ_{sm}	Deformazione nelle fessure, espresse in [%]

Verifica fessurazione fondazione [Combinazione n° 13 - SLE (Rara)]

N°	X	A_{fi}	A_{fs}	M_p	M_n	M	w	w_{lim}	s_m	ϵ_{sm}
1	0.40	38.01	38.01	413.32	-413.32	322.48	0.00	0.20	0.00	0.000
2	3.30	38.01	38.01	413.32	-413.32	-271.93	0.00	0.20	0.00	0.000
3	6.20	38.01	38.01	413.32	-413.32	254.41	0.00	0.20	0.00	0.000

Verifica fessurazione traverso [Combinazione n° 13 - SLE (Rara)]

N°	X	A_{fi}	A_{fs}	M_p	M_n	M	w	w_{lim}	s_m	ϵ_{sm}
1	0.40	38.01	38.01	331.36	-331.36	-150.57	0.00	0.20	0.00	0.000
2	3.30	38.01	38.01	331.36	-331.36	229.47	0.00	0.20	0.00	0.000
3	6.20	38.01	38.01	331.36	-331.36	-217.61	0.00	0.20	0.00	0.000

Verifica fessurazione piedritto sinistro [Combinazione n° 13 - SLE (Rara)]

N°	X	A_{fi}	A_{fs}	M_p	M_n	M	w	w_{lim}	s_m	ϵ_{sm}
1	0.45	38.01	38.01	331.36	-331.36	-322.48	0.00	0.20	0.00	0.000
2	2.98	38.01	38.01	331.36	-331.36	-64.71	0.00	0.20	0.00	0.000
3	5.51	38.01	38.01	331.36	-331.36	-150.57	0.00	0.20	0.00	0.000

Verifica fessurazione piedritto destro [Combinazione n° 13 - SLE (Rara)]

N°	X	A_{fi}	A_{fs}	M_p	M_n	M	w	w_{lim}	s_m	ϵ_{sm}
1	0.45	38.01	38.01	331.36	-331.36	-254.41	0.00	0.20	0.00	0.000
2	2.98	38.01	38.01	331.36	-331.36	-64.22	0.00	0.20	0.00	0.000



NUOVO COLLEGAMENTO PALERMO – CATANIA
 TRATTA DITTAINO - CATENANUOVA
 PROGETTO DEFINITIVO
 TOMBINI IDRAULICI
 Tombini ferroviari e stradali

Tombino alla pk 19+150: Relazione di calcolo e caratterizzazione sismica

COMMESSA	LOTTO	CODIFICA	DOCUMENTO	REV.	FOGLIO
RS3E	50	D 78 CL	IN4200 001	A	91 di 96

3	5.51	38.01	38.01	331.36	-331.36	-217.61	0.00	0.20	0.00	0.000
---	------	-------	-------	--------	---------	---------	------	------	------	-------

Verifica fessurazione fondazione [Combinazione n° 14 - SLE (Rara)]

N°	X	A _{fi}	A _{fs}	M _p	M _n	M	w	W _{lim}	S _m	ε _{sm}
1	0.40	38.01	38.01	413.32	-413.32	283.91	0.00	0.20	0.00	0.000
2	3.30	38.01	38.01	413.32	-413.32	-237.34	0.00	0.20	0.00	0.000
3	6.20	38.01	38.01	413.32	-413.32	248.81	0.00	0.20	0.00	0.000

Verifica fessurazione traverso [Combinazione n° 14 - SLE (Rara)]

N°	X	A _{fi}	A _{fs}	M _p	M _n	M	w	W _{lim}	S _m	ε _{sm}
1	0.40	38.01	38.01	331.36	-331.36	-149.62	0.00	0.20	0.00	0.000
2	3.30	38.01	38.01	331.36	-331.36	198.74	0.00	0.20	0.00	0.000
3	6.20	38.01	38.01	331.36	-331.36	-167.26	0.00	0.20	0.00	0.000

Verifica fessurazione piedritto sinistro [Combinazione n° 14 - SLE (Rara)]

N°	X	A _{fi}	A _{fs}	M _p	M _n	M	w	W _{lim}	S _m	ε _{sm}
1	0.45	38.01	38.01	331.36	-331.36	-283.91	0.00	0.20	0.00	0.000
2	2.98	38.01	38.01	331.36	-331.36	-54.22	0.00	0.20	0.00	0.000
3	5.51	38.01	38.01	331.36	-331.36	-149.62	0.00	0.20	0.00	0.000

Verifica fessurazione piedritto destro [Combinazione n° 14 - SLE (Rara)]

N°	X	A _{fi}	A _{fs}	M _p	M _n	M	w	W _{lim}	S _m	ε _{sm}
1	0.45	38.01	38.01	331.36	-331.36	-248.81	0.00	0.20	0.00	0.000
2	2.98	38.01	38.01	331.36	-331.36	-58.68	0.00	0.20	0.00	0.000
3	5.51	38.01	38.01	331.36	-331.36	-167.26	0.00	0.20	0.00	0.000

Verifica fessurazione fondazione [Combinazione n° 15 - SLE (Rara)]

N°	X	A _{fi}	A _{fs}	M _p	M _n	M	w	W _{lim}	S _m	ε _{sm}
1	0.40	38.01	38.01	413.32	-413.32	322.03	0.00	0.20	0.00	0.000
2	3.30	38.01	38.01	413.32	-413.32	-251.33	0.00	0.20	0.00	0.000
3	6.20	38.01	38.01	413.32	-413.32	267.58	0.00	0.20	0.00	0.000

Tombino alla pk 19+150: Relazione di calcolo e caratterizzazione sismica

COMMESSA	LOTTO	CODIFICA	DOCUMENTO	REV.	FOGLIO
RS3E	50	D 78 CL	IN4200 001	A	92 di 96

Verifica fessurazione traverso [Combinazione n° 15 - SLE (Rara)]

N°	X	A _{fi}	A _{fs}	M _p	M _n	M	w	W _{lim}	S _m	ε _{sm}
1	0.40	38.01	38.01	331.36	-331.36	-161.83	0.00	0.20	0.00	0.000
2	3.30	38.01	38.01	331.36	-331.36	211.53	0.00	0.20	0.00	0.000
3	6.20	38.01	38.01	331.36	-331.36	-215.46	0.00	0.20	0.00	0.000

Verifica fessurazione piedritto sinistro [Combinazione n° 15 - SLE (Rara)]

N°	X	A _{fi}	A _{fs}	M _p	M _n	M	w	W _{lim}	S _m	ε _{sm}
1	0.45	38.01	38.01	331.36	-331.36	-322.03	0.00	0.20	0.00	0.000
2	2.98	38.01	38.01	331.36	-331.36	-74.61	0.00	0.20	0.00	0.000
3	5.51	38.01	38.01	331.36	-331.36	-161.83	0.00	0.20	0.00	0.000

Verifica fessurazione piedritto destro [Combinazione n° 15 - SLE (Rara)]

N°	X	A _{fi}	A _{fs}	M _p	M _n	M	w	W _{lim}	S _m	ε _{sm}
1	0.45	38.01	38.01	331.36	-331.36	-267.58	0.00	0.20	0.00	0.000
2	2.98	38.01	38.01	331.36	-331.36	-74.22	0.00	0.20	0.00	0.000
3	5.51	38.01	38.01	331.36	-331.36	-215.46	0.00	0.20	0.00	0.000

Verifica fessurazione fondazione [Combinazione n° 16 - SLE (Rara)]

N°	X	A _{fi}	A _{fs}	M _p	M _n	M	w	W _{lim}	S _m	ε _{sm}
1	0.40	38.01	38.01	413.32	-413.32	291.18	0.00	0.20	0.00	0.000
2	3.30	38.01	38.01	413.32	-413.32	-223.65	0.00	0.20	0.00	0.000
3	6.20	38.01	38.01	413.32	-413.32	263.10	0.00	0.20	0.00	0.000

Verifica fessurazione traverso [Combinazione n° 16 - SLE (Rara)]

N°	X	A _{fi}	A _{fs}	M _p	M _n	M	w	W _{lim}	S _m	ε _{sm}
1	0.40	38.01	38.01	331.36	-331.36	-161.08	0.00	0.20	0.00	0.000
2	3.30	38.01	38.01	331.36	-331.36	186.95	0.00	0.20	0.00	0.000
3	6.20	38.01	38.01	331.36	-331.36	-175.19	0.00	0.20	0.00	0.000

Verifica fessurazione piedritto sinistro [Combinazione n° 16 - SLE (Rara)]

N°	X	A _{fi}	A _{fs}	M _p	M _n	M	w	W _{lim}	S _m	ε _{sm}
----	---	-----------------	-----------------	----------------	----------------	---	---	------------------	----------------	-----------------

Tombino alla pk 19+150: Relazione di calcolo e caratterizzazione sismica

COMMESSA	LOTTO	CODIFICA	DOCUMENTO	REV.	FOGLIO
RS3E	50	D 78 CL	IN4200 001	A	93 di 96

1	0.45	38.01	38.01	331.36	-331.36	-291.18	0.00	0.20	0.00	0.000
2	2.98	38.01	38.01	331.36	-331.36	-66.22	0.00	0.20	0.00	0.000
3	5.51	38.01	38.01	331.36	-331.36	-161.08	0.00	0.20	0.00	0.000

Verifica fessurazione piedritto destro [Combinazione n° 16 - SLE (Rara)]

N°	X	A _{fi}	A _{fs}	M _p	M _n	M	w	w _{lim}	S _m	ε _{sm}
1	0.45	38.01	38.01	331.36	-331.36	-263.10	0.00	0.20	0.00	0.000
2	2.98	38.01	38.01	331.36	-331.36	-69.78	0.00	0.20	0.00	0.000
3	5.51	38.01	38.01	331.36	-331.36	-175.19	0.00	0.20	0.00	0.000

Inviluppo sollecitazioni nodali

Inviluppo sollecitazioni fondazione

X [m]	M _{min} [kNm]	M _{max} [kNm]	V _{min} [kN]	V _{max} [kN]	N _{min} [kN]	N _{max} [kN]
0.40	-628.02	-256.14	-510.47	-253.71	155.48	234.92
3.30	162.62	383.18	-203.98	6.61	155.48	237.64
6.20	-355.13	41.57	331.29	538.62	155.48	253.04

Inviluppo sollecitazioni trasverso

X [m]	M _{min} [kNm]	M _{max} [kNm]	V _{min} [kN]	V _{max} [kN]	N _{min} [kN]	N _{max} [kN]
0.40	-221.66	24.11	166.41	383.77	80.53	146.13
3.30	160.80	316.15	-71.65	0.00	80.53	162.49
6.20	-395.14	-149.46	-417.25	-239.07	80.53	178.85

Inviluppo sollecitazioni piedritto sinistro

Y [m]	M _{min} [kNm]	M _{max} [kNm]	V _{min} [kN]	V _{max} [kN]	N _{min} [kN]	N _{max} [kN]
0.45	-628.02	-256.14	155.55	431.00	253.71	517.75
2.98	-97.10	73.15	12.88	119.83	210.06	450.76
5.51	-221.66	24.11	-146.13	-80.53	166.41	383.77

Inviluppo sollecitazioni piedritto destro

Y [m]	M _{min} [kNm]	M _{max} [kNm]	V _{min} [kN]	V _{max} [kN]	N _{min} [kN]	N _{max} [kN]
0.45	-355.13	41.57	-215.65	-39.82	338.32	551.23
2.98	-96.57	-35.62	-12.94	93.78	288.69	484.24
5.51	-395.14	-149.46	80.53	178.85	239.07	417.25

Tombino alla pk 19+150: Relazione di calcolo e caratterizzazione sismica

COMMESSA	LOTTO	CODIFICA	DOCUMENTO	REV.	FOGLIO
RS3E	50	D 78 CL	IN4200 001	A	94 di 96

Inviluppo pressioni terreno

Inviluppo pressioni sul terreno di fondazione

X [m]	σ_{\min} [kPa]	σ_{\max} [kPa]
0.40	0	194
3.30	121	212
6.20	140	348

Inviluppo verifiche stato limite ultimo (SLU)

Verifica sezioni fondazione (Inviluppo)

Base sezione B = 100 cm

Altezza sezione H = 90.00 cm

X	A_{fi}	A_{fs}	CS
0.40	38.01	38.01	2.16
3.30	38.01	38.01	3.93
6.20	38.01	38.01	3.36

Verifica sezioni traverso (Inviluppo)

Base sezione B = 100 cm

Altezza sezione H = 80.00 cm

X	A_{fi}	A_{fs}	CS
0.40	38.01	38.01	3.87
3.30	38.01	38.01	3.79
6.20	38.01	38.01	3.04

Verifica sezioni piedritto sinistro (Inviluppo)

Base sezione B = 100 cm

Altezza sezione H = 80.00 cm

Y	A_{fi}	A_{fs}	CS
0.45	38.01	38.01	1.94
2.98	38.01	38.01	14.12
5.51	38.01	38.01	5.41

Tombino alla pk 19+150: Relazione di calcolo e caratterizzazione sismica

COMMESSA	LOTTO	CODIFICA	DOCUMENTO	REV.	FOGLIO
RS3E	50	D 78 CL	IN4200 001	A	95 di 96

Verifica sezioni piedritto destro (Inviluppo)

Base sezione B = 100 cm

Altezza sezione H = 80.00 cm

Y	A _{fi}	A _{fs}	CS
0.45	38.01	38.01	5.01
2.98	38.01	38.01	17.41
5.51	38.01	38.01	3.56

Inviluppo verifiche stato limite esercizio (SLE)

Verifica sezioni fondazione (Inviluppo)

Base sezione B = 100 cm

Altezza sezione H = 90.00 cm

X	A _{fi}	A _{fs}	σ _c	σ _{fi}	σ _{fs}
0.40	38.01	38.01	2861	90227	33418
3.30	38.01	38.01	2431	28659	72830
6.20	38.01	38.01	2392	71713	28193

Verifica sezioni traverso (Inviluppo)

Base sezione B = 100 cm

Altezza sezione H = 80.00 cm

X	A _{fi}	A _{fs}	σ _c	σ _{fi}	σ _{fs}
0.40	38.01	38.01	1741	19676	53264
3.30	38.01	38.01	2451	77923	27460
6.20	38.01	38.01	2340	26435	71749

Verifica sezioni piedritto sinistro (Inviluppo)

Base sezione B = 100 cm

Altezza sezione H = 80.00 cm

Y	A _{fi}	A _{fs}	σ _c	σ _{fi}	σ _{fs}
0.45	38.01	38.01	3611	43051	83513
2.98	38.01	38.01	917	12420	2759
5.51	38.01	38.01	1847	22753	34942

Tombino alla pk 19+150: Relazione di calcolo e caratterizzazione sismica

COMMESSA	LOTTO	CODIFICA	DOCUMENTO	REV.	FOGLIO
RS3E	50	D 78 CL	IN4200 001	A	96 di 96

Verifica sezioni piedritto destro (Inviluppo)

Base sezione B = 100 cm

Altezza sezione H = 80.00 cm

Y	A _{fi}	A _{fs}	σ _c	σ _{fi}	σ _{fs}
0.45	38.01	38.01	3031	36842	63783
2.98	38.01	38.01	926	12593	2748
5.51	38.01	38.01	2459	29754	51522

Verifiche geotecniche

Simbologia adottata

IC Indice della combinazione

N_c, N_q, N_γ Fattori di capacità portante

N_c, N_q, N_γ Fattori di capacità portante corretti per effetto forma, inclinazione del carico, affondamento, etc.

q_u Portanza ultima del terreno, espressa in [kPa]

Q_u Portanza ultima del terreno, espressa in [kN]/m

Q_v Carico verticale al piano di posa, espressa in [kN]/m

FS Fattore di sicurezza a carico limite

IC	N _c	N _q	N _γ	N' _c	N' _q	N' _γ	q _u	Q _u	Q _v	FS
1	18.05	8.66	4.82	24.45	10.03	4.95	2130	14061.26	1241.75	11.32
2	18.05	8.66	4.82	24.68	10.12	5.14	2184	14412.63	1205.52	11.96
3	18.05	8.66	4.82	24.59	10.08	5.06	2245	14818.75	1127.66	13.14
4	18.05	8.66	4.82	11.92	4.89	0.32	558	3682.55	771.60	4.77
5	18.05	8.66	4.82	24.80	10.17	5.24	2276	15019.80	1119.96	13.41
6	18.05	8.66	4.82	11.84	4.85	0.35	560	3694.72	755.86	4.89
7	18.05	8.66	4.82	13.10	5.37	0.07	654	4318.22	877.59	4.92
8	18.05	8.66	4.82	13.04	5.35	0.07	657	4336.72	861.86	5.03